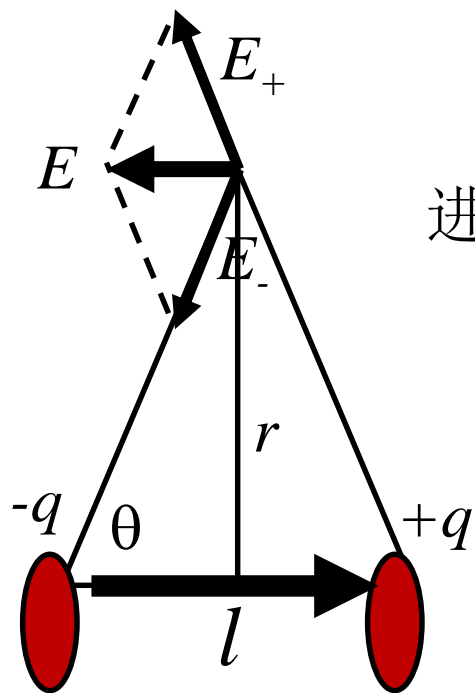


例1: 如图电偶极子, 求两电荷连线的中垂面上任意一点  $P$  的电场强度。

定义电偶极子(或称电偶极矩):

$$\vec{p} = q\vec{l}$$

注意: 1)  $l$  很小(相对于  $r$ )  
2) 方向从负电荷指向正电荷



进行对称性分析  $\rightarrow$

$$E_+ = \frac{1}{4\pi\epsilon_0} \frac{q}{r^2 + (l/2)^2}$$

$$E_Q = 2E_+ \cos \theta = \frac{2}{4\pi\epsilon_0} \frac{q \cdot (l/2)}{(r^2 + (l/2)^2)^{3/2}}$$

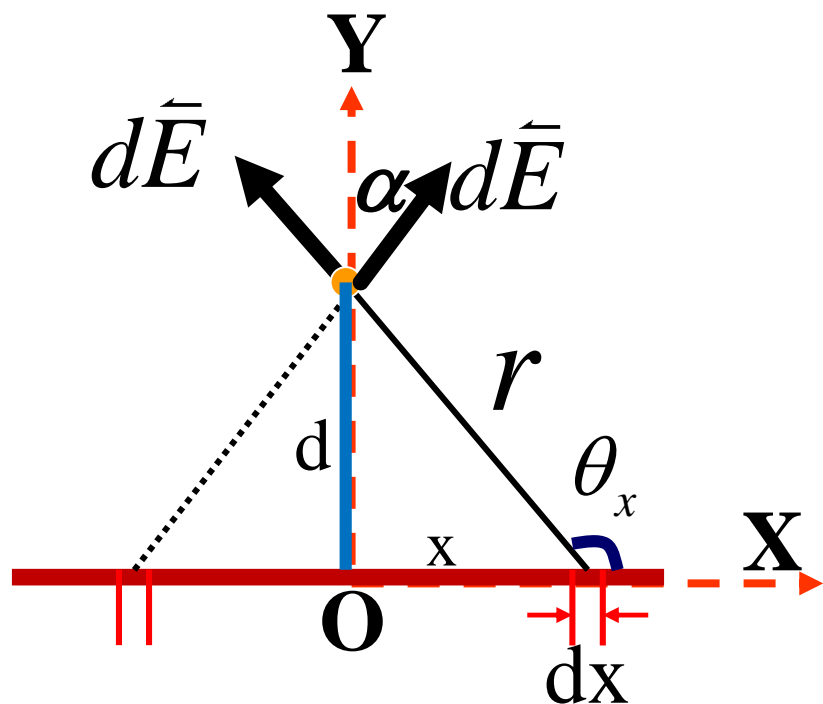
当  $Q$  点离开很远时, 有  $r \gg l$ ,

$$\vec{E}_Q = \frac{-1}{4\pi\epsilon_0} \frac{q\vec{l}}{r^3} = \frac{1}{4\pi\epsilon_0} \frac{-\vec{p}}{r^3} \text{ 方向与电偶极子相反。}$$

电偶极子的电场强度是立方衰减的。

例2: 求均匀带电细棒中垂面上的场强分布。长度L,  
电荷总量q

线密度  $\lambda = (q/L)$



$$x = -d \cdot \cot \theta, \quad r = d \csc \theta$$

$$dx = d \csc^2 \theta d\theta, \quad dq = \lambda dx$$

$$d\vec{E} = \frac{1}{4\pi\epsilon_0} \frac{dq}{r^3} \vec{r} = \frac{1}{4\pi\epsilon_0} \frac{\lambda dx}{r^3} (x\vec{i} + d\vec{j})$$

$$dE_y = \frac{1}{4\pi\epsilon_0} \frac{\lambda d^2 \csc^2 \theta d\theta}{d^3 \csc^3 \theta} = \frac{1}{4\pi\epsilon_0} \frac{\lambda \sin \theta}{d} d\theta$$

$$E_y = \int dE_y = 2 \int_{\pi/2}^{\theta_{L/2}} \frac{1}{4\pi\epsilon_0} \frac{\lambda \sin \theta}{d} d\theta$$

$$= \frac{2}{4\pi\epsilon_0} \frac{\lambda}{d} \frac{L/2}{\sqrt{d^2 + (L/2)^2}} = \frac{\lambda}{2\pi\epsilon_0 d} \frac{L}{\sqrt{4d^2 + L^2}}$$

$$L \gg d, \quad \frac{L}{\sqrt{4d^2 + L^2}} = \frac{L}{L\sqrt{\frac{4d^2}{L^2} + 1}} \rightarrow 1$$

1. 取细棒中心为坐标原点
2. 无数线元dx累加
3. 对称性分析: 只考虑y方向分量

$$L \rightarrow \infty: E_y \approx \frac{\lambda}{2\pi\epsilon_0 d}$$

**例3:** 如图, 求  $P$  处的电场强度, 其中  $a, \alpha, \beta$  为已知。

解: 把坐标原点取在  $P$  点正下方, 一小段微元  $dx$  在  $P$  处产生的电场为

$$d\vec{E} = \frac{1}{4\pi\epsilon_0} \frac{\lambda dx}{l^2}$$

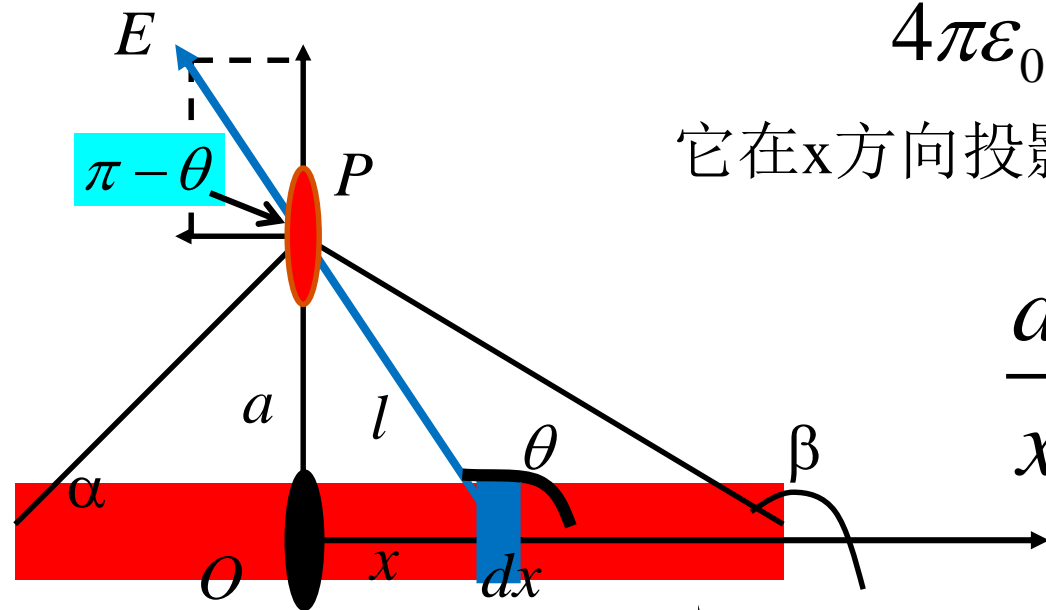
它在  $x$  方向投影

$$dE_x = \frac{1}{4\pi\epsilon_0} \frac{\lambda dx}{l^2} \cos \theta$$

$$\frac{a}{x} = -\operatorname{tg} \theta \Rightarrow x = -a \operatorname{ctg} \theta$$

$$dx = -a \cdot d(\operatorname{ctg} \theta) = \frac{a d\theta}{\sin^2 \theta}$$

$$dE_x = \frac{1}{4\pi\epsilon_0} \frac{\lambda a d\theta}{l^2 \sin^2 \theta} \cos \theta = \frac{1}{4\pi\epsilon_0} \frac{\lambda a d\theta}{a^2} \cos \theta$$



所以

$$\begin{aligned} E_x &= \int dE_x = \frac{\lambda}{4\pi\epsilon_0 a} \int_{\alpha}^{\beta} \cos \theta d\theta \\ &= \frac{\lambda}{4\pi\epsilon_0 a} (\sin \beta - \sin \alpha) \end{aligned}$$

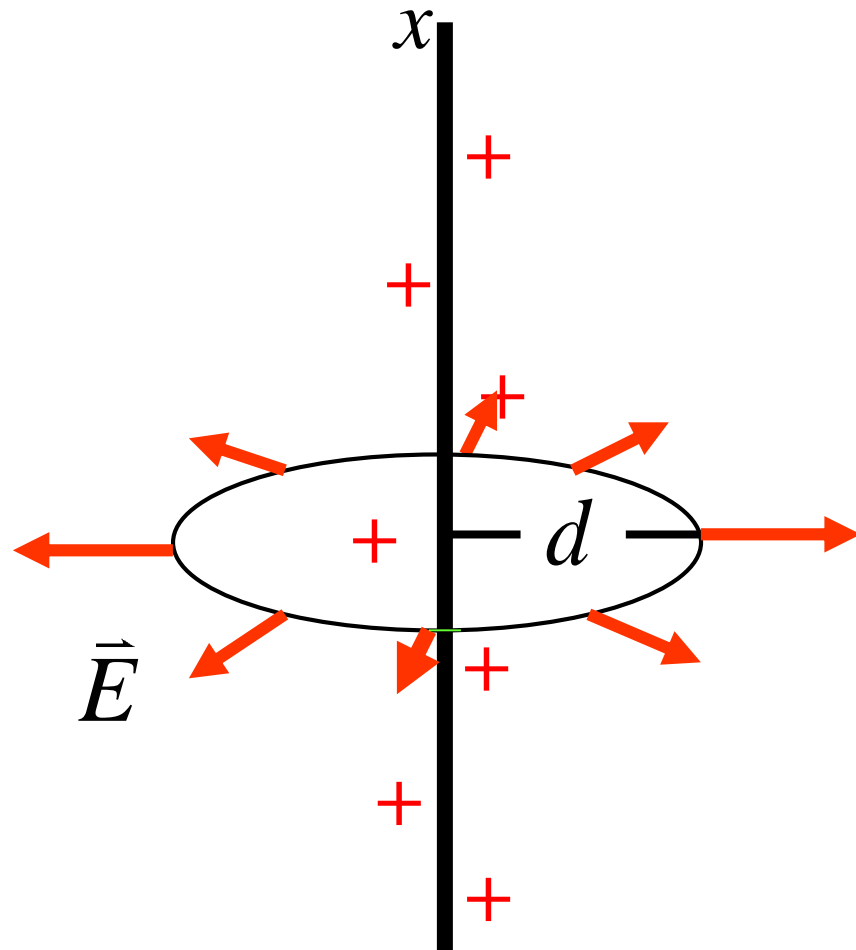
类似的,

$$\begin{aligned} E_y &= \int dE_y = \frac{\lambda}{4\pi\epsilon_0 a} \int_{\alpha}^{\beta} \sin \theta d\theta \\ &= \frac{\lambda}{4\pi\epsilon_0 a} (\cos \alpha - \cos \beta) \end{aligned}$$

当细棒为无限长时,  $\alpha = 0, \beta = \pi$

$$\begin{cases} E_x = 0 \\ E_y = \frac{1}{4\pi\epsilon_0} \frac{2\lambda}{a} \end{cases} \quad \text{和前面结果相同!}$$

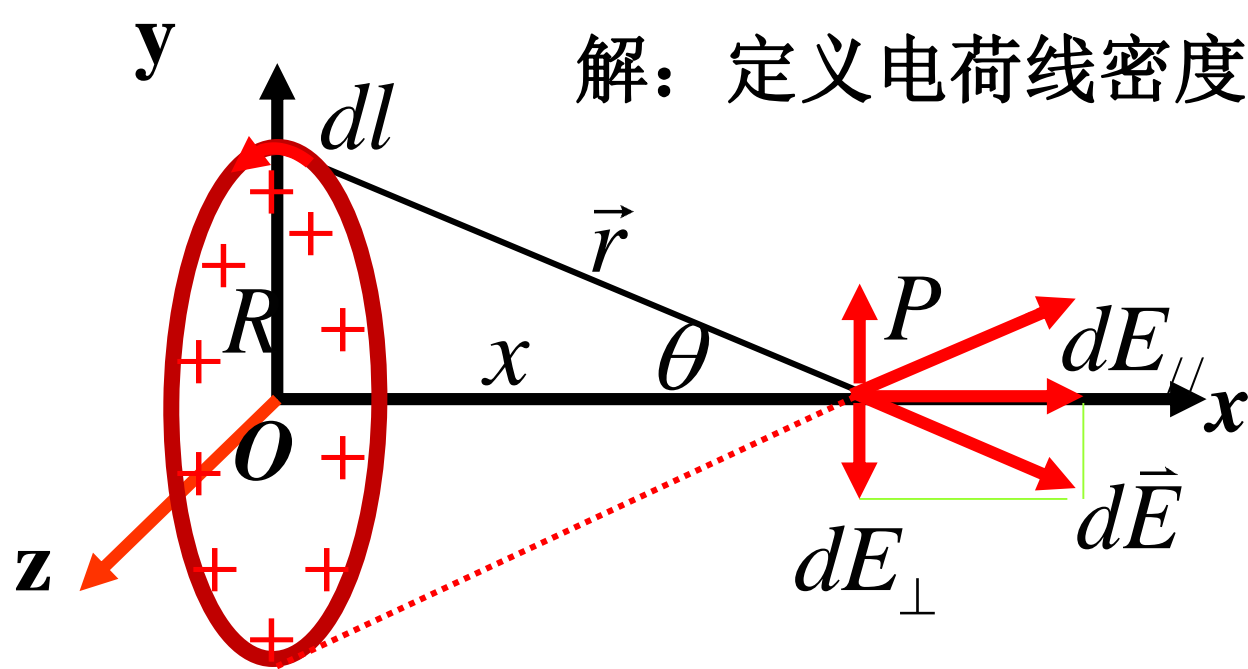
均匀带电细棒中垂面上的场强分布。长度 $L$ ，  
电荷总量 $q$



$$L \rightarrow \infty$$

$$E_y \approx \frac{\lambda}{2\pi\epsilon_0 d}$$

例4：电荷 $q$ 均匀地分布在半径为 $R$ 的圆环上，求圆环中心轴线上任一点 $p$ 的场强。P点离环心的距离为 $x$ 。



解：定义电荷线密度  $\lambda = \frac{q}{2\pi R}$

**对称性分析**  
**垂直分量抵消**

$$dE = \frac{dq}{4\pi\epsilon_0 r^2} = \frac{\lambda dl}{4\pi\epsilon_0 r^2} \quad \left\{ \begin{array}{l} dE_{\parallel} = dE \cos \theta \\ dE_{\perp} = dE \sin \theta \end{array} \right.$$

垂直分量抵消  $E = \int_L dE_{\parallel} = \int_L \frac{\lambda \cos \theta dl}{4\pi\epsilon_0 r^2}$

$$\cos \theta = \frac{x}{r}$$

$$r = \sqrt{x^2 + R^2}$$


$$dq = \lambda dl$$

$$\lambda = q / (2\pi R)$$

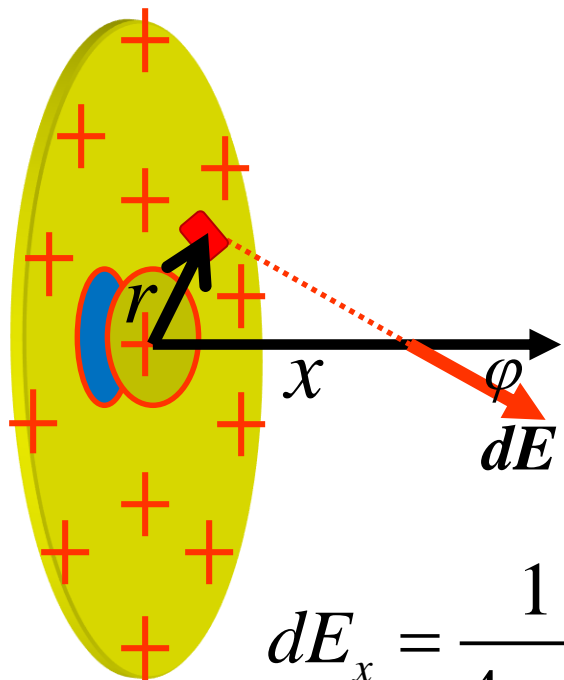
$$\begin{aligned} E_{//} &= \int_L dE_{//} = \int_L \frac{\lambda \cos \theta dl}{4\pi\epsilon_0 r^2} \\ &= \frac{\lambda x}{4\pi\epsilon_0 r^3} \int_0^{2\pi} R d\varphi = \frac{\lambda x}{4\pi\epsilon_0 r^3} 2\pi R \end{aligned}$$

$$\vec{E} = \frac{qx}{4\pi\epsilon_0 (R^2 + x^2)^{3/2}} \hat{i}$$

讨论: (1)  $x = 0, \vec{E} = 0$

(2)  $x \gg R, \vec{E} = \frac{q}{4\pi\epsilon_0 x^2} \hat{i}$   等同于点电荷

例5：求一均匀带点圆盘在其轴线上产生的电场强度，设圆盘半径为R，面密度为 $\sigma$ 。



解：首先对称性分析，只有x分量非零。

选取极坐标系，一无限小面元为  $rdrd\theta$

它所带电量为  $dq = \sigma rdrd\theta$

它在轴线上x处产生的场强为

$$dE = \frac{1}{4\pi\epsilon_0} \frac{\sigma rdrd\theta}{x^2 + r^2} \quad \text{其x分量为}$$

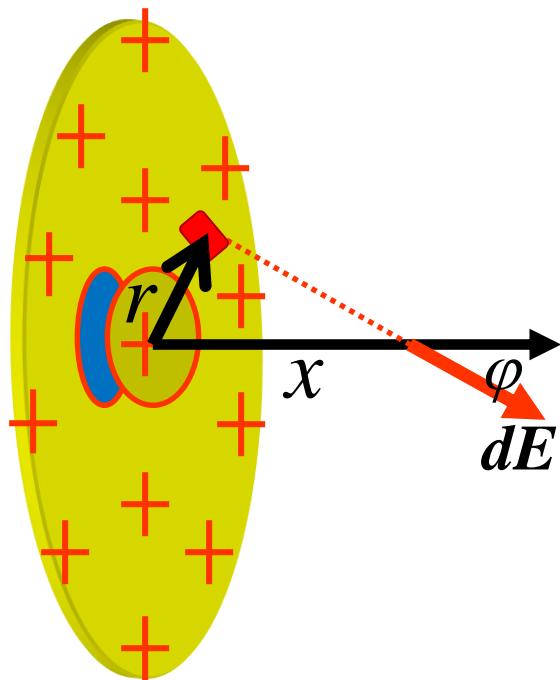
$$dE_x = \frac{1}{4\pi\epsilon_0} \frac{\sigma rdrd\theta}{x^2 + r^2} \cos\varphi = \frac{1}{4\pi\epsilon_0} \frac{\sigma rdrd\theta}{x^2 + r^2} \frac{x}{\sqrt{x^2 + r^2}}$$

$$E_x = \int dE_x = \frac{1}{4\pi\epsilon_0} \int \frac{\sigma rdrd\theta}{x^2 + r^2} \frac{x}{\sqrt{x^2 + r^2}} = \frac{\sigma x}{4\pi\epsilon_0} \int \frac{rdrd\theta}{(x^2 + r^2)^{3/2}}$$

$$= \frac{\sigma x}{4\pi\epsilon_0} 2\pi \left. \frac{-1}{\sqrt{x^2 + r^2}} \right|_0^R = \frac{\sigma}{2\epsilon_0} \left( 1 - \frac{1}{\sqrt{1 + R^2 / x^2}} \right)$$



例5：求一均匀带点圆盘在其轴线上产生的电场强度，设圆盘半径为R，面密度为 $\sigma$ 。



$$E_x = \frac{\sigma}{2\varepsilon_0} \left(1 - \frac{1}{\sqrt{1 + R^2 / x^2}}\right)$$

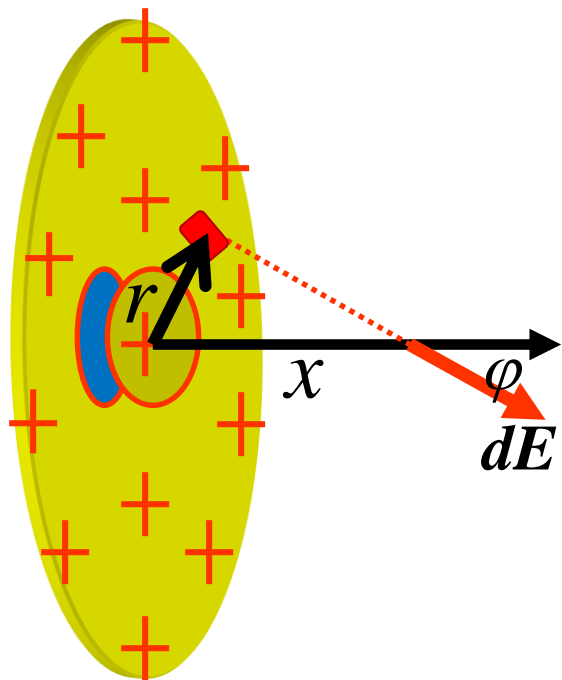
1) 当  $R \ll x$  时,

$$E_x = \frac{\sigma}{2\varepsilon_0} \left(1 - \frac{1}{\sqrt{1 + R^2 / x^2}}\right)$$

$$\approx \frac{\sigma}{2\varepsilon_0} \frac{1}{2} \frac{R^2}{x^2} = \frac{q}{4\pi\varepsilon_0 x^2}$$

相当于一个点电荷。

例5：求一均匀带点圆盘在其轴线上产生的电场强度，设圆盘半径为 $R$ ，面密度为 $\sigma$ 。

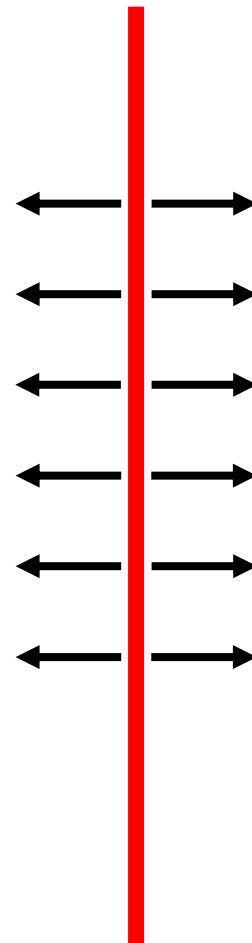


$$E_x = \frac{\sigma}{2\varepsilon_0} \left(1 - \frac{1}{\sqrt{1 + R^2 / x^2}}\right)$$

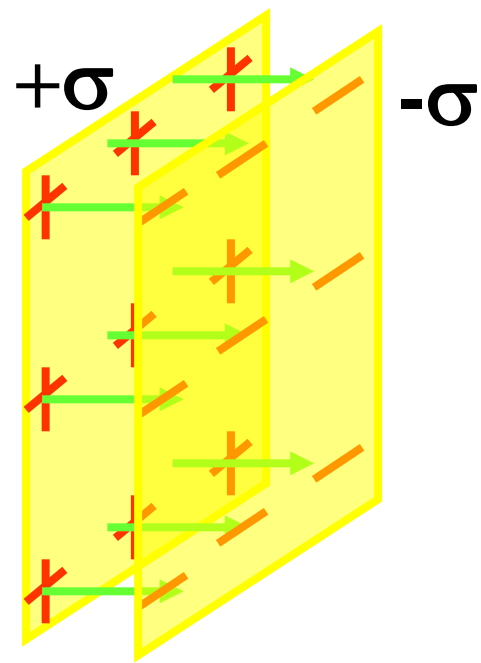
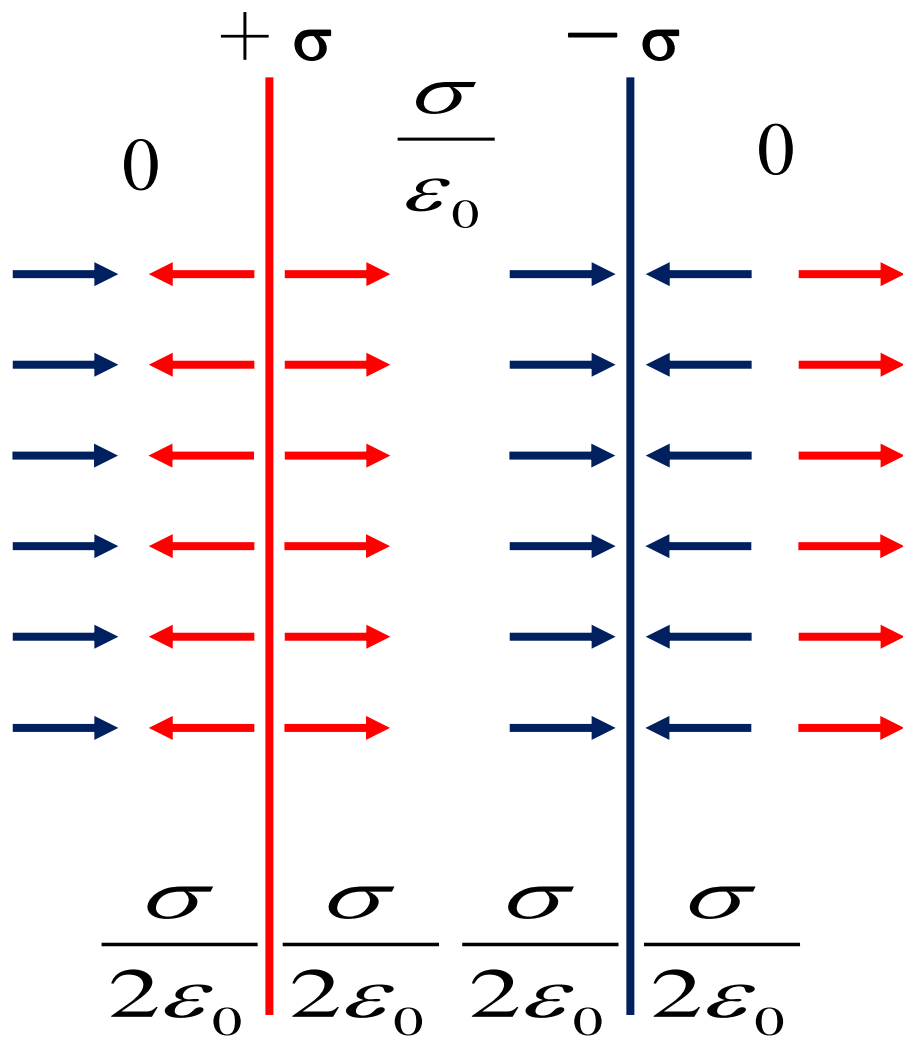
2) 当 $R \gg x$ 时，  
相当于无限大板

$$E_x = \frac{\sigma}{2\varepsilon_0}$$

匀强电场，和距离无关。



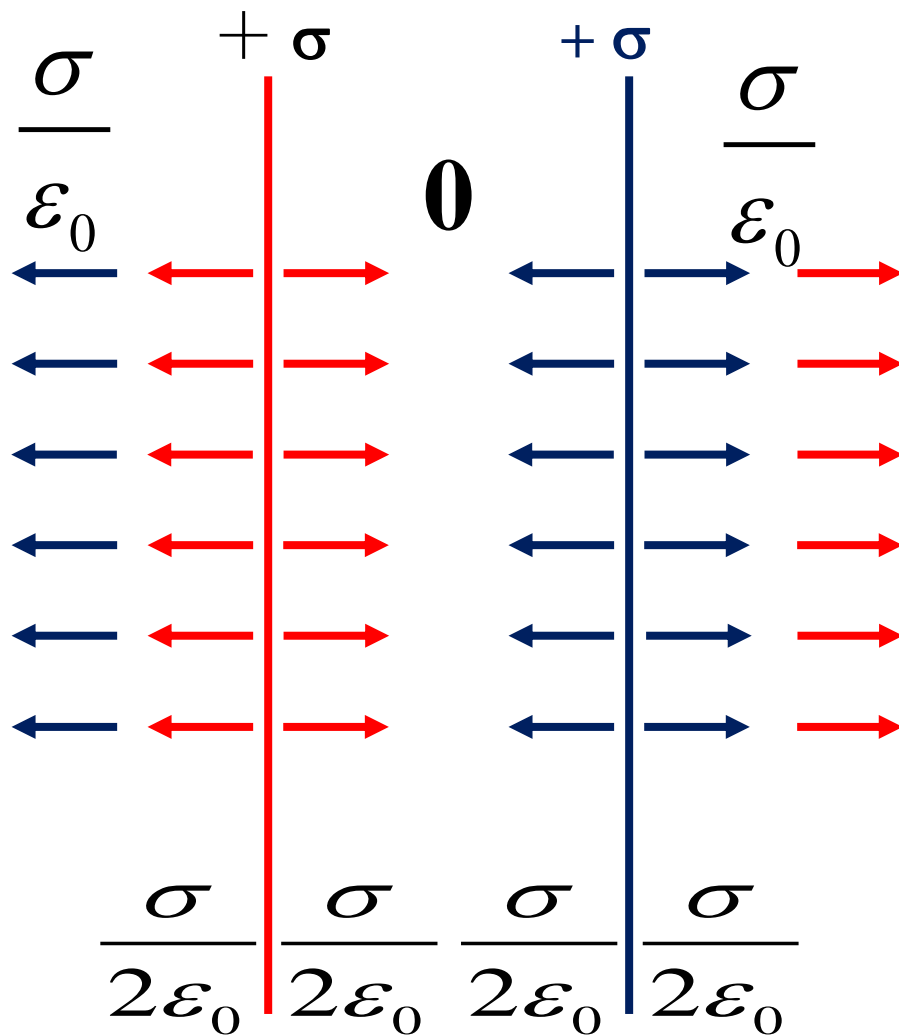
推广(1)：求两个带等量异号电荷，面电荷密度为 $\sigma$ 的“ $\infty$ ”大平行板周围空间的电场强度。



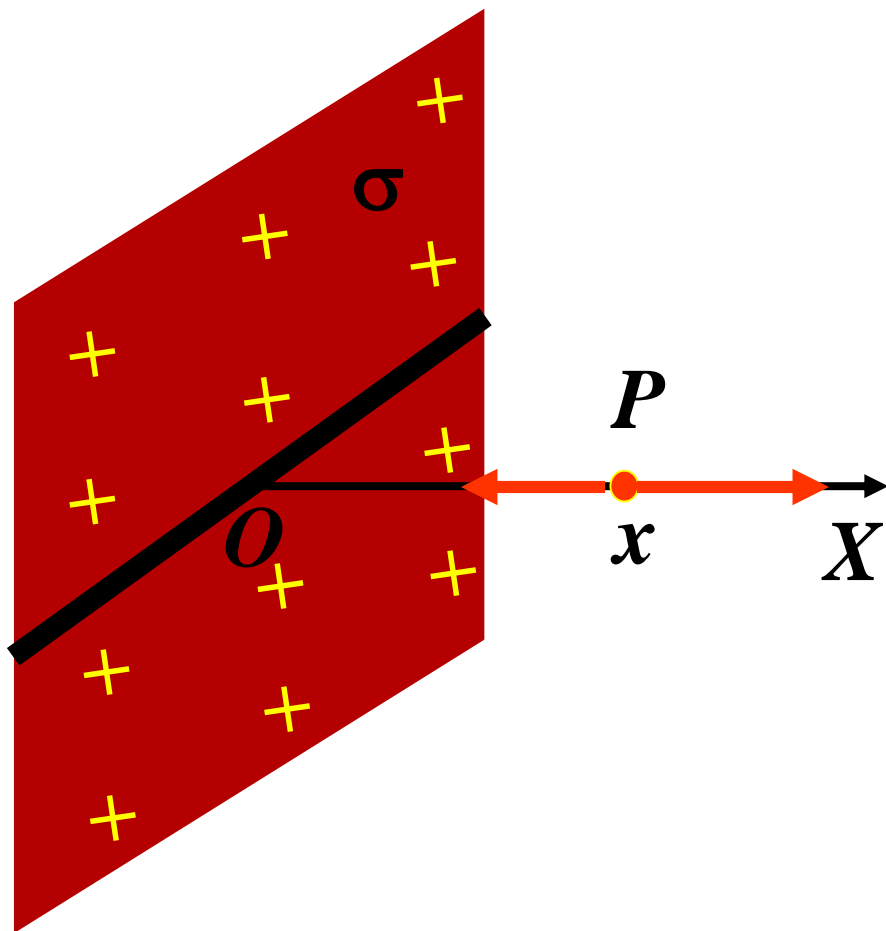
$$\frac{\sigma}{\epsilon_0}$$

平行板电容器

推广(2)：求两带等量同性电荷，面电荷密度为 $\sigma$ 的  
的“ $\infty$ ”大平行板周围空间的电场强度。



例6：如图所示，一无限大的带电平板，电荷面密度为  $\sigma$ ，但中间有一宽为  $a$  的细长线。求X轴上一点P处的电场强度。（细长线不带电）



板均匀带电

线上带负电

$$\begin{aligned}
 & \begin{array}{cc} \text{板均匀带电} & \text{线上带负电} \\ \downarrow & \downarrow \end{array} \\
 E &= \frac{\sigma}{2\varepsilon_0} - \frac{\sigma a}{2\pi\varepsilon_0 x} \\
 &= \frac{\sigma}{2\varepsilon_0} \left(1 - \frac{a}{\pi x}\right)
 \end{aligned}$$

### 三、高斯定理的应用

适用情况：通常是具有某种对称性的电场——轴对称、球对称、均匀场等。

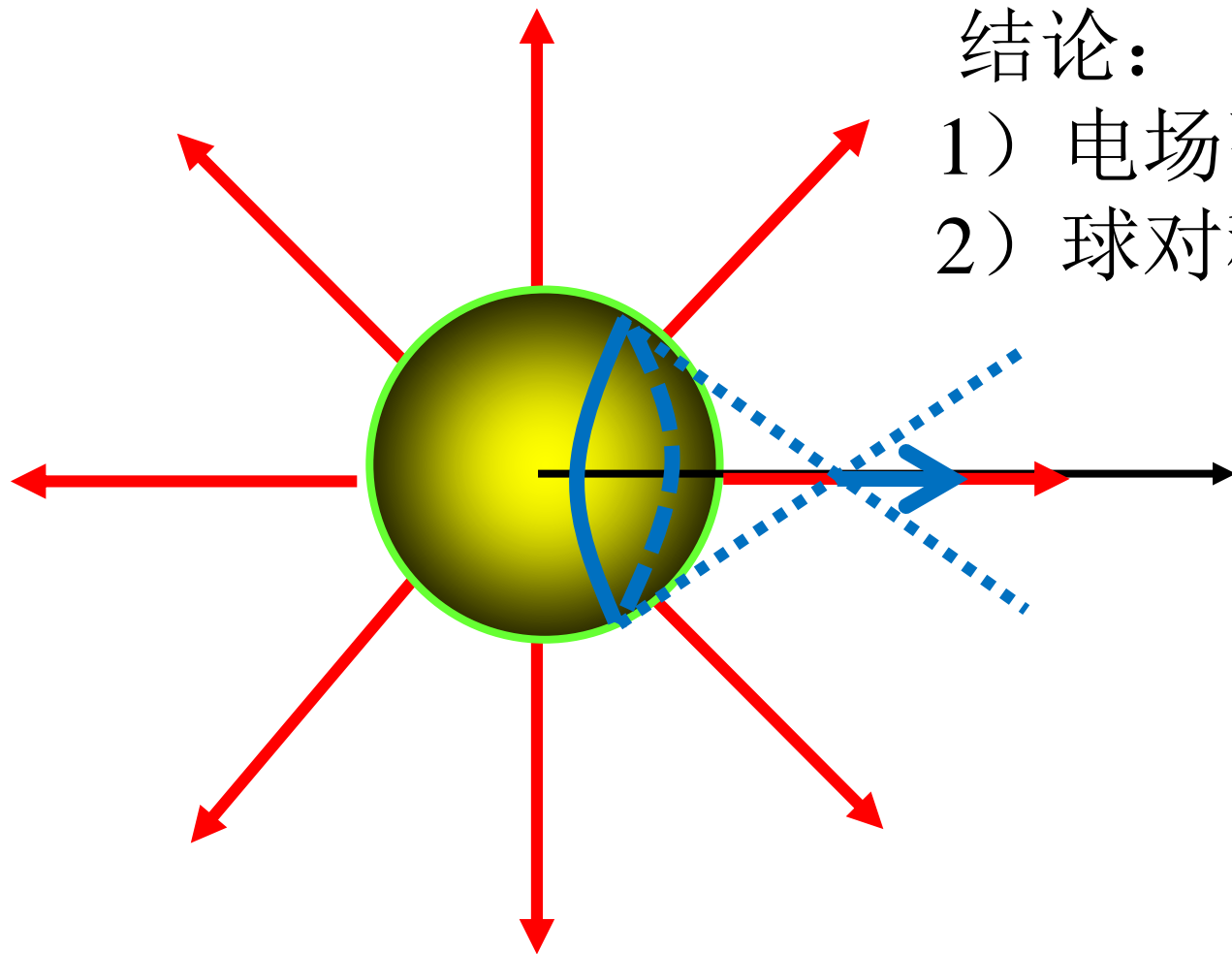
应用方法：先作对称性分析

例1) 求半径为 $R$ 均匀带电 $q$ 的球壳所产生电场的分布(包括球壳内部与外部)。

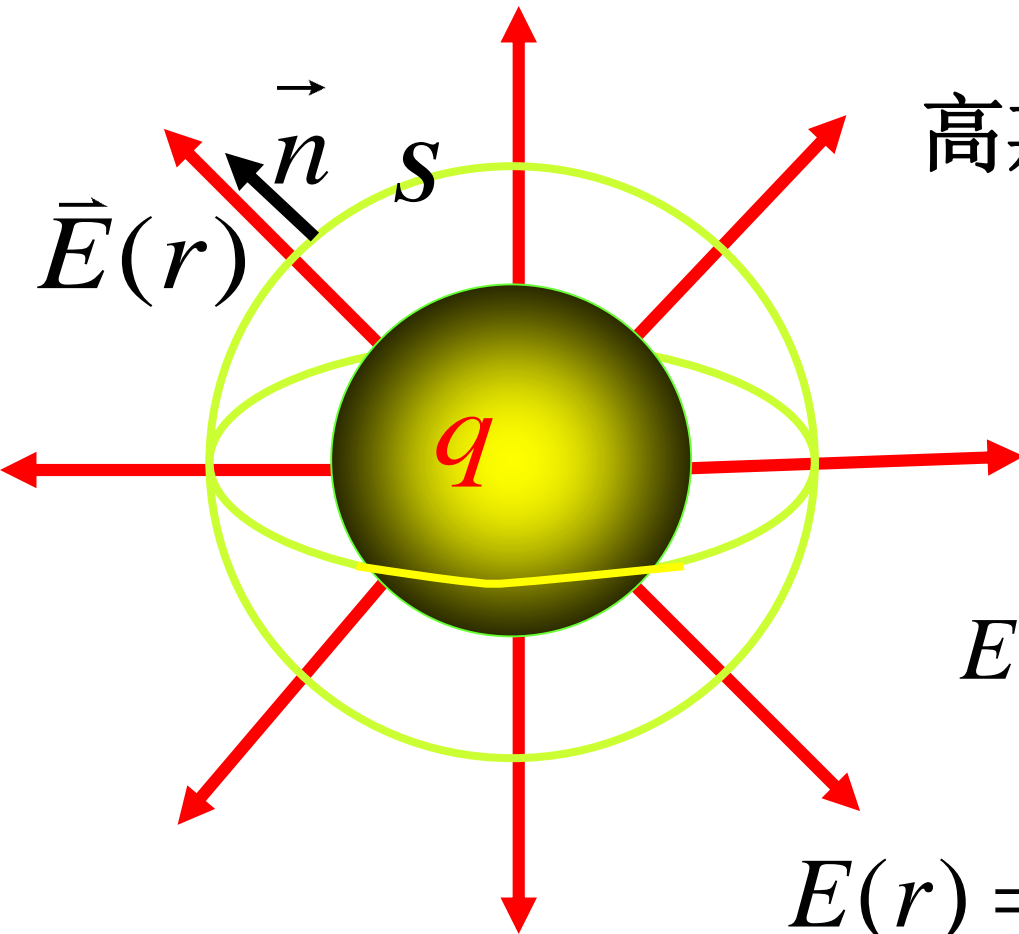
解：1) 分析对称性

结论：

- 1) 电场强度沿矢径方向。
- 2) 球对称。



2) 球外，作半径为  $r$  的高斯球面 ( $R \leq r < \infty$ )



高斯定理:  $\oint_S \vec{E} \cdot d\vec{S} = \frac{1}{\epsilon_0} \sum_{S \text{ 内}} q_i$

$$\oint_S E \cos 0^\circ dS = \frac{1}{\epsilon_0} \sum_{S \text{ 内}} q_i$$

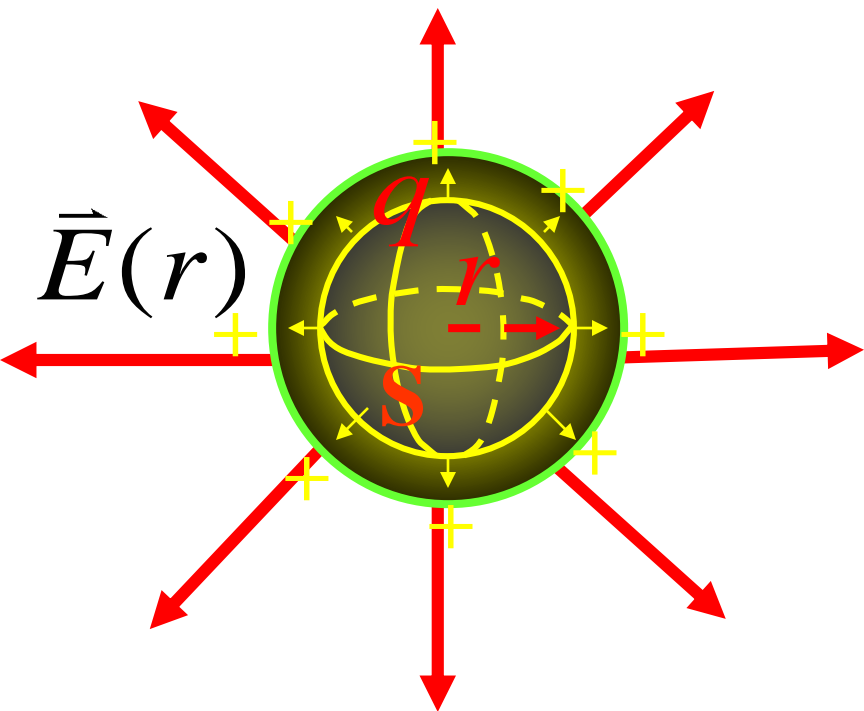
$$E \oint_S dS = E 4\pi r^2 = \frac{1}{\epsilon_0} q$$

$$E(r) = \frac{q}{4\pi\epsilon_0 r^2} \quad \text{方向沿矢径方向}$$

等同球心处点电荷



3) 球内，对称性分析，作半径为  $r$  的高斯球面

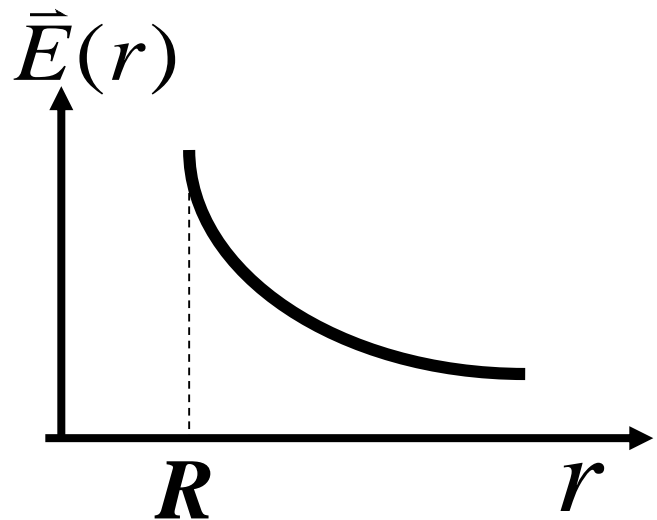


$$\oint_S \vec{E} \cdot d\vec{S} = \frac{1}{\epsilon_0} \sum_{S \text{ 内}} q_i$$

$$E \oint_S dS = E 4\pi r^2 = \frac{1}{\epsilon_0} q$$

$$\text{因 } q=0 \quad \therefore E=0$$

$$\vec{E} = \begin{cases} 0 \dots (0 \leq r < R) \\ \frac{q}{4\pi\epsilon_0 r^2} \hat{r} \dots (R \leq r < \infty) \end{cases}$$

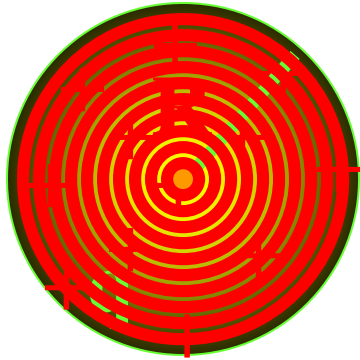


例2) 一半径为 $R$ 、均匀带电 $q$ 的球体, 求其电场的分布。

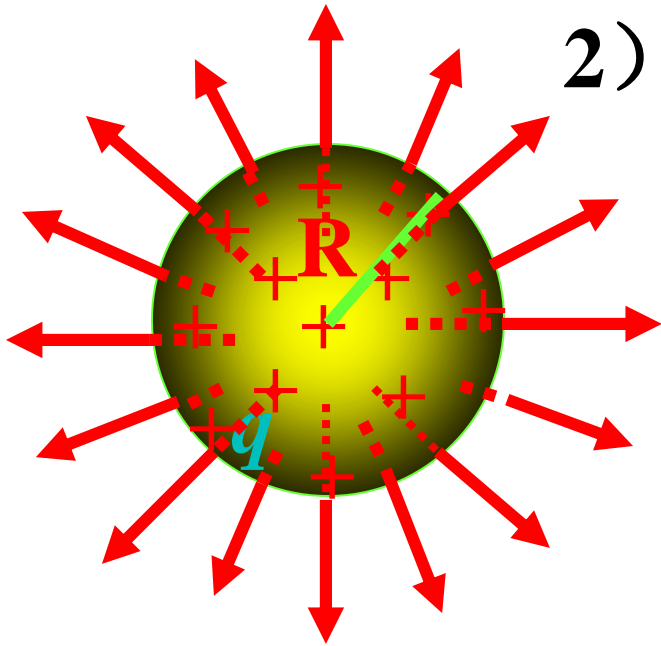
解: 1) 对称性分析:

将球体看成许多薄球壳组成。

结论: 球内外都是球对称分布。

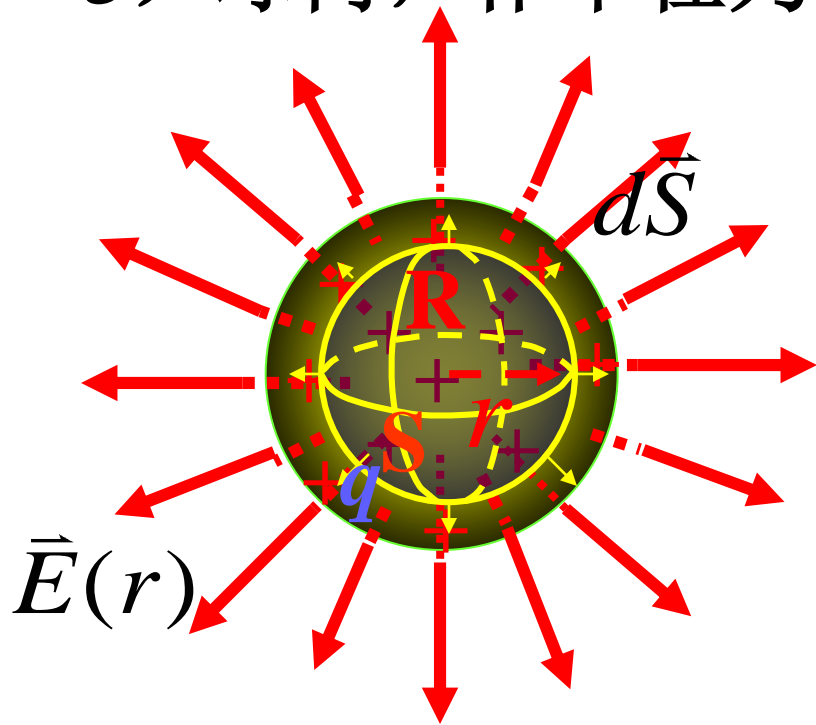


2) 球外, 作半径为 $r$ 的高斯球面  
与例1球壳外一样, 等同于球心有点电荷



$$\vec{E}(r) = \frac{q}{4\pi\epsilon_0 r^2} \hat{r}$$

### 3) 球内，作半径为 $r$ 的高斯球面



高斯定理:  $\oint_S \vec{E} \cdot d\vec{S} = \frac{1}{\epsilon_0} \sum_{S \text{ 内}} q_i$

只考虑高斯面内的电荷

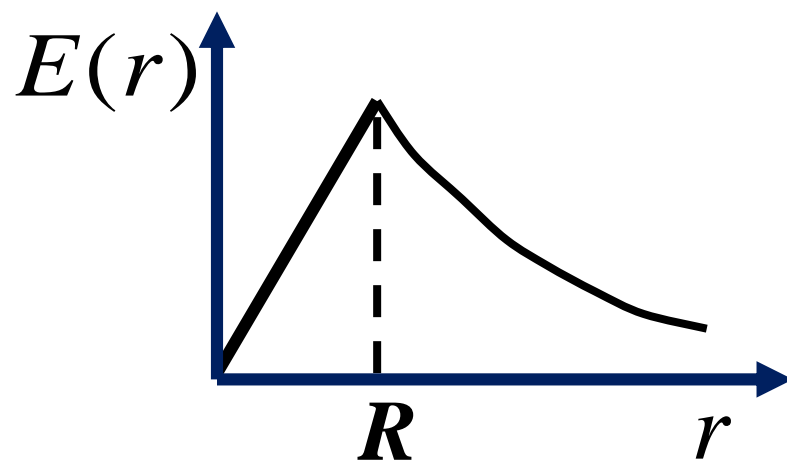
$$E \oint_S dS = \frac{1}{\epsilon_0} \rho \frac{4}{3} \pi r^3$$

$$E 4\pi r^2 = \frac{1}{\epsilon_0} \cdot \frac{q}{\frac{4}{3} \pi R^3} \cdot \frac{4}{3} \pi r^3$$

$$\vec{E} = \frac{qr}{4\pi\epsilon_0 R^3} \hat{r} = \frac{\rho}{3\epsilon_0} \vec{r}$$

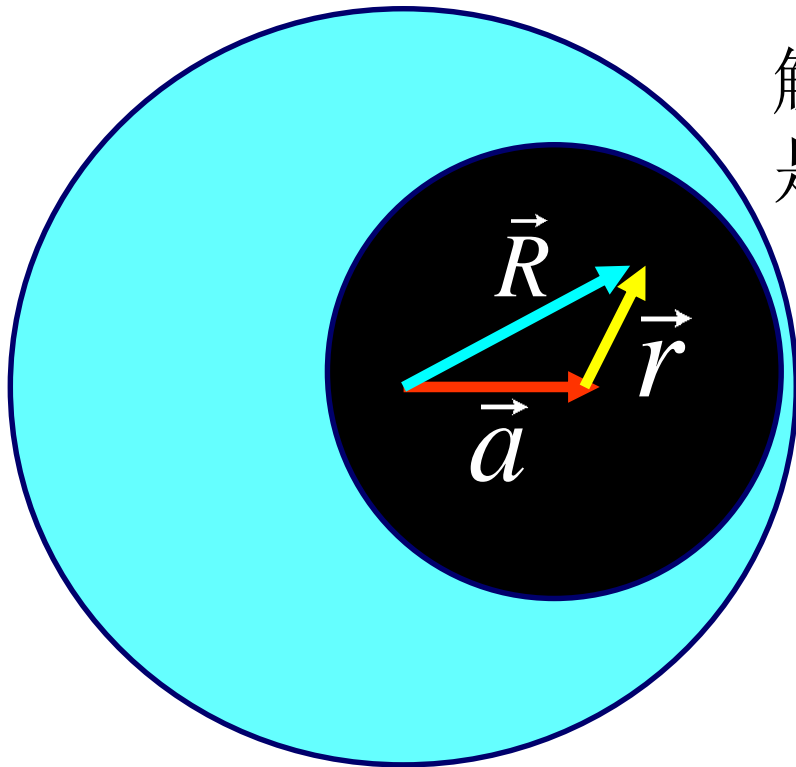
结论：

$$\vec{E}(r) = \begin{cases} \frac{q}{4\pi\epsilon_0 r^2} \hat{r} \dots (R < r < \infty) \\ \frac{qr}{4\pi\epsilon_0 R^3} \hat{r} \dots (0 \leq r < R) \end{cases}$$



例3：体电荷密度为 $\rho$ 的均匀带电球体中，存在一个空腔，若将带电球的球心 $O$ 指向空腔的球心 $O'$ 的矢量用 $\vec{a}$ 表示，证明空腔中任意一点的电场强度为

$$\vec{E} = \frac{\rho}{3\epsilon_0} \vec{a}$$



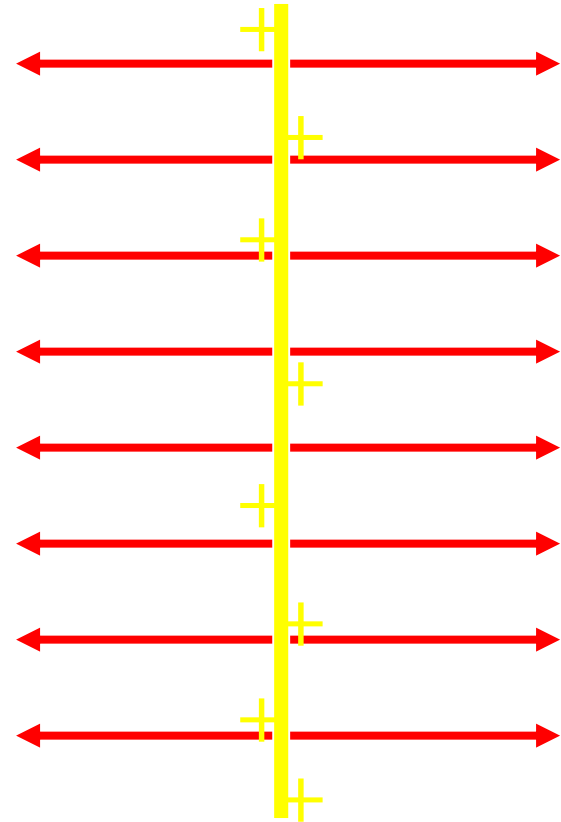
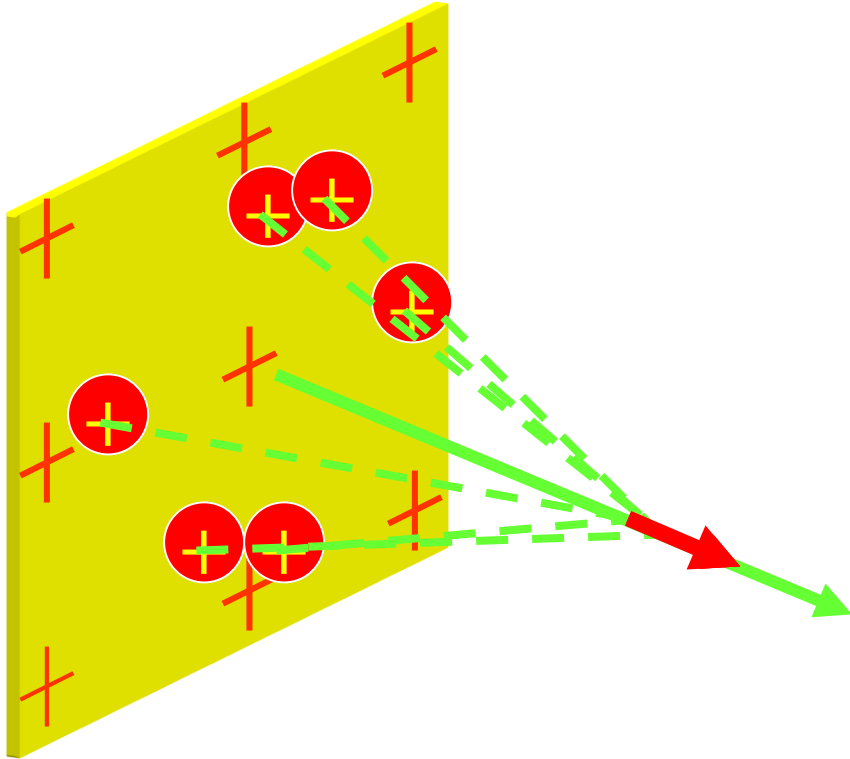
解：利用叠加原理，认为空腔是正负电荷抵消的结果，

$$\vec{E} = \frac{\rho \vec{R}}{3\epsilon_0} - \frac{\rho \vec{r}}{3\epsilon_0} = \frac{\rho \vec{a}}{3\epsilon_0}$$

匀强电场！

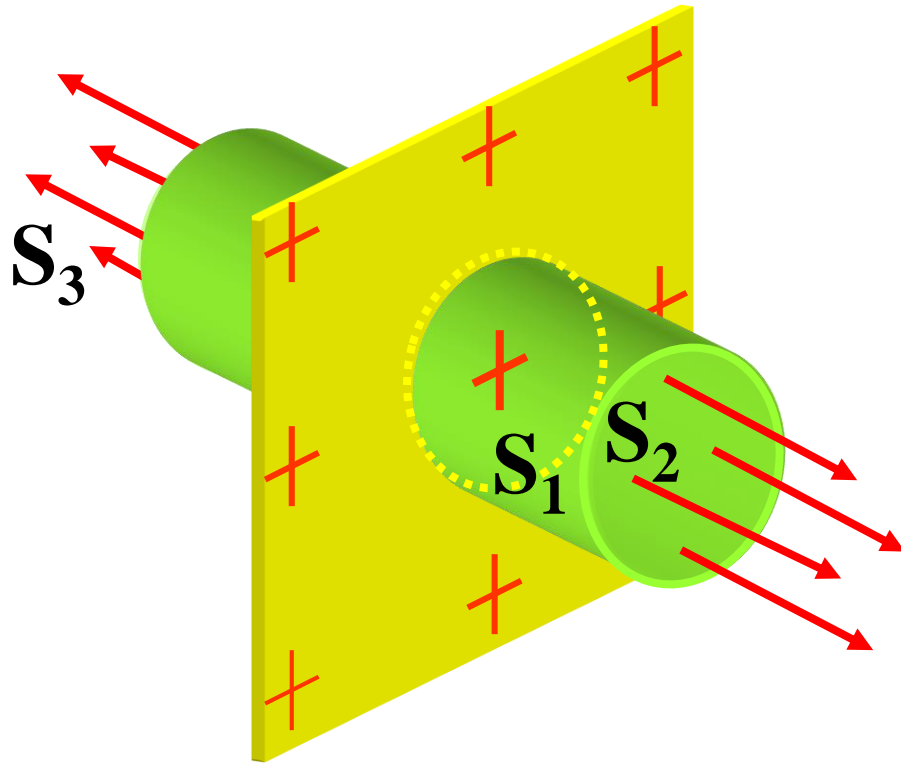
例4) 求无限大带电平面的电场。设电荷面密度为 $\sigma$ 。

解：对称性分析；



结论：是以面为对称的场。与带电面等距离的两平行平面处处场强值相等。

## 2) 作垂直于带电面的高斯圆柱面



高斯定理:

$$\oint_S \vec{E} \cdot d\vec{S} = \frac{1}{\epsilon_0} \sum_{S \text{ 内}} q_i$$

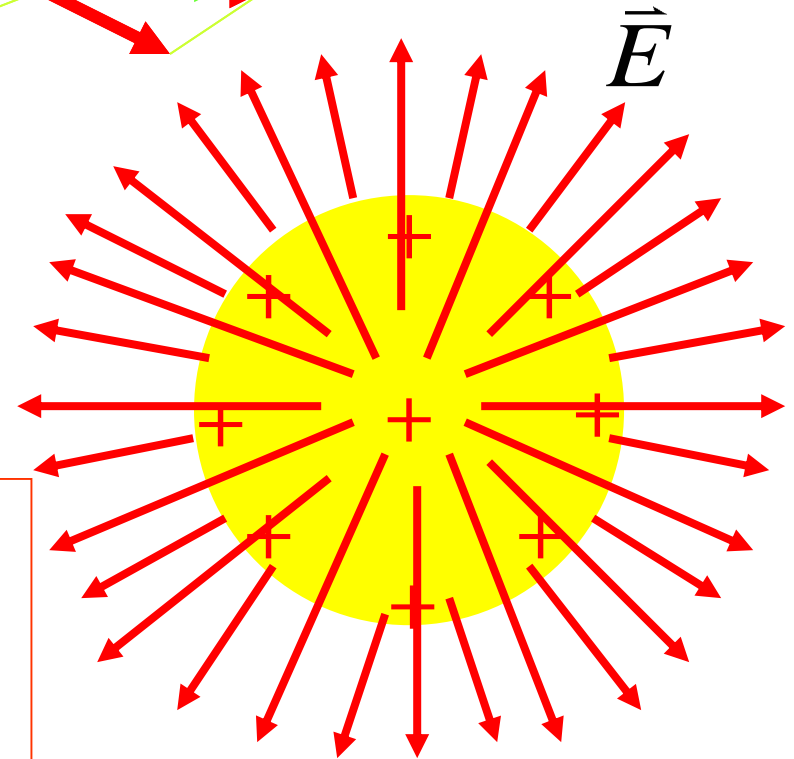
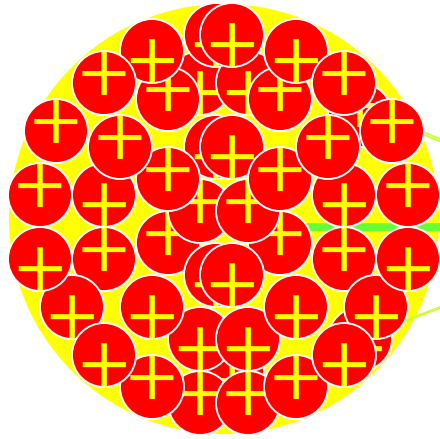
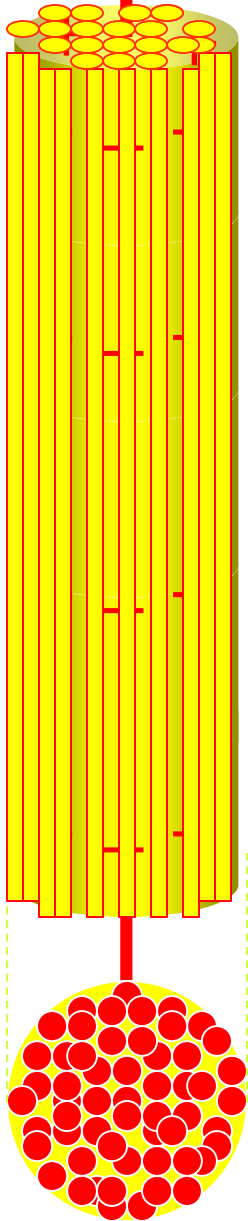
$$\vec{E} = \frac{\sigma}{2\epsilon_0} \vec{e}_n$$

$$\oint_S \vec{E} \cdot d\vec{S} = \int_{S_1} \vec{E}_1 \cdot d\vec{S}_1 + \int_{S_2} \vec{E}_2 \cdot d\vec{S}_2 + \int_{S_3} \vec{E}_3 \cdot d\vec{S}_3$$

$$= 0 + E_2 S_2 + E_3 S_3 = 2ES = \frac{1}{\epsilon_0} \sigma S$$

例5) 求一无限长，半径为 $R$ ，单位长度带电 $\lambda$ 的直圆柱带电体的电场。

解：对称性分析：

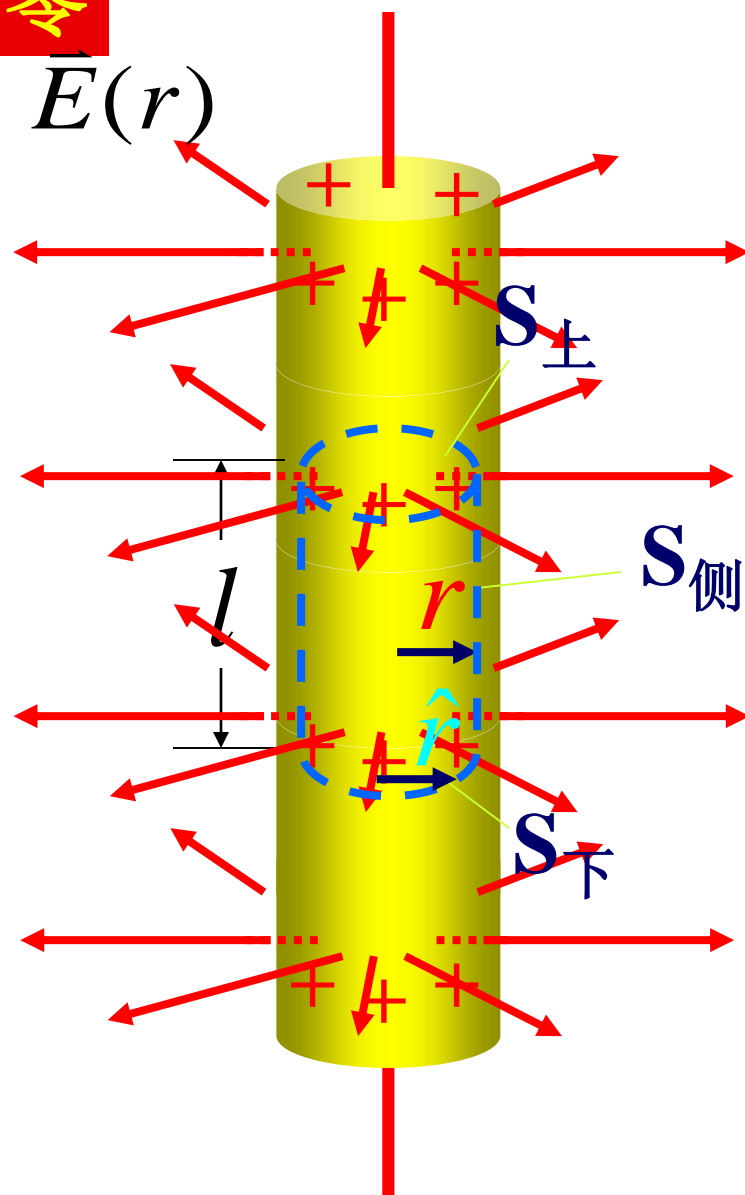
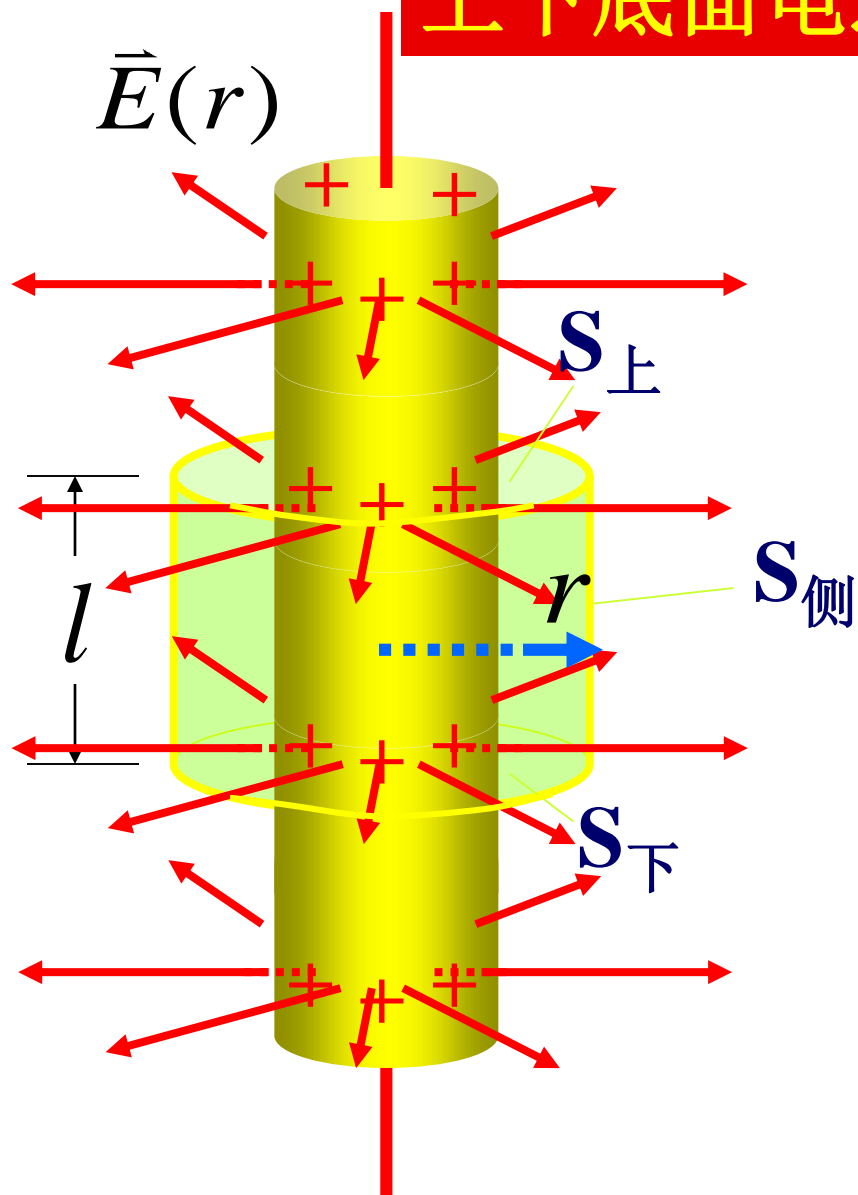


结论：电场以中心轴线为对称，向外辐射。



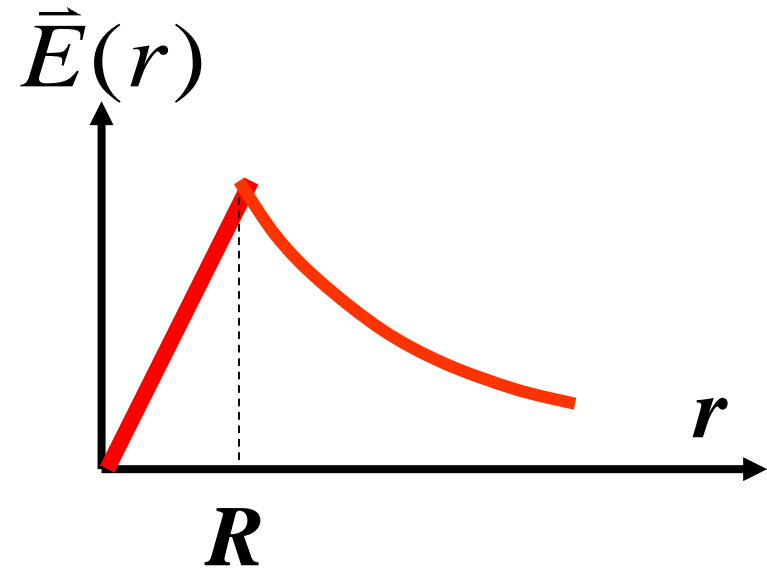
2) 以轴线为中心，作半径为 $r$ 的圆柱形高斯面 $S$

上下底面电通量为零



结论:

$$\vec{E}(r) = \begin{cases} \frac{\lambda r}{2\pi\epsilon_0 R^2} \hat{r} \dots (0 \leq r < R) \\ \frac{\lambda}{2\pi\epsilon_0 r} \hat{r} \dots (R \leq r < \infty) \end{cases}$$



高斯定理应用关键:

1. 分析对称性
2. 确定合适的高斯面

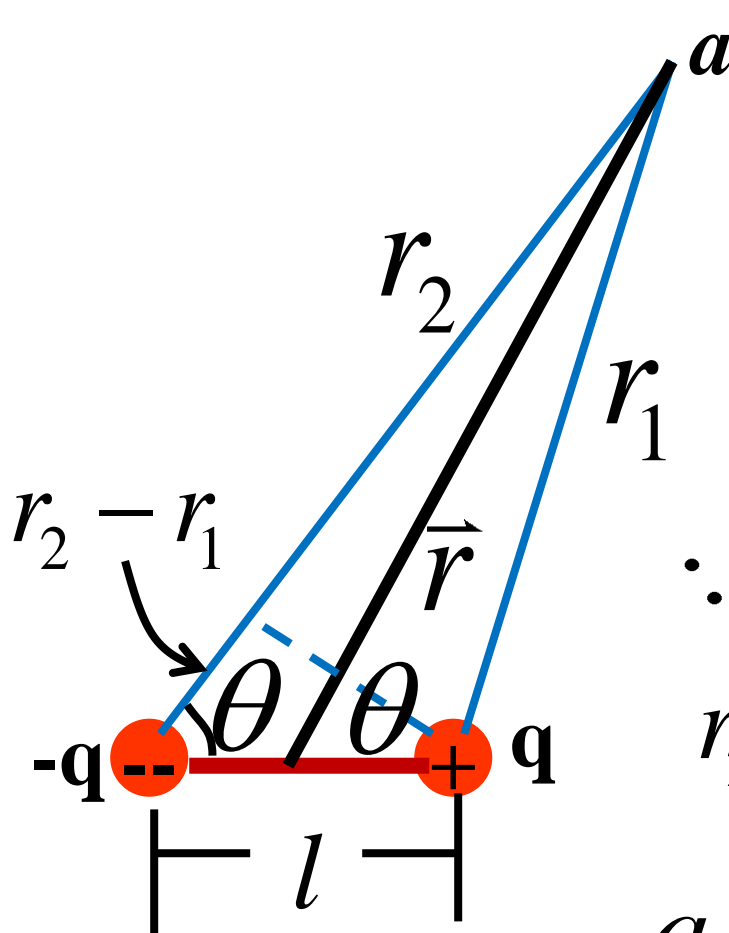
例1：计算电偶极子电场中任一点的电势。



$$\vec{p} = q\vec{l}$$

解：由叠加原理：

$$(r \gg l)$$



$$\begin{aligned} V_p &= \frac{q}{4\pi\epsilon_0 r_1} - \frac{q}{4\pi\epsilon_0 r_2} \\ &= \frac{q}{4\pi\epsilon_0} \cdot \frac{r_2 - r_1}{r_1 r_2} \end{aligned}$$

$$\because (r \gg l)$$

$$r_2 - r_1 = l \cos \theta \quad r_1 r_2 \approx r^2$$

$$V_p = \frac{q}{4\pi\epsilon_0} \cdot \frac{l \cos \theta}{r^2} = \frac{1}{4\pi\epsilon_0} \frac{\vec{p} \cdot \hat{r}}{r^2}$$

例2：求均匀带电球壳产生的电场中的电势分布。  
设球壳带电 $q$ ，球半径为 $R$ 。

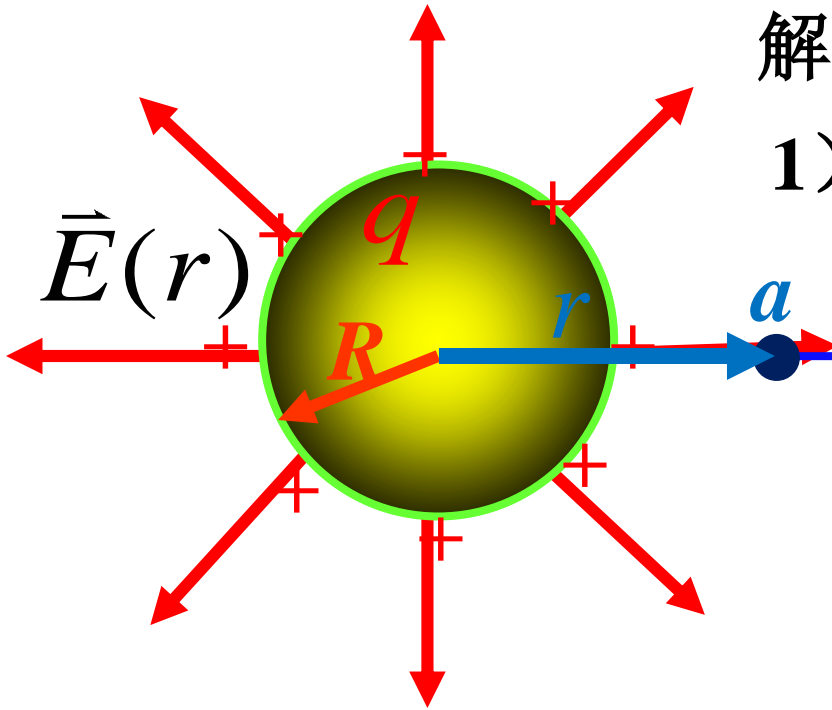
解：以无限远为参考点。

1) 球外：

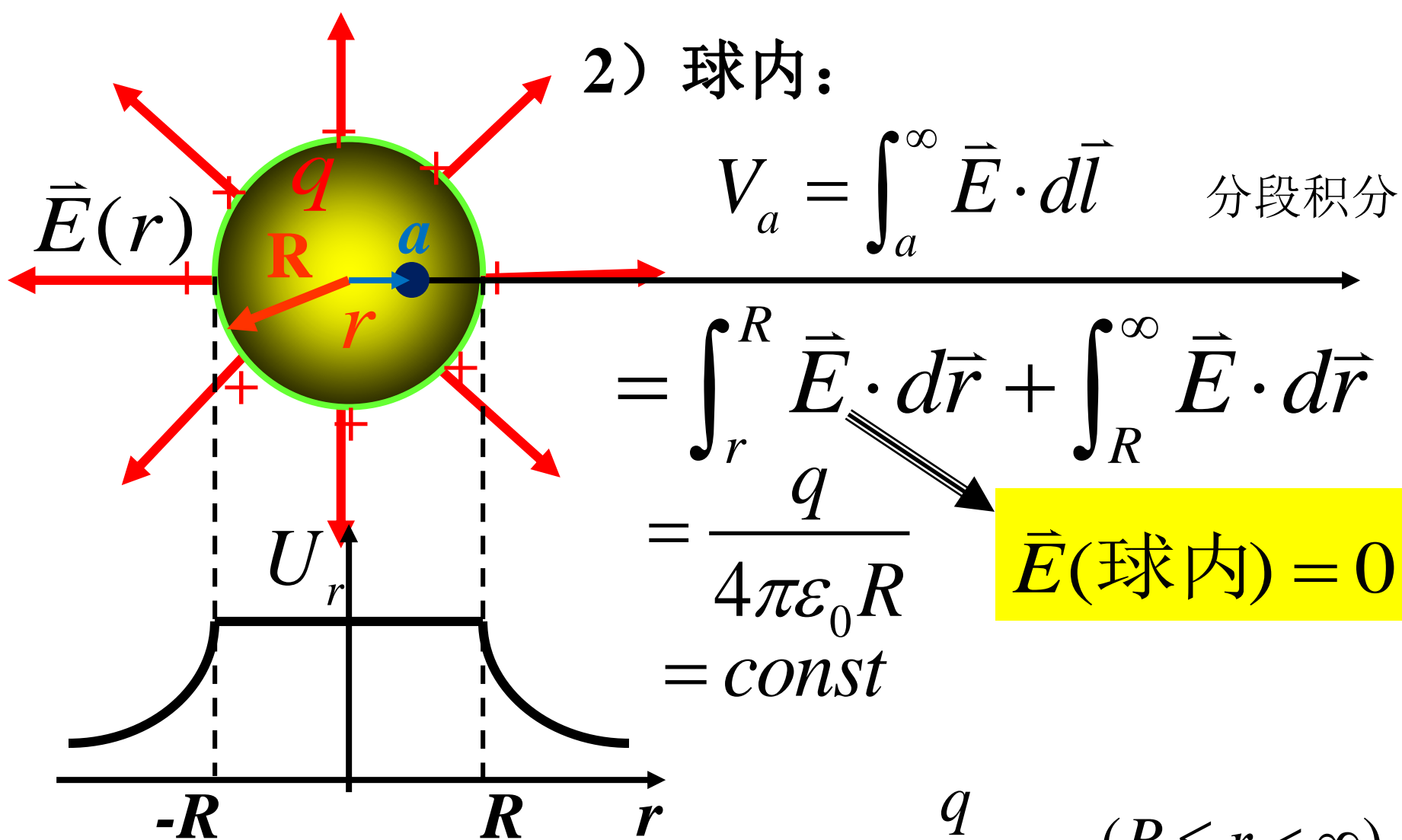
$$V_a = \int_a^{\infty} \vec{E} \cdot d\vec{l}$$

$$= \int_r^{\infty} \frac{q}{4\pi\epsilon_0 r^2} \cos 0^\circ dr$$

$$= \frac{q}{4\pi\epsilon_0 r}$$



$$\vec{E} = \begin{cases} 0 \dots (0 \leq r < R) \\ \frac{q}{4\pi\epsilon_0 r^2} \hat{r} \dots (R \leq r < \infty) \end{cases}$$



即球壳内处处等势。

$$V(r) = \begin{cases} \frac{q}{4\pi\epsilon_0 R} \dots (R \leq r < \infty) \\ \frac{4\pi\epsilon_0 r}{q} \dots (0 \leq r < R) \end{cases}$$

例3：两个同心的均匀带电球壳，所带电量分别是 $q_A$ 和 $q_B$ ， $R_A < R_B$ ，求空间各处电势。

解：利用叠加原理：

区域1：

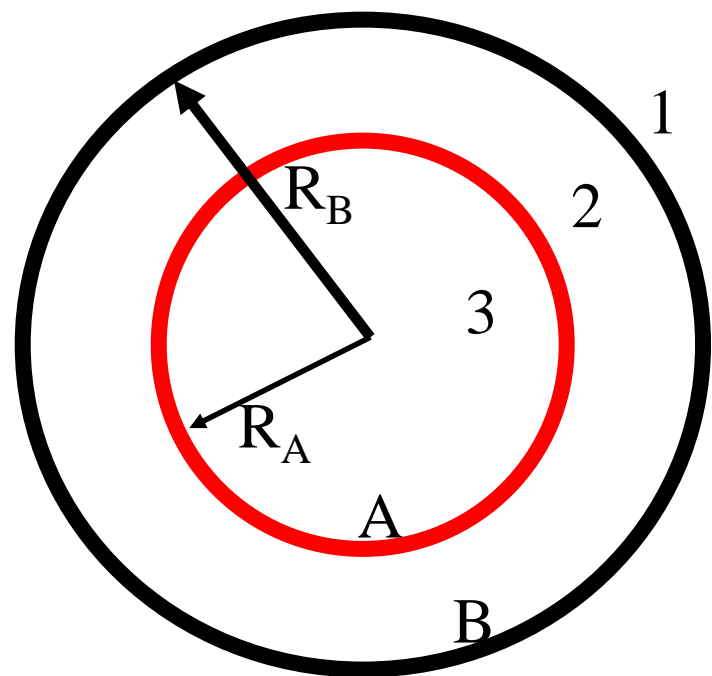
$$V = \frac{1}{4\pi\epsilon_0} \left( \frac{q_A}{r} + \frac{q_B}{r} \right)$$

区域2：

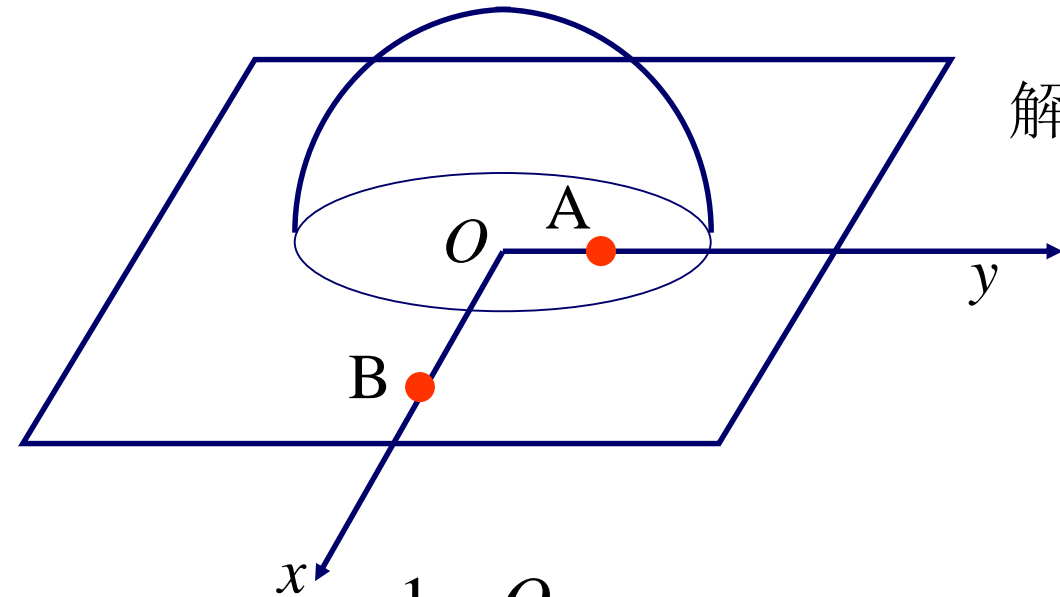
$$V = \frac{1}{4\pi\epsilon_0} \left( \frac{q_A}{r} + \frac{q_B}{R_B} \right)$$

区域3：

$$V = \frac{1}{4\pi\epsilon_0} \left( \frac{q_A}{R_A} + \frac{q_B}{R_B} \right)$$



**例4：**半径为 $R$ 的半球面，电荷均匀分布，面电荷密度 $\sigma$ ，A点坐标 $(0, R/2)$ ，B点坐标 $(3R/2, 0)$ ，求两点间电势差。



解：利用叠加原理，因为每点电势为各电荷元产生电势的代数和，并且由于对称性，半球在A，B点产生的电势为整个球的一半。

$$V_A = \frac{1}{4\pi\epsilon_0} \frac{Q}{R} \quad \longrightarrow \quad V = \frac{1}{2} \frac{1}{4\pi\epsilon_0} \left( \frac{Q}{R} - \frac{Q}{3R/2} \right)$$

$$V_B = \frac{1}{4\pi\epsilon_0} \frac{Q}{3R/2}$$

$$\longrightarrow V = \frac{\sigma R}{6\epsilon_0}$$

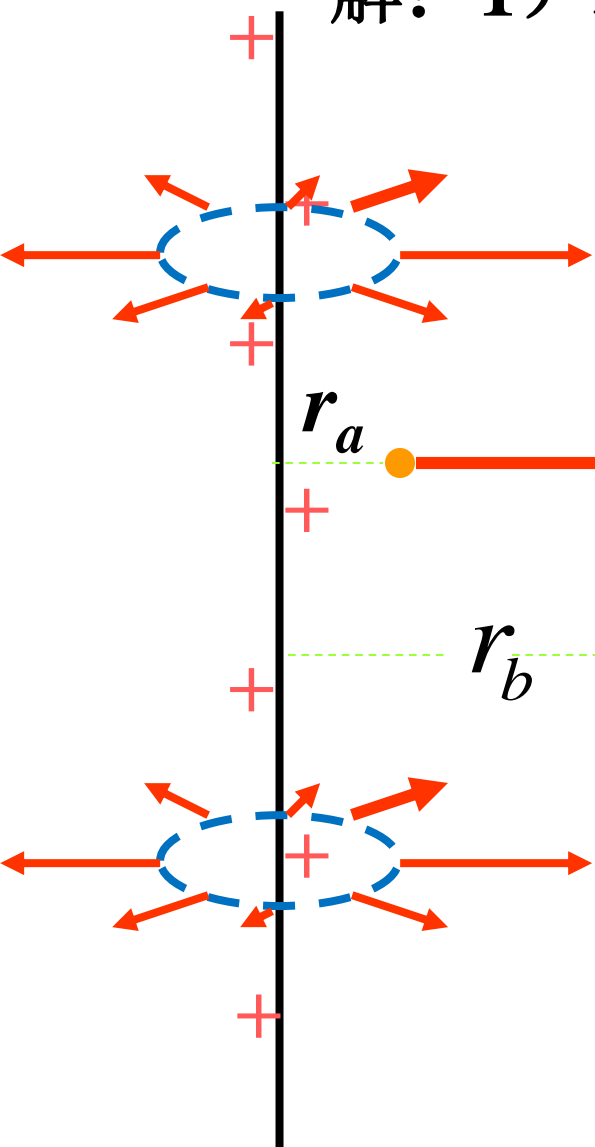
$$Q = 4\pi R^2 \sigma$$

例5： 有一根无限长带电细线，线密度为 $\lambda$ 。求距导线  $r_a$ 处一点a的电势。

$$E(r) = \frac{\lambda}{2\pi\epsilon_0 r}$$

解： 1) 若以 $\infty$ 远为参考点

$$\begin{aligned} V_a &= \int_a^\infty \vec{E} \cdot d\vec{l} = \int_{r_a}^\infty \frac{\lambda}{2\pi\epsilon_0 r} dr \\ &= \frac{\lambda}{2\pi\epsilon_0} \ln r \Big|_{r_a}^\infty \rightarrow \infty \quad \text{无意义} \end{aligned}$$



2) 以场中b点为参考点

$$\begin{aligned} V_a &= \int_a^b \vec{E} \cdot d\vec{l} \\ &= \int_{r_a}^{r_c} \frac{\lambda}{2\pi\epsilon_0 r} dr + \int_{r_c}^{r_b} E \cos 90^\circ dl \\ &= \frac{\lambda}{2\pi\epsilon_0} \ln \frac{r_b}{r_a} \end{aligned}$$



## 计算场强分布的三种办法：

1. 库仑定律+场强叠加原理
2. 电荷对称性分布：高斯定理
3. 电势梯度

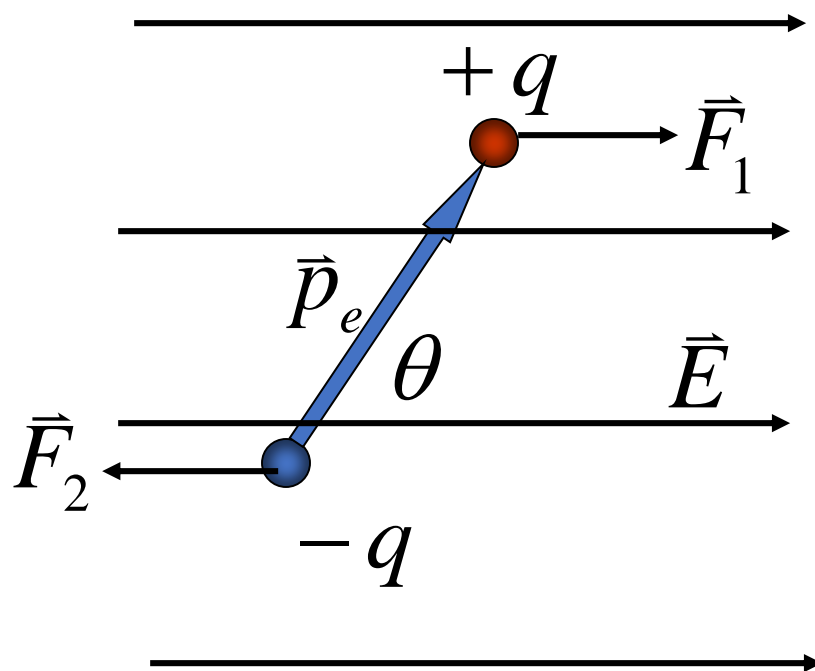
## 计算电势的方法：

1. 先计算场强，然后积分计算
2. 叠加原理。

## 例1 电偶极子在均匀外场中所受的作用。

**解：**如图所示，设在均匀外电场中，电偶极子的电矩的方向与场强方向间的夹角为 $\theta$ ，作用在电偶极子正负电荷上的力的大小均为

$$F = F_1 = F_2 = qE$$



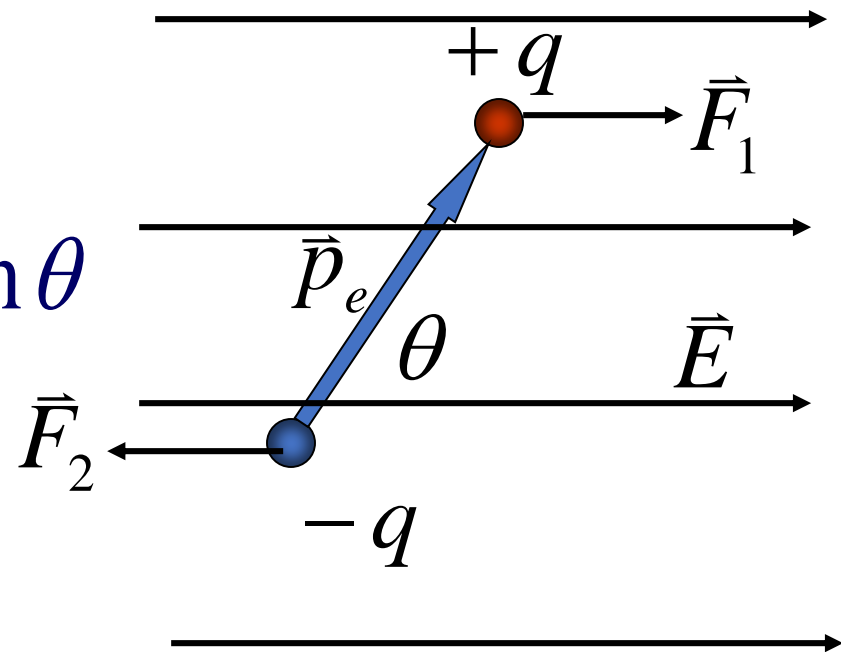
和  $\vec{F}_2$  的大小相等，方向相反，所以电偶极子所受的合力为零，电偶极子不会产生平动，但由于  $\vec{F}_1$  和  $\vec{F}_2$  不在同一直线上，所以电偶极子要受到力偶矩的大小为

$$M = Fr_e \sin \theta$$

$$= qEr_e \sin \theta = p_e E \sin \theta$$

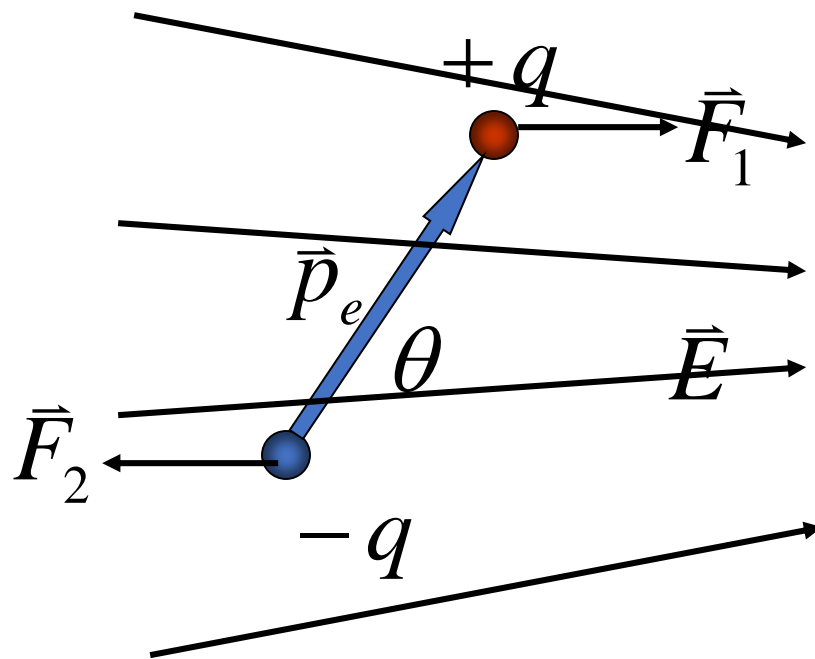
写成矢量式为

$$\vec{M} = \vec{p}_e \times \vec{E}$$



## 例2 电偶极子在不均匀外场中所受的作用。

解：如果把电偶极子在不均匀外电场中，如图所示，可设电荷 $+q$ 和 $-q$ 所在处电为 $\vec{E}_1$ 和 $\vec{E}_2$ 它们所受的电场分布分别是 $\vec{E}_1$ 和 $\vec{E}_2$ ，所以电偶极子所受的合力为



$$\begin{aligned}\vec{F} &= \vec{F}_1 + \vec{F}_2 = q\vec{E}_1 - q\vec{E}_2 \\ &= q(\vec{E}_1 - \vec{E}_2) = q r_e \left( \frac{\vec{E}_1 - \vec{E}_2}{r_e} \right) = p_e \left( \frac{\vec{E}_1 - \vec{E}_2}{r_e} \right)\end{aligned}$$

$$\vec{F} = p_e \left( \frac{\vec{E}_1 - \vec{E}_2}{r_e} \right)$$

由此可见，在不均匀的电场中，作用于电偶极子上的合力既与电矩 $p_e$ 成正比，会和 $r$ 方向上电场强度的变化率成正比，电场的不均匀性愈大时，电偶极子所受的力也愈大。

电偶极子所受的力矩为

$$\begin{aligned} M &= F_1 \frac{r_e}{2} \sin \theta + F_2 \frac{r_e}{2} \sin \theta \\ &= qE_1 \frac{r_e}{2} \sin \theta + qE_2 \frac{r_e}{2} \sin \theta \end{aligned}$$

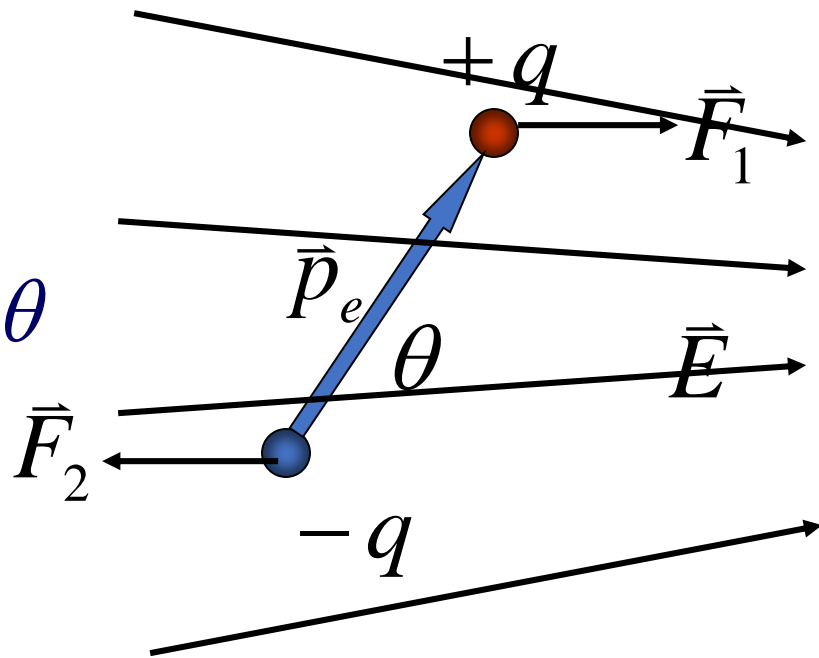
因为电偶极子所在处的小范围内 $\Delta E$  是很小的  
，所以在上式中可以认为

$$E_1 \approx E_2 = E$$

$$M = qE_1 \frac{r_e}{2} \sin \theta + qE_2 \frac{r_e}{2} \sin \theta$$
$$\approx p_e E \sin \theta$$

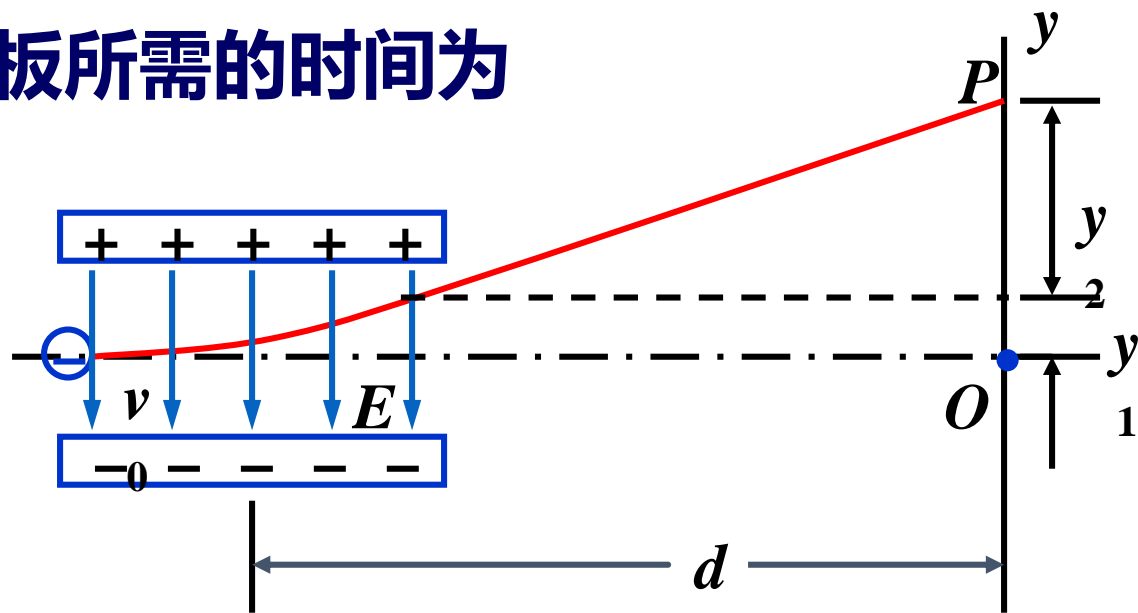
写成矢量式为

$$\vec{M} \approx \vec{p}_e \times \vec{E}$$



例 试从示波器内电子束受到横向电场的偏折计算荧光屏上光点的位移。

解：如图所示，一束电子射线以速度  $v_0$  进入与  $v_0$  垂直的横向匀强电场中，由于电子受到一个与场强  $E$  方向相反的作用力，所以电子通过电场后将偏离原来  $v_0$  方向。利用上面讨论的结果，可得电子通过长为  $l$  的偏转板所需的时间为



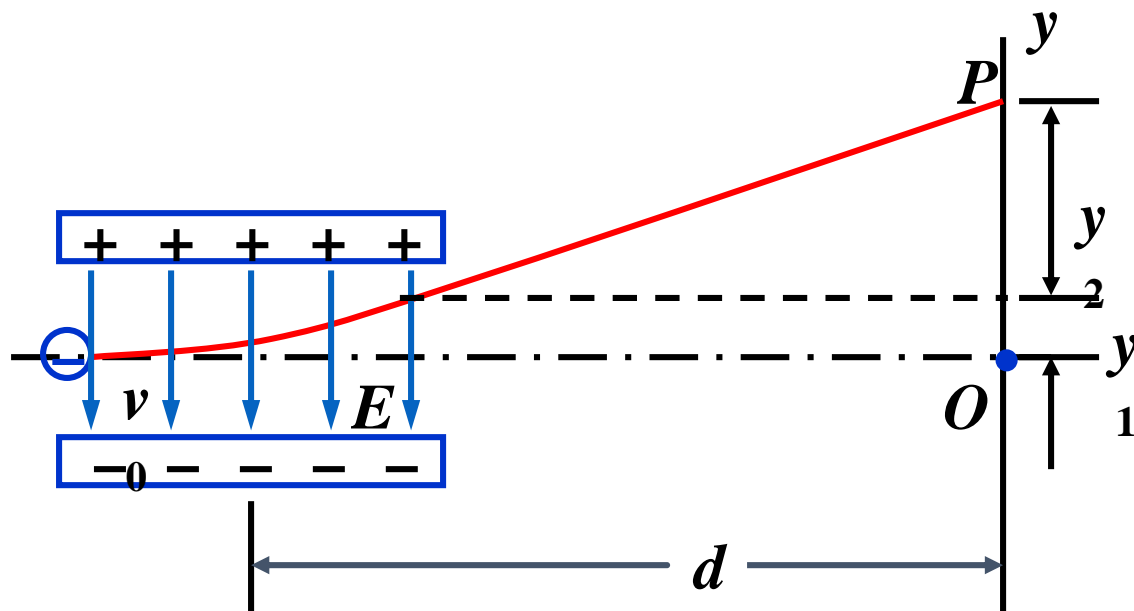
$$t_1 = \frac{l}{v_0}$$

在  $t_1$  时间内，  
电子在y轴方向的  
位移分量为

$$y_1 = \frac{1}{2}at_1^2 = \frac{eEl^2}{2mv_0^2}$$

相应的速度分量由零增加到

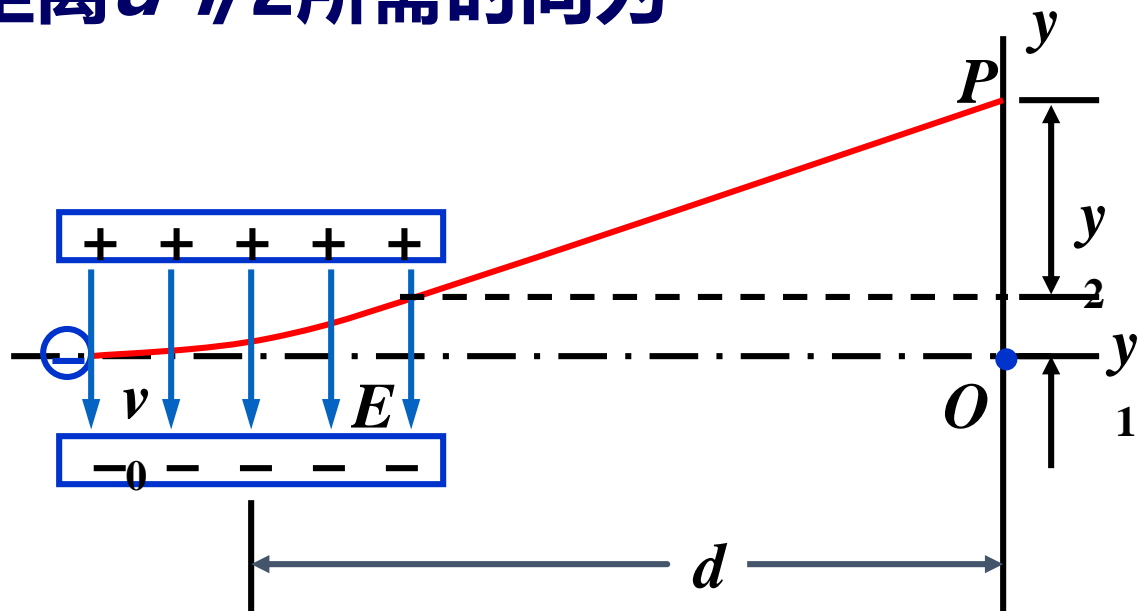
$$v_1 = at_1 = \frac{eEl}{mv_0}$$





电子通过偏转板后，不再受电场力的作用，它将以离开偏转板时的速度匀速前进，并打到荧光屏上。设偏转板中心到荧光屏的距离为  $d$ ，电子通过纵向距离  $d-l/2$  所需时间为

$$t_2 = \frac{d - \frac{l}{2}}{v_0}$$



在此时间内，电子在y轴方向的位移为

$$y_2 = v_1 t_2 = \frac{eE}{m} \left( \frac{l}{v_0} \right) \left( \frac{d - \frac{l}{2}}{v_0} \right)$$

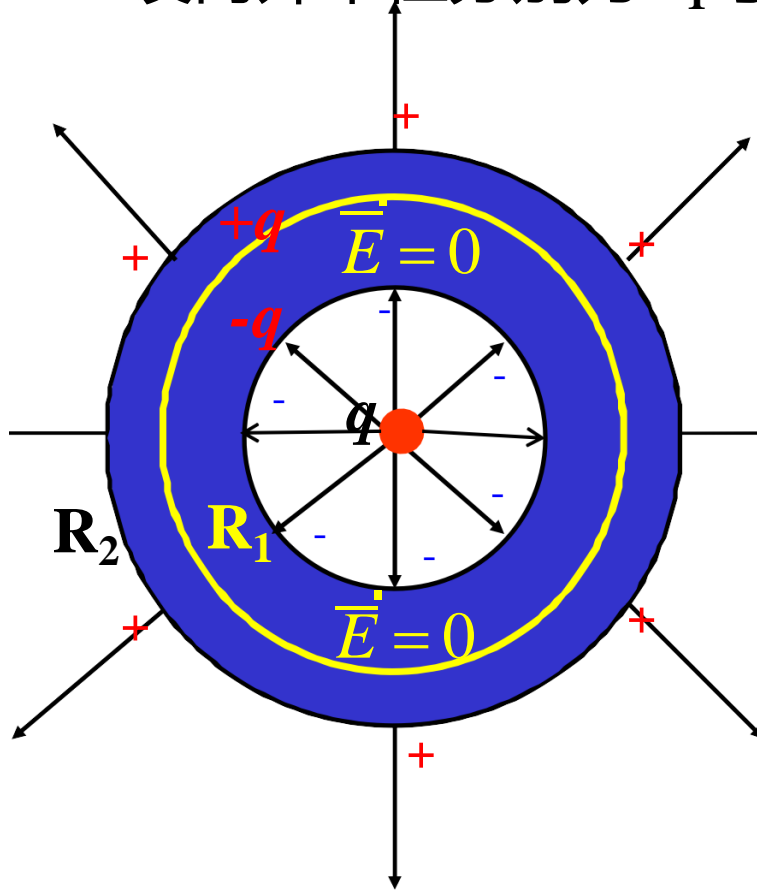
于是电子在荧光屏上产生的光点P离入射方向的横向位移为

$$y = y_1 + y_2 = \frac{eld}{mv_0^2} E$$

上述结果指出：荧光屏上光点的位移y与偏转板中场强  $E$  的大小成正比，并随  $E$  的方向和大小的变化而上下移动。

对导体空腔情况：(2) 空腔内放置一电荷 $q$

设内外半径分别为 $R_1$ 与 $R_2$



问题1：球壳内、外壁感应出来的电量是多少？

球壳内( $R_1 < r < R_2$ )处，电场为零，对左图黄色球面应用高斯定理。

$$\oiint_S \vec{E} \cdot d\vec{S} = \iiint_V \frac{\rho}{\epsilon_0} dV$$

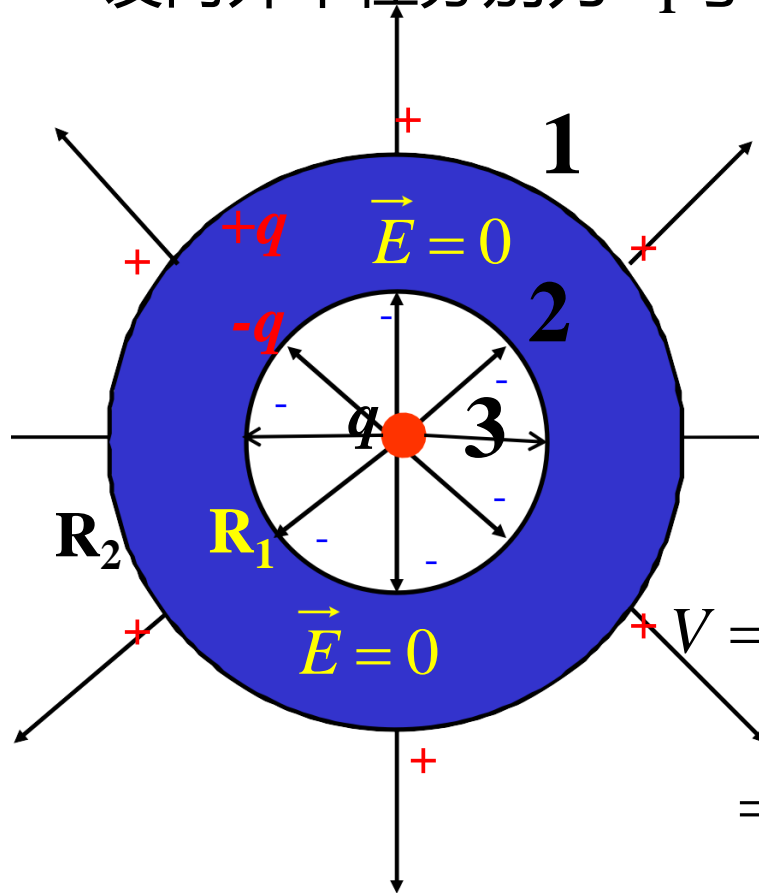
等式左边为零，右边也应为零。这要求内壁 $R_1$ 处感应出电量 $-q$ 。

因为总电量守恒，外壳 $R_2$ 处感应出的电量应为 $+q$ 。

## 问题2：球壳内、外电场强度和电势？

设内外半径分别为 $R_1$ 与 $R_2$

以下均省略因子  $\frac{q}{4\pi\epsilon_0}$



区域1:  $E = \frac{1}{r^2} \quad V = \frac{1}{r}$

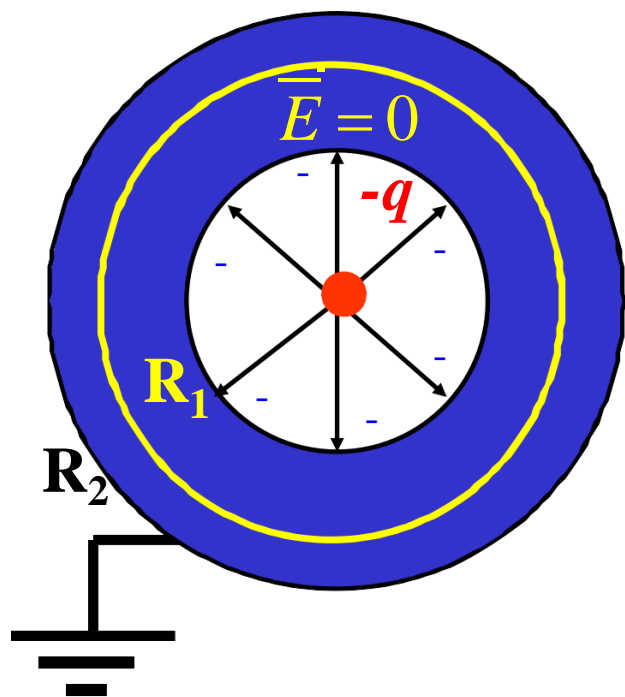
区域2( $R_1 < r < R_2$ ):  $E = 0 \quad V = \frac{1}{R_2}$

区域3( $r < R_1$ ):  $E = \frac{1}{r^2}$

$$V = \int_r^\infty \vec{E} \cdot d\vec{l} = \int_r^{R_1} \vec{E} \cdot d\vec{l} + 0 + \int_{R_2}^\infty \vec{E} \cdot d\vec{l}$$

$$= \left(-\frac{1}{r}\right) \Big|_r^{R_1} + \frac{1}{R_2} = \frac{1}{r} - \frac{1}{R_1} + \frac{1}{R_2}$$

对导体空腔情况：(2) 空腔内放置一电荷 $q$   
外表面接地。

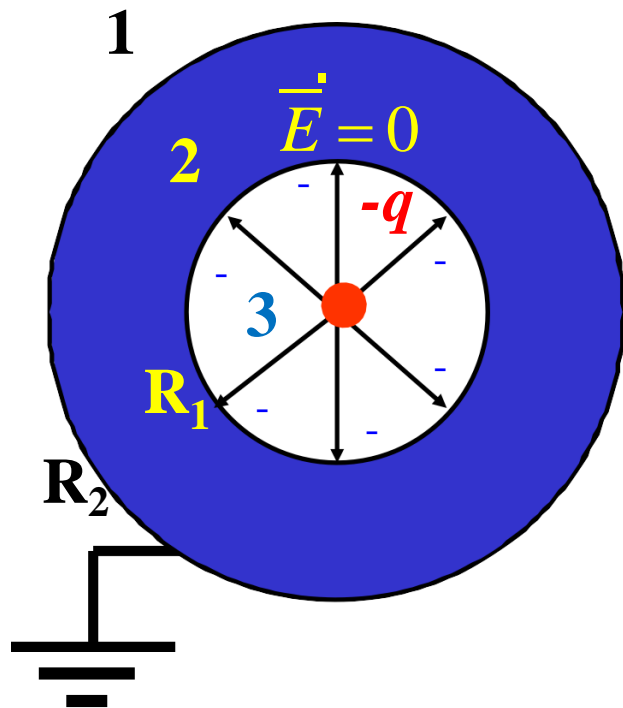


接地的含义是使其电势为零。  
但电荷不一定为零！

对黄色曲面应用高斯定理，可证其内部总电荷为0，于是内壁感应出的电荷量仍为 $-q$ 。

由接地导体的电势为零，可知外壁( $R_2$ )处无电荷(不是普适结论!)

对导体空腔情况：2) 空腔内放置一电荷 $q$   
外表面接地。



区域1:  $E = 0$

$V = 0$

区域2( $R_1 < r < R_2$ ):

$E = 0$

$V = 0$

区域3( $r < R_1$ ):

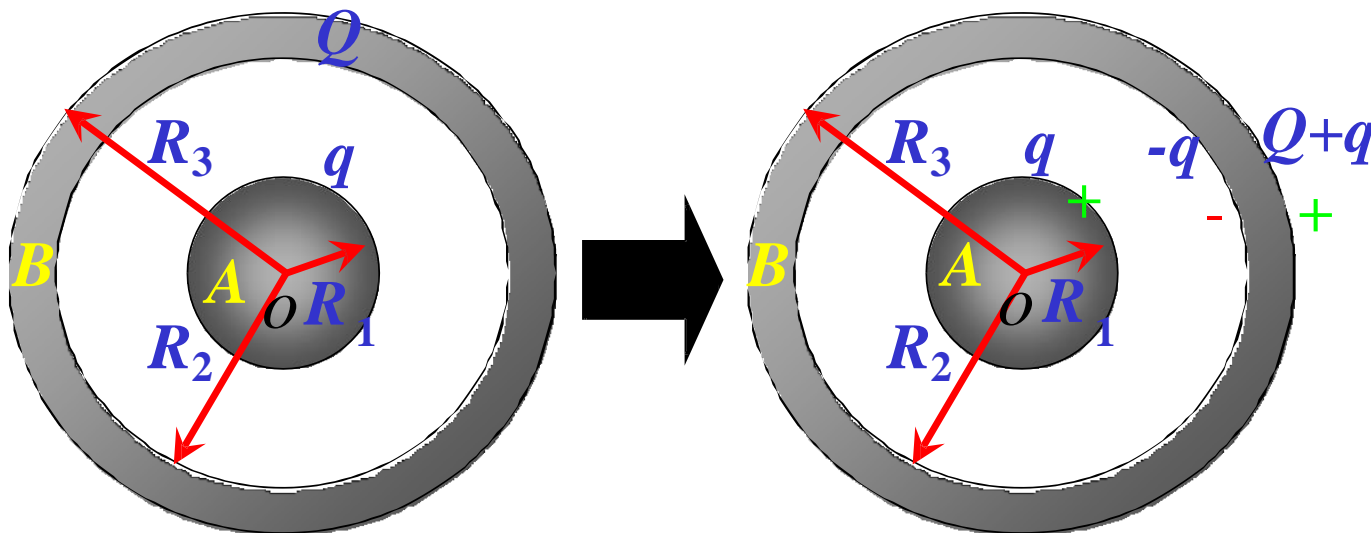
$E = \frac{1}{r^2}$

$$V = \int_r^\infty \vec{E} \cdot d\vec{l} = \int_r^{R_1} \vec{E} \cdot d\vec{l} + 0 + 0$$

$$= \left( -\frac{1}{r} \right) \Big|_r^{R_1} = \frac{1}{r} - \frac{1}{R_1}$$

应用：静电屏蔽

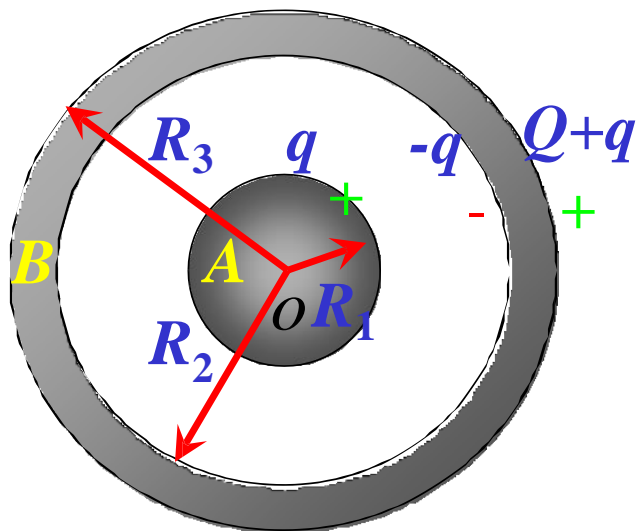
例：金属球A与金属球壳B同心放置，已知A带电量为 $q$ ，B带电量为 $Q$ ，求电荷分布、空间场强、电势。



解：

- 1) 对于金属球A，电荷应分布在A表面。
- 2) 对于球壳B，取一刚好包围B内表面的球面，应用高斯定理可知，B的内表面电荷应为 $q$ 。
- 3) 于是B的外表面电荷为 $Q+q$ 。

4) 根据导体的性质和应用高斯定理可知



$$\left\{ \begin{array}{l} \vec{E}(R_3 < r) = \frac{1}{4\pi\epsilon_0} \frac{Q+q}{r^2} \hat{r} \\ \vec{E}(R_2 < r < R_3) = 0 \\ \vec{E}(R_1 < r < R_2) = \frac{1}{4\pi\epsilon_0} \frac{q}{r^2} \hat{r} \\ \vec{E}(r < R_1) = 0 \end{array} \right.$$

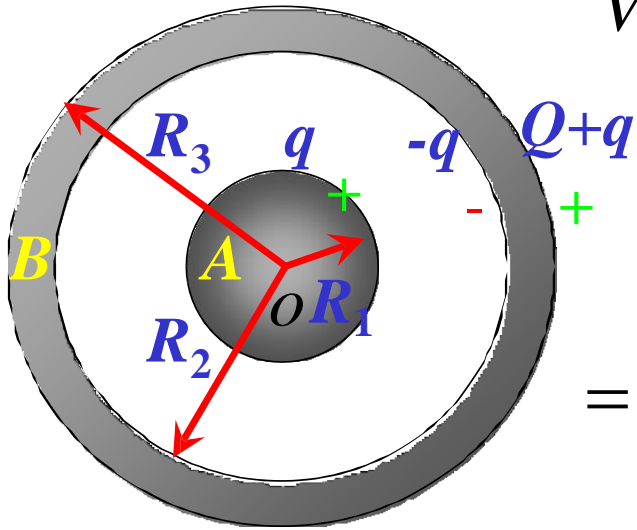
5) 球壳B外部的电势为

$$V(R_3 < r) = \int_r^{\infty} \vec{E} \cdot d\vec{l} = \frac{1}{4\pi\epsilon_0} \frac{Q+q}{r}$$

根据导体的性质

$$V(R_2 < r < R_3) = \frac{1}{4\pi\epsilon_0} \frac{Q+q}{R_3}$$



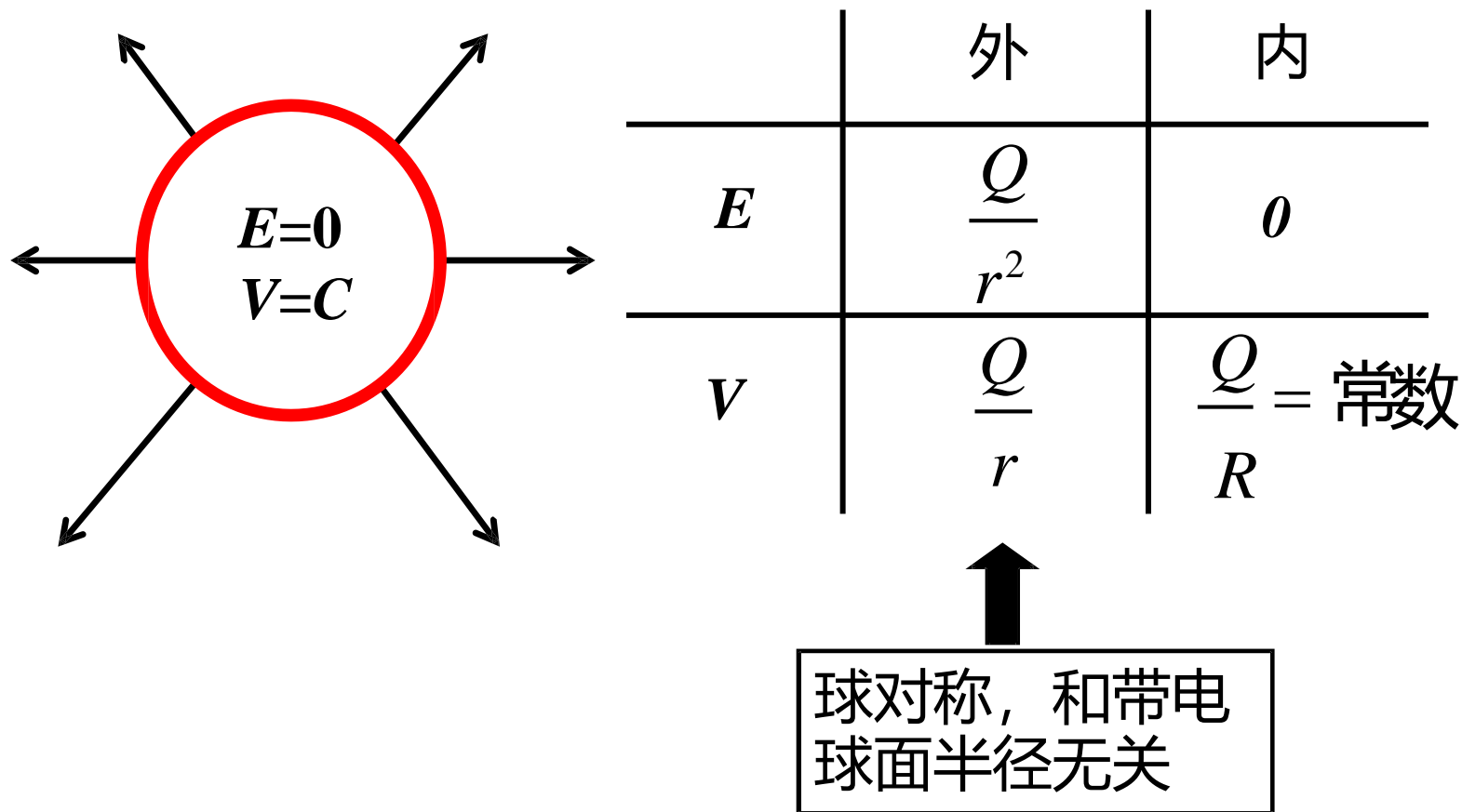


$$\begin{aligned}
 V(R_1 < r < R_2) &= \int_r^{R_2} \vec{E} \cdot d\vec{l} + \int_{R_2}^{\infty} \vec{E} \cdot d\vec{l} \\
 &= \frac{q}{4\pi\epsilon_0} \int_r^{R_2} \frac{1}{r^2} dr + \int_{R_2}^{\infty} \\
 &= \frac{q}{4\pi\epsilon_0} \left( \frac{1}{r} - \frac{1}{R_2} \right) + \frac{1}{4\pi\epsilon_0} \frac{Q+q}{R_3} \\
 &= \frac{1}{4\pi\epsilon_0} \left( \frac{Q+q}{R_3} - \frac{q}{R_2} + \frac{q}{r} \right)
 \end{aligned}$$

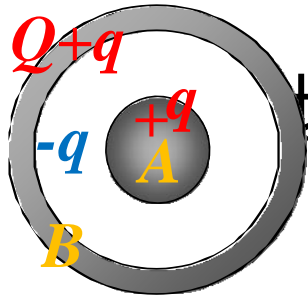
$$V(r < R_1) = \frac{1}{4\pi\epsilon_0} \frac{Q+q}{R_3} - \frac{q}{R_2} + \frac{q}{R_1}$$

解2：应用叠加原理

回顾：均匀分布的带电球面产生的电场、电势为

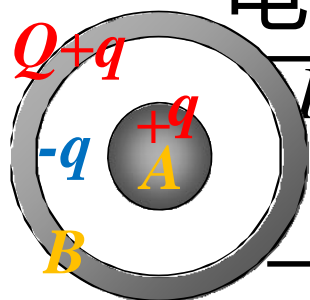


## 解2: 应用叠加原理



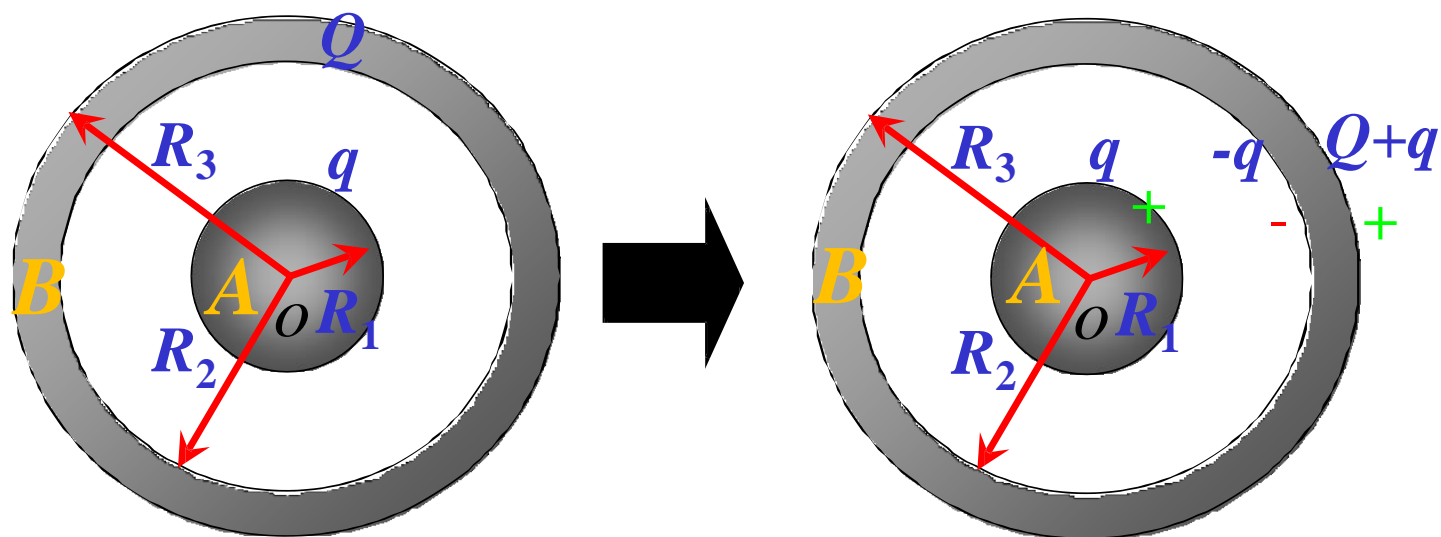
场强 $E$	$B$ 外	$B$ 内	$A$ 外	SUM
$r > R_3$	$\frac{Q+q}{r^2}$	$\frac{-q}{r^2}$	$\frac{q}{r^2}$	$\frac{Q+q}{r^2}$
$R_2 < r < R_3$	<b>0</b>	$\frac{-q}{r^2}$	$\frac{q}{r^2}$	<b>0</b>
$R_1 < r < R_2$	<b>0</b>	<b>0</b>	$\frac{q}{r^2}$	$\frac{q}{r^2}$
$r < R_1$	<b>0</b>	<b>0</b>	<b>0</b>	<b>0</b>
静电屏蔽是空间电荷叠加的结果。				

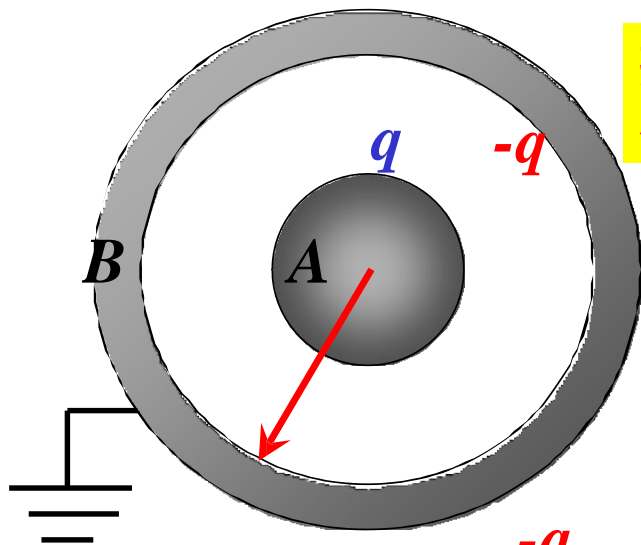
解2: 应用叠加原理



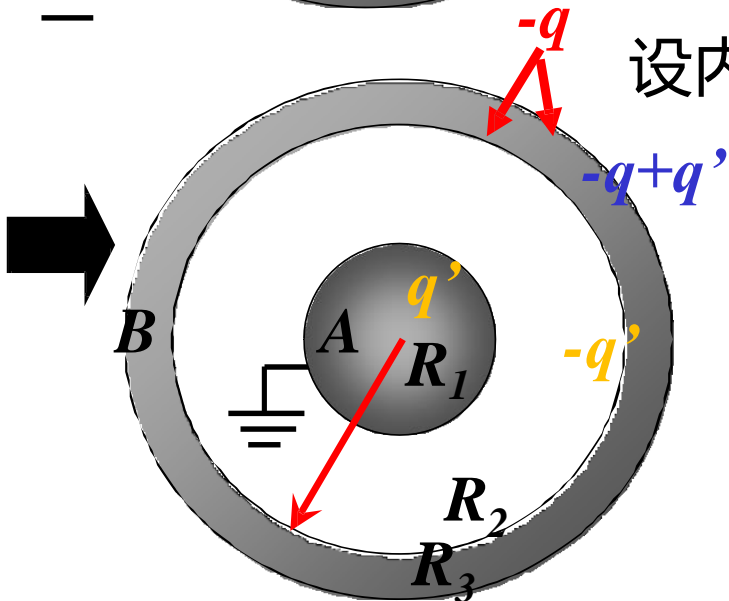
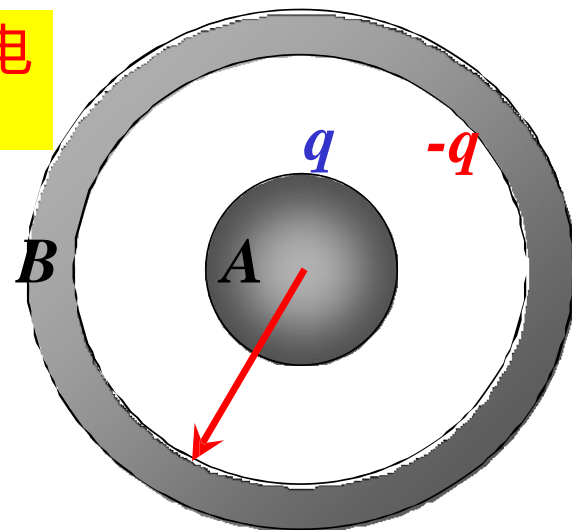
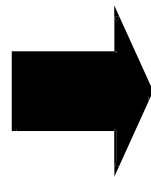
电势 $V$	$B$ 外	$B$ 内	$A$ 外	SUM
$R_3 < r$	$\frac{Q+q}{r}$	$\frac{-q}{r}$	$\frac{q}{r}$	$\frac{Q+q}{r}$
$R_2 < r < R_3$	$\frac{Q+q}{R_3}$	$\frac{-q}{r}$	$\frac{q}{r}$	$\frac{Q+q}{R_3}$
$R_1 < r < R_2$	$\frac{Q+q}{R_3}$	$\frac{-q}{R_2}$	$\frac{q}{r}$	$\frac{Q+q}{R_3} - \frac{q}{R_2} + \frac{q}{r}$
$r < R_1$	$\frac{Q+q}{R_3}$	$\frac{-q}{R_2}$	$\frac{q}{R_1}$	$\frac{Q+q}{R_3} - \frac{q}{R_2} + \frac{q}{R_1}$

例：金属球  $A$  与金属球壳  $B$  同心放置，已知  $A$  带电量为  $q$ ， $B$  带电量为  $Q$ ，现在将  $B$  球接地，然后断开，再将  $A$  球接地。求电荷分布。





接地导体所带电荷不一定是零!

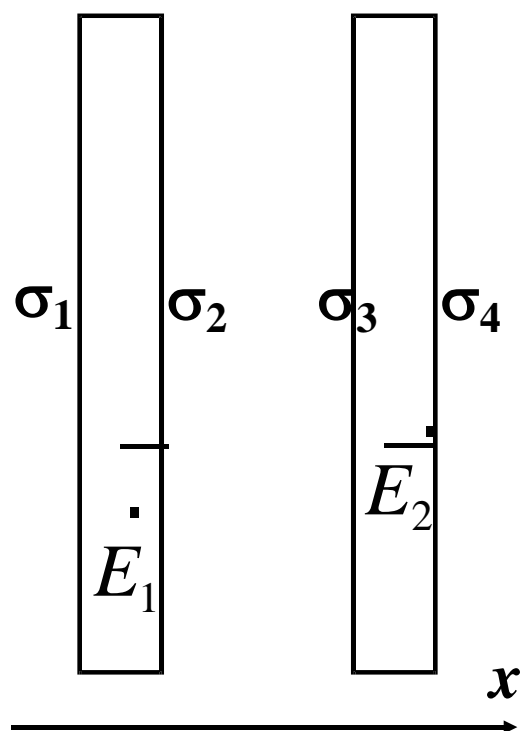


设内壁感应电荷为 $-q'$ ,则内壁电势为

$$\frac{q'}{R_1} + \frac{-q'}{R_2} + \frac{-q + q'}{R_3} = 0$$

$$\Rightarrow q' = \frac{qR_2R_3}{R_1R_2 + R_2R_3 - R_1R_3}$$

例：两导体板平行相对放置，带电量分别为 $Q$ 和 $Q'$ ，如两导体板的四个平行表面的面积都是 $S$ ，且可视为无限大板，求四个面上的面电荷密度。



$$E_1 = \frac{1}{2\epsilon_0} (\sigma_1 - \sigma_2 - \sigma_3 - \sigma_4) = 0$$

$$E_2 = \frac{1}{2\epsilon_0} (\sigma_1 + \sigma_2 + \sigma_3 - \sigma_4) = 0$$

$$\sigma_1 + \sigma_2 = Q/S$$

$$\sigma_3 + \sigma_4 = Q'/S$$

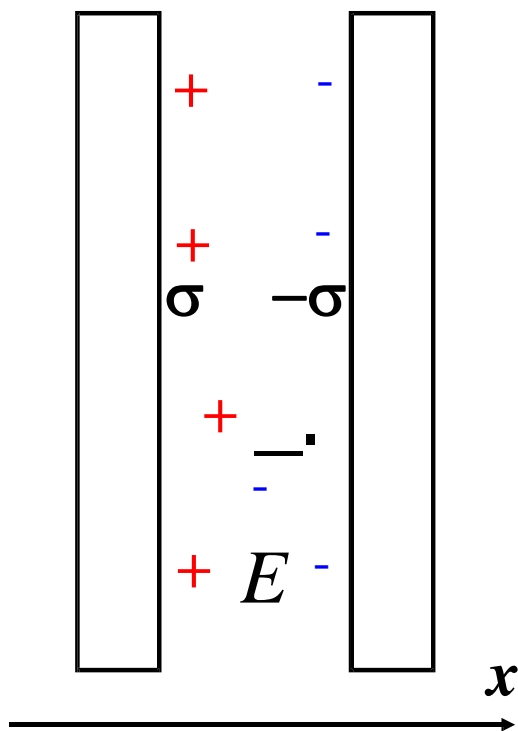
$$\Rightarrow \begin{cases} \sigma_1 = \sigma_4 = \frac{(Q + Q')}{2S} \\ \sigma_2 = -\sigma_3 = \frac{(Q - Q')}{2S} \end{cases}$$

$$\begin{cases} \sigma_1 = \sigma_4 = \frac{(Q + Q')}{2S} \\ \sigma_2 = -\sigma_3 = \frac{(Q - Q')}{2S} \end{cases}$$

当  $Q = -Q' = \sigma S$  时,

$$\begin{cases} \sigma_1 = \sigma_4 = 0 \\ \sigma_2 = -\sigma_3 = \sigma \end{cases}$$

电荷全分布在  
内表面



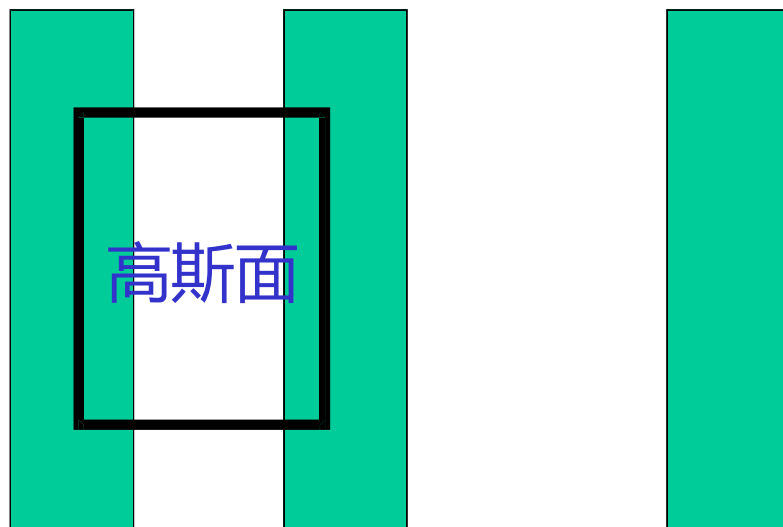
空间电场只有两板之间非零,

$$E = 2 \frac{\sigma}{2\varepsilon_0} = \frac{\sigma}{\varepsilon_0}$$

用高斯定理可以得到同样的结果。



例：对于三个平行排列的导体板，计算上面问题。

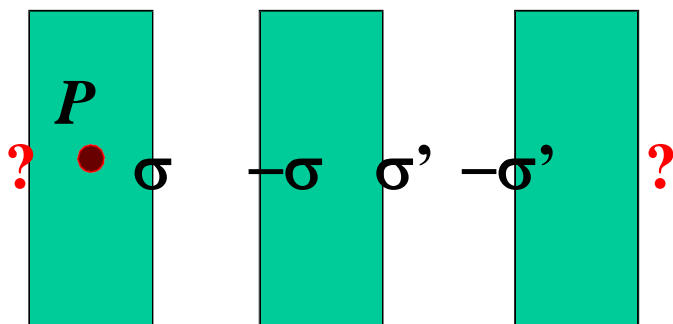


由高斯定理和导体的性质可以得到一般性结论：

- 1) 相对的平面带有等量异号电荷。
- 2) 最外侧两个面带等量同号电荷。

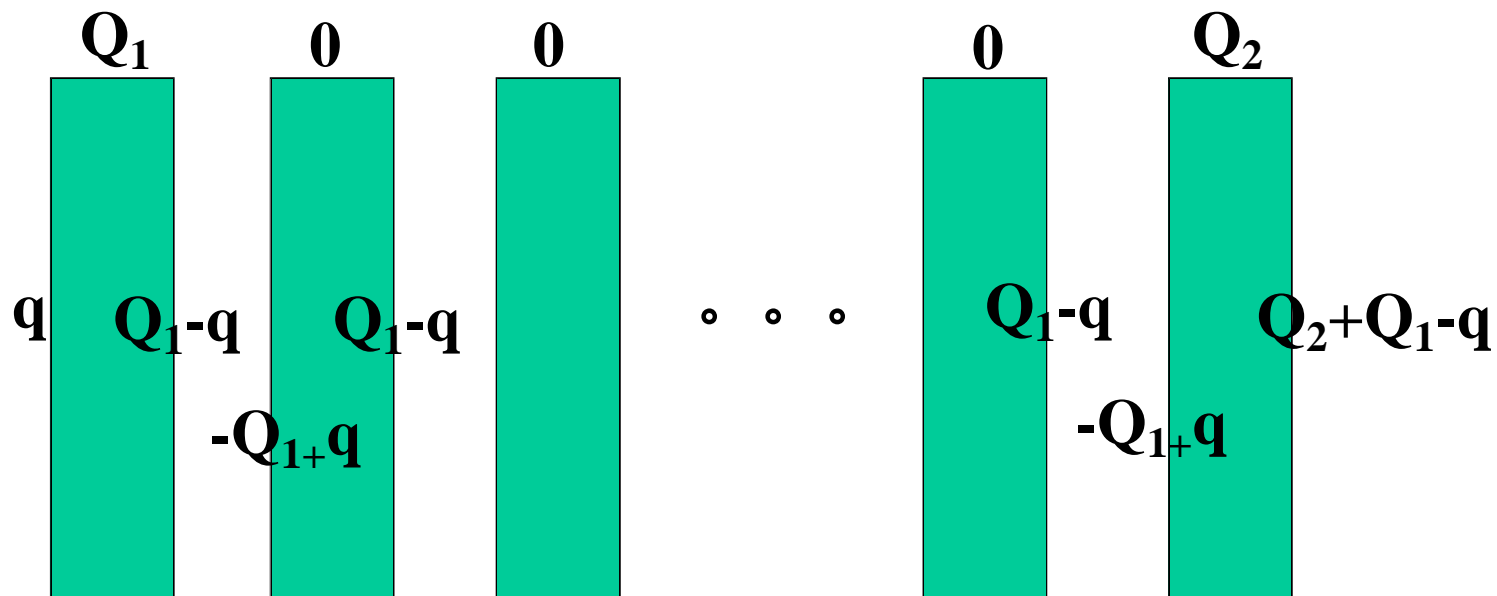
根据这个性质列方程等同于根据导体内部电场为零列方程。

## 定理2) 的证明



- 由最左边导体内部电场为零和叠加原理，这个零电场是由所有极板的电荷分布决定的。
- 除去最外侧两个极板外，所有极板成对出现并带有等量异号电荷，它们产生的场强相互抵消。
- 要使最左边导体内部电场为零，只有最外侧两个极板带等量同种电荷。

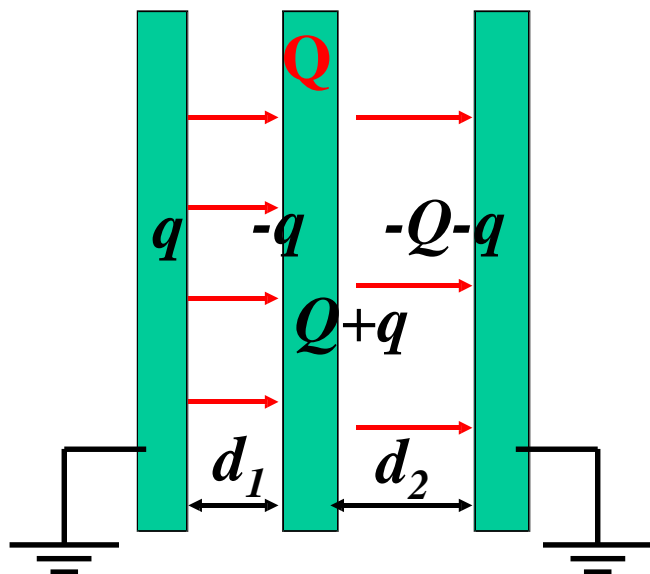
一系列(N)个极板，已知两侧极板总电量分别为 $Q_1, Q_2$ ，中间所有极板总电荷为零，求电荷分布。



由前页定理(2)  $\Rightarrow q = Q_2 + Q_1 - q$

$$q = (Q_2 + Q_1) / 2$$

例：图中三个平行导体平板，其中两侧的接地，已知中间板带的电量为 $Q$ 和三个平板间的相互距离，求电荷分布和各板电势。



$$\frac{q}{S\epsilon_0}d_1 + \frac{Q+q}{S\epsilon_0}d_2 = 0$$

$$\Rightarrow q = -\frac{d_2}{d_1 + d_2}Q$$

$$\Rightarrow V_a = \frac{d_1 d_2}{d_1 + d_2} \frac{Q}{S\epsilon_0}$$

## 1. 孤立导体的电容

电容定义为,  $C = \frac{Q}{V}$

它反映了储存电荷和电能的能力。

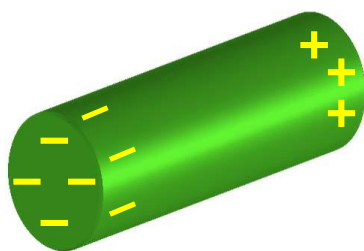
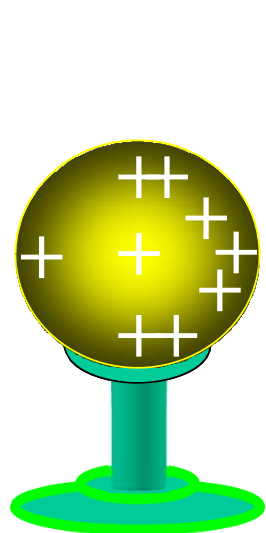
对于一个半径为 $R$ 的孤立导体球, 它的电势为

$$V = \frac{1}{4\pi\epsilon_0} \frac{Q}{R}$$

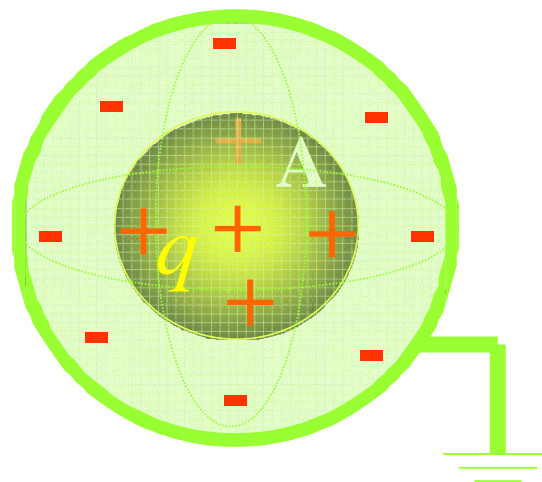
则导体球的电容为  $C = \frac{Q}{V} = 4\pi\epsilon_0 R$

孤立导体作储能元件的问题：

- 1) 能量贮存在整个空间，不集中。
- 2) 电容值受周围导体或带电体影响。

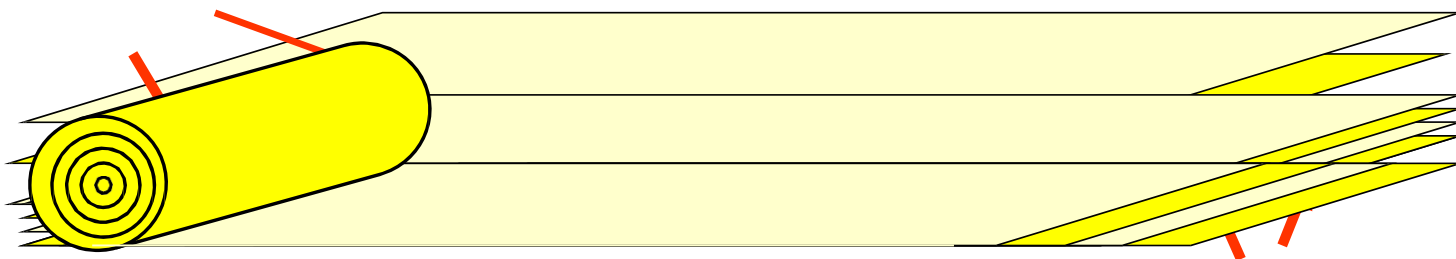


解决办法--静电屏蔽



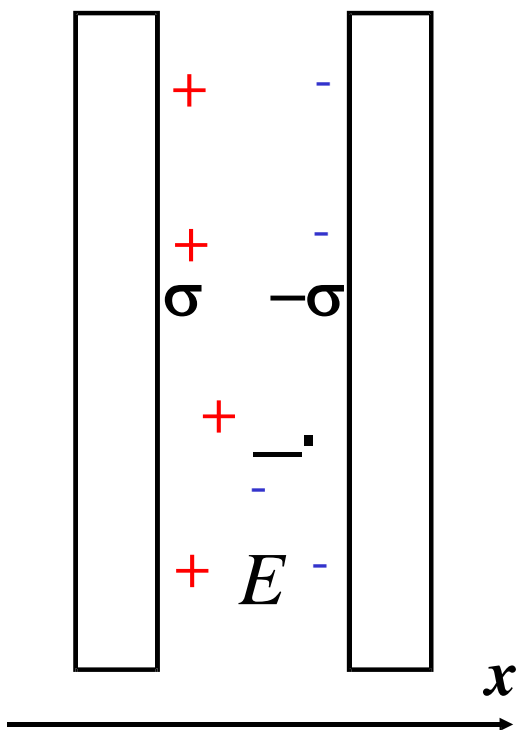
无论壳外有无电荷、接地与否都不影响AB间的电压。

实际中屏蔽不一定要要求很高故在工艺上用两无限大平板（极板）代替**AB**导体。



提高电容的重要手段，加入电介质。

## 2. 平板电容器



两个导体构成的体系称为电容器，  
它的电容定义为

$$C = \frac{Q_A}{U_{AB}} = \frac{Q}{V_A - V_B}$$

左图两平板之间电场为

$$E = \frac{\sigma}{\epsilon_0}$$

则两平板电势差为  $U_{AB} = E \cdot d$

$$C = \frac{Q_A}{U_{AB}} = \frac{\sigma S}{Ed} = \frac{\epsilon_0 S}{d}$$



### 3. 同心球壳的电容

根据对称性，并应用高斯定理

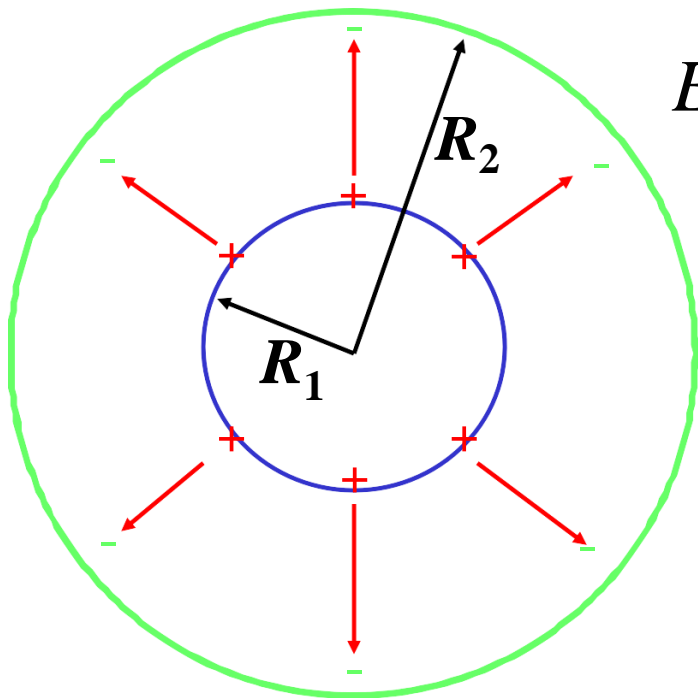
$$E4\pi r^2 = \frac{q}{\epsilon_0} \Rightarrow E = \frac{1}{4\pi\epsilon_0} \frac{q}{r^2}$$

两球壳间电势差

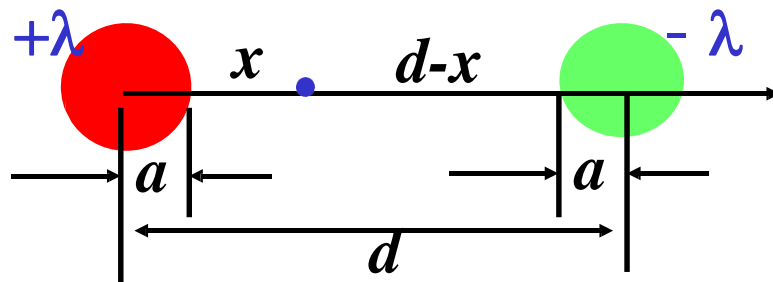
$$\begin{aligned} U_{AB} &= \int_{R_1}^{R_2} E \cdot dr = \int_{R_1}^{R_2} \frac{1}{4\pi\epsilon_0} \frac{q}{r^2} dr \\ &= \frac{q}{4\pi\epsilon_0} \left( \frac{1}{R_1} - \frac{1}{R_2} \right) \end{aligned}$$

电容为

$$C = \frac{Q}{U} = \frac{4\pi\epsilon_0 R_1 R_2}{R_2 - R_1}$$



#### 4. 两根无限长平行直导线单位长度的电容



设线电荷密度为 $\lambda$ ，则图中 $x$ 处的电场强度为

$$E = \frac{1}{4\pi\epsilon_0} \left( \frac{2\lambda}{x} + \frac{2\lambda}{d-x} \right)$$

电势差为  $U = \int_a^{d-a} E dx = \frac{\lambda}{2\pi\epsilon_0} 2 \ln \frac{d-a}{a} \approx \frac{\lambda}{\pi\epsilon_0} \ln \frac{d}{a}$

单位长度的电容为  $C = \frac{Q}{U} = \pi\epsilon_0 / \ln \frac{d}{a}$

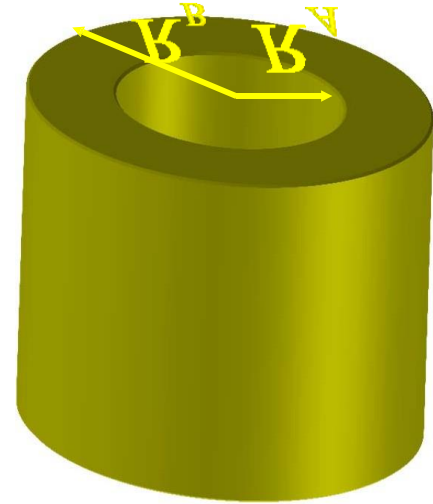
## 5. 同轴圆柱形电容器的电容

$$\therefore E = \frac{\lambda}{2\pi\epsilon_0 r}$$

$$\therefore U_+ - U_- = \int_+^- \mathbf{E} \cdot d\mathbf{l}$$

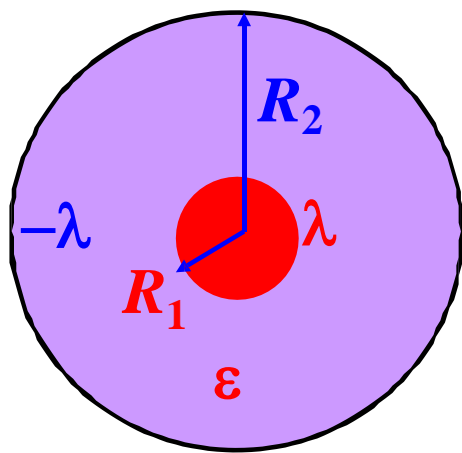
$$= \int_{R_A}^{R_B} \frac{\lambda}{2\pi\epsilon_0 r} dr = \frac{\lambda}{2\pi\epsilon_0} \ln \frac{R_B}{R_A}$$

$$\therefore C_0 = \frac{q}{U_+ - U_-} = \frac{\lambda l}{\frac{\lambda}{2\pi\epsilon_0} \ln \frac{R_B}{R_A}} = \frac{2\pi\epsilon_0 l}{\ln \frac{R_B}{R_A}}$$



例：求填充了介电常数为 $\varepsilon$ 的同轴圆柱形电容器内部电场的静电能。

解：由高斯定理



$$D \cdot 2\pi r L = \lambda L \quad \Rightarrow \quad D = \frac{\lambda}{2\pi r}$$

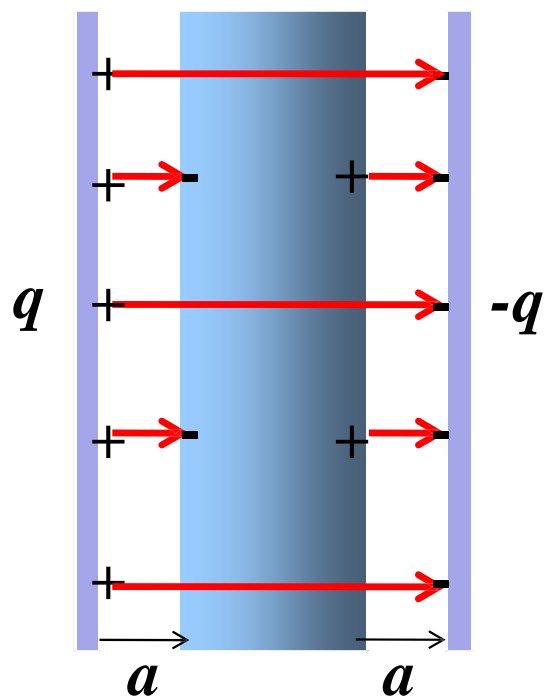
$$E = D / \varepsilon = \frac{\lambda}{2\pi \varepsilon r}$$

$$w = \frac{1}{2} \vec{D} \cdot \vec{E} = \frac{1}{2} \frac{\lambda^2}{4\pi^2 \varepsilon r^2}$$

对单位长度的  
电容器：

$$W = \int_{R_1}^{R_2} \frac{1}{2} \frac{\lambda^2}{4\pi^2 \varepsilon r^2} \cdot 2\pi r dr = \frac{\lambda^2}{4\pi \varepsilon} \ln \frac{R_2}{R_1}$$

思考题：如图，间距为 $d$ 的平行极板中充有电介质 $\epsilon$ ，设电介质紧贴极板，即 $a \ll d$ 。问其中储存的电场能。



$a$   
 $\ll$   
 $d$

$$w = \frac{1}{2} D \cdot E \cdot Sd = \frac{1}{2} \sigma \frac{\sigma}{\epsilon} \cdot Sd$$

也可以：

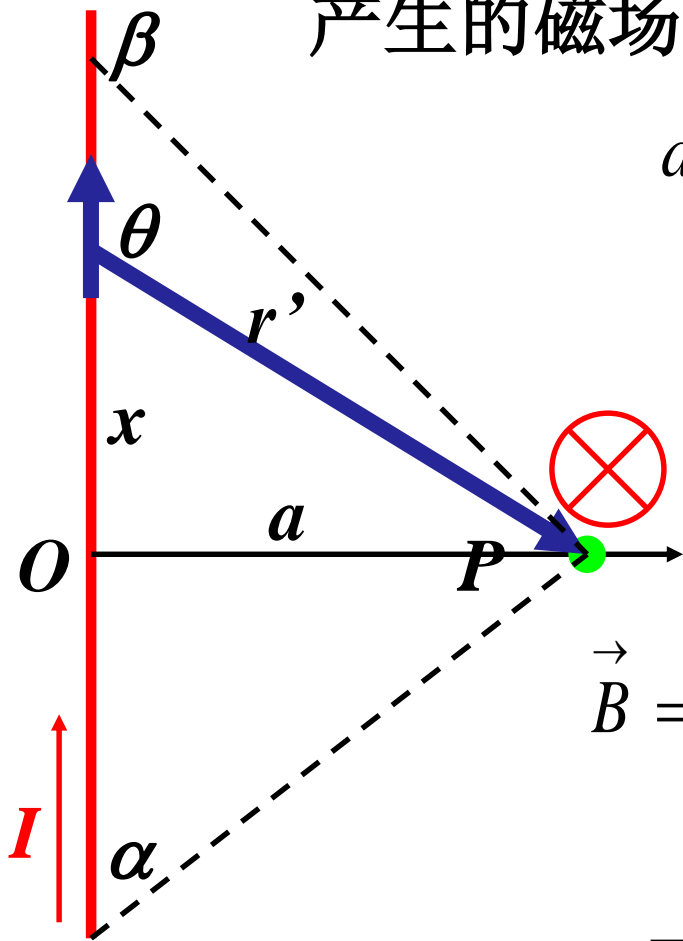
$$w = \frac{1}{2} \int \sigma \phi dS = \frac{1}{2} \sigma U S = \frac{1}{2} \sigma E d S$$

$$= \frac{1}{2} \sigma E \cdot Sd = \frac{1}{2} \sigma \frac{\sigma}{\epsilon_0} \cdot Sd$$

但问题是：极板附近电荷为自由电荷和感应电荷之和，它应该小于上式中的电荷。

答案：用第二个公式计算时，不应该考虑感应电荷。

例：如图，求一段通以电流  $I$  的直导线在  $P$  点产生的磁场。



$$d\vec{B} = \frac{\mu_0}{4\pi} \frac{Id \vec{l} \times \vec{r}'}{r'^3} = \frac{\mu_0 I}{4\pi} \frac{dx \sin \theta}{x^2 + a^2}$$

由于  $-ctg \theta = \frac{x}{a}$  得到，

$$dx = -ad(ctg \theta) = \frac{ad \theta}{\sin^2 \theta}$$

$$\vec{B} = \frac{\mu_0 I}{4\pi} \int \frac{dx \sin \theta}{x^2 + a^2} = \frac{\mu_0 I}{4\pi} \int \frac{ad \theta \sin \theta}{\sin^2 \theta \cdot a^2 / \sin^2 \theta}$$

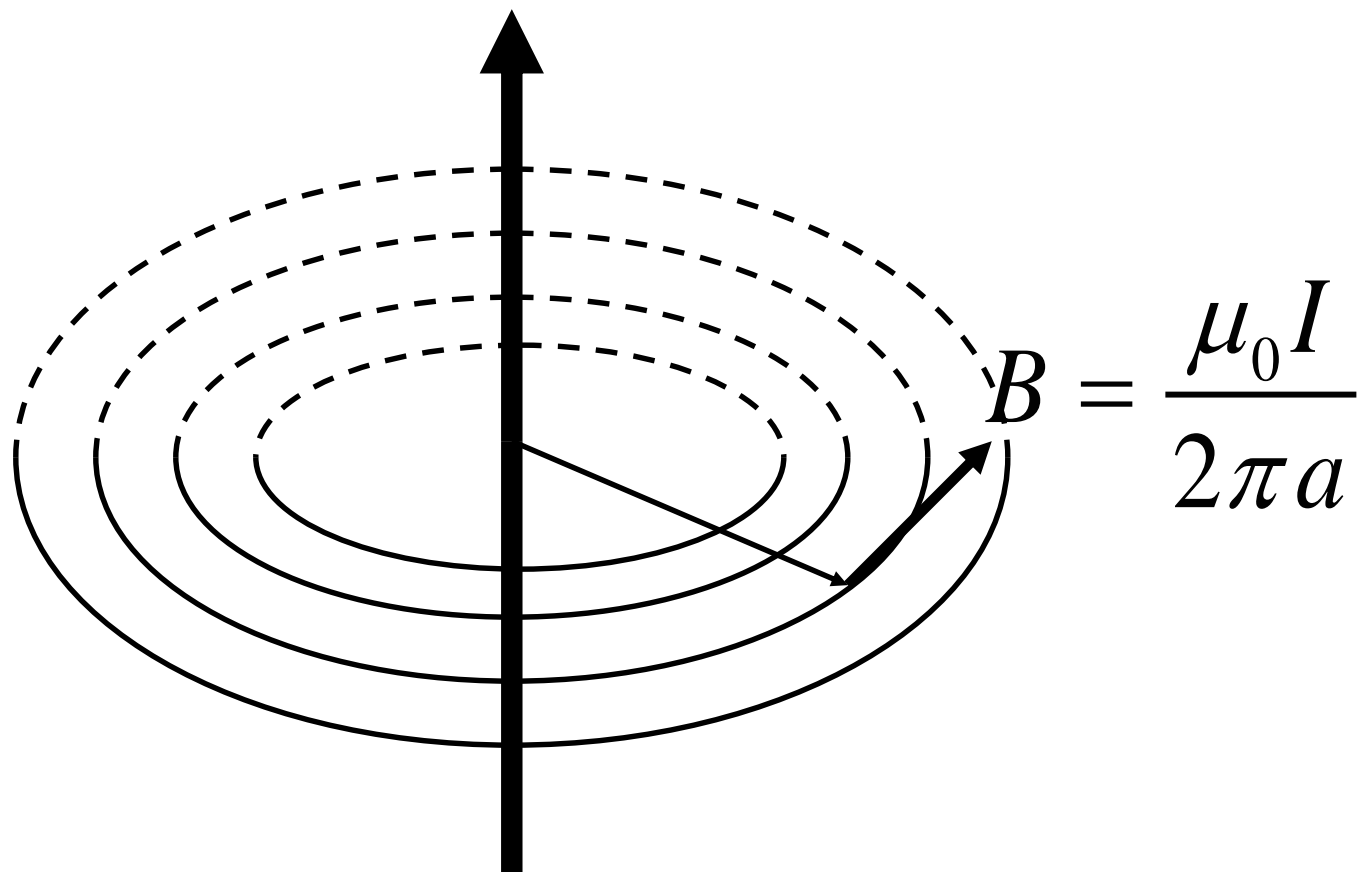
$$= \frac{\mu_0 I}{4\pi} \int_{\alpha}^{\beta} \frac{\sin \theta d\theta}{a} = \frac{\mu_0 I}{4\pi a} (\cos \alpha - \cos \beta)$$

对无限长电流

$$B = \frac{\mu_0 I}{2\pi a}$$

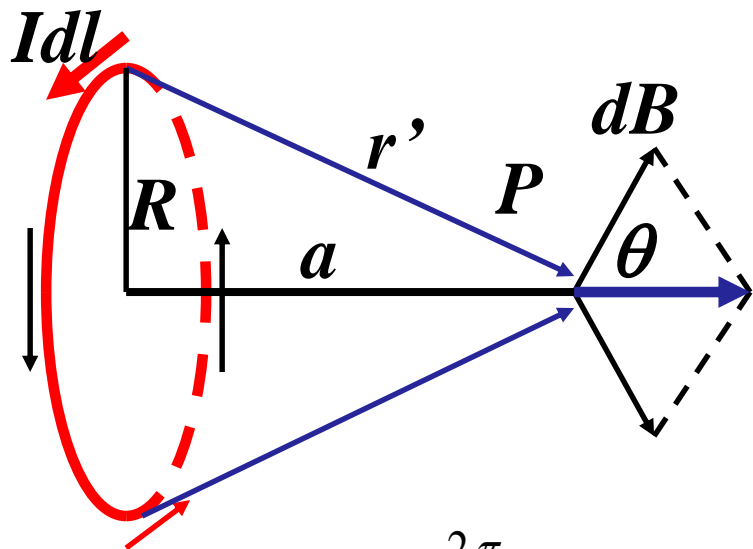
方向与电流成右手螺旋

# 无限长电流的磁力线



$B$  线总是首尾相接

例：求半径为  $R$  的圆电流在垂直于圆面，并通过圆心的轴线上产生的磁场。



一小段电流  $Idl$  在  $P$  点产生的磁场在水平方向的分量为

$$dB \cos \theta = \frac{\mu_0}{4\pi} \frac{Idl}{R^2 + a^2} \cos \theta$$

$$B = \frac{\mu_0}{4\pi} \int_0^{2\pi} \frac{IR d\phi}{R^2 + a^2} \cos \theta = \frac{\mu_0}{4\pi} \frac{I 2\pi R \cos \theta}{R^2 + a^2}$$

$$= \frac{\mu_0}{4\pi} \frac{2\pi RI}{R^2 + a^2} \frac{R}{(R^2 + a^2)^{1/2}} = \frac{\mu_0 I}{2} \frac{R^2}{(R^2 + a^2)^{3/2}}$$



$$B = \frac{\mu_0 I}{2} \frac{R^2}{(R^2 + a^2)^{3/2}}$$

定义磁偶极矩

$$m = IS$$

讨论:

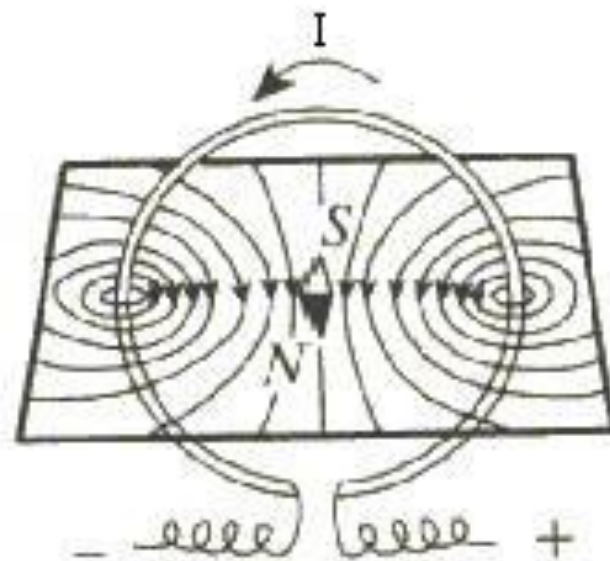
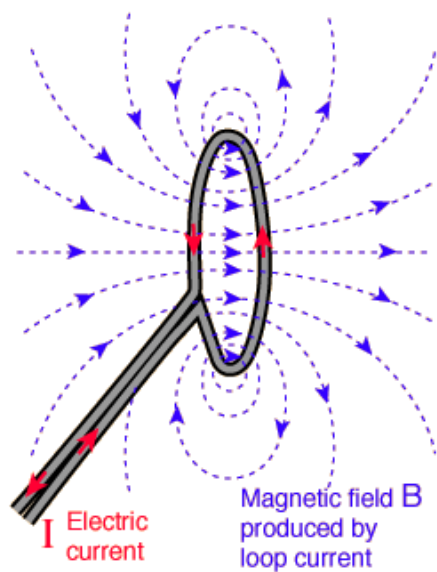
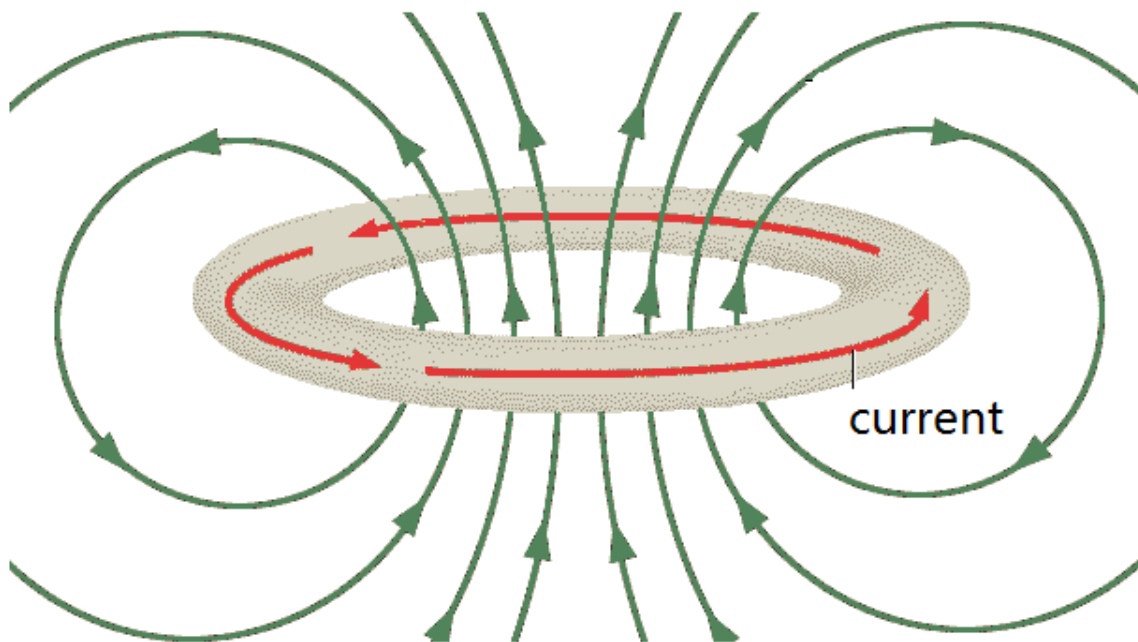
1) 当  $a=0$  时,  $B = \frac{\mu_0 I}{2R} = \frac{\mu_0 I \pi R^2}{2R \pi R^2} = \frac{\mu_0 m}{2\pi R^3}$

2) 当  $a \gg R$  时,

$$B = \frac{\mu_0 I}{2} \frac{R^2}{a^3} = \frac{\mu_0 I}{2\pi} \frac{\pi R^2}{a^3} = \frac{\mu_0 IS}{2\pi a^3}$$

$$\Rightarrow B = \frac{\mu_0 m}{2\pi a^3}$$

# 圆电流 的磁场

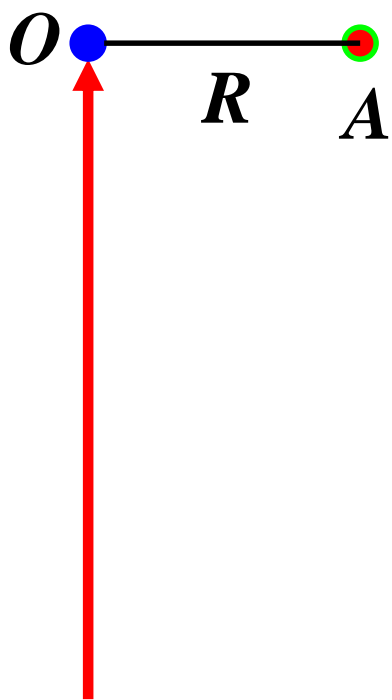


比较:

无限长电流:  $B = \frac{\mu_0 I}{2\pi R}$   $R$  为到导线的距离

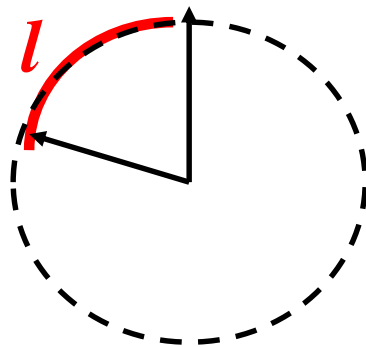
圆电流圆心处:  $B = \frac{\mu_0 I}{2R}$   $R$  为圆电流半径

应用1：半无限长直电流在图中A点处产生的磁场为无限长直电流的一半。（注意OA垂直于直电流）



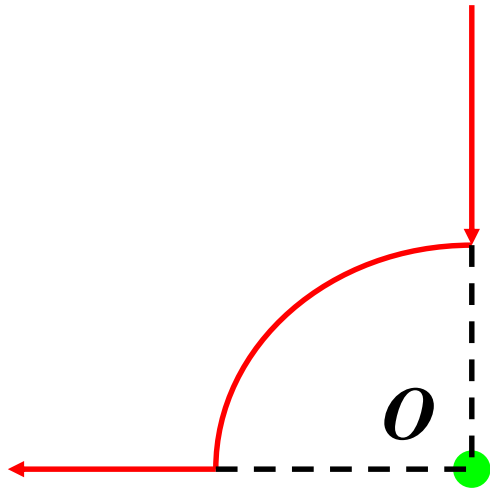
$$B = \frac{1}{2} \frac{\mu_0 I}{2\pi R}$$

应用2：长度为  $l$  的圆弧电流在圆心产生的磁场为



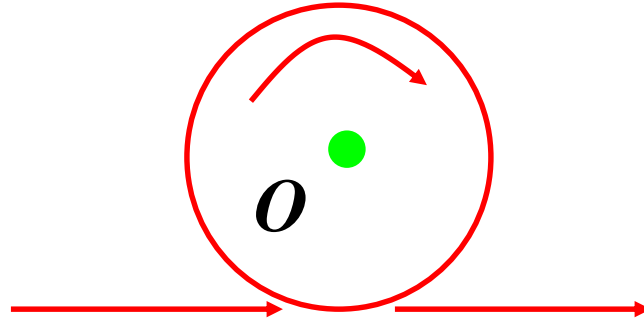
$$B = \frac{\mu_0 I}{2R} \frac{l}{2\pi R}$$

例：如图所示几种载流导线在平面内的分布，电流均为  $I$ ，求它们在  $O$  点处的磁感应强度，图中各圆或者圆弧半径均为  $R$ 。



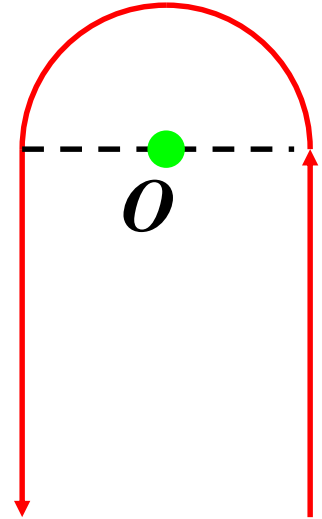
$$B = \frac{\mu_0 I}{8R}$$

方向向外



$$B = \frac{\mu_0 I}{2R} - \frac{\mu_0 I}{2\pi R}$$

方向向里



$$B = \frac{\mu_0 I}{4\pi R} + \frac{\mu_0 I}{4\pi R} + \frac{\mu_0 I}{4R}$$

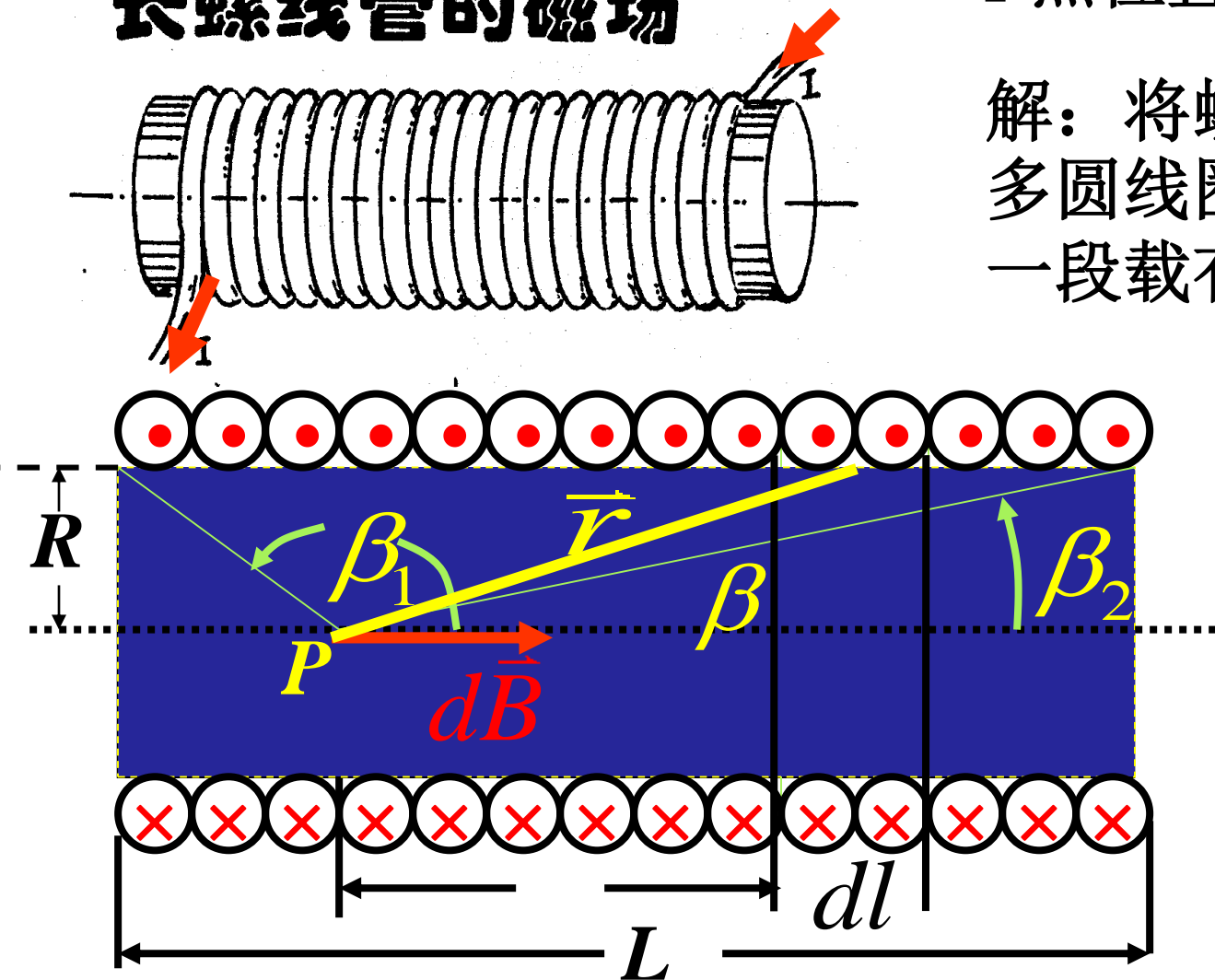
方向向外

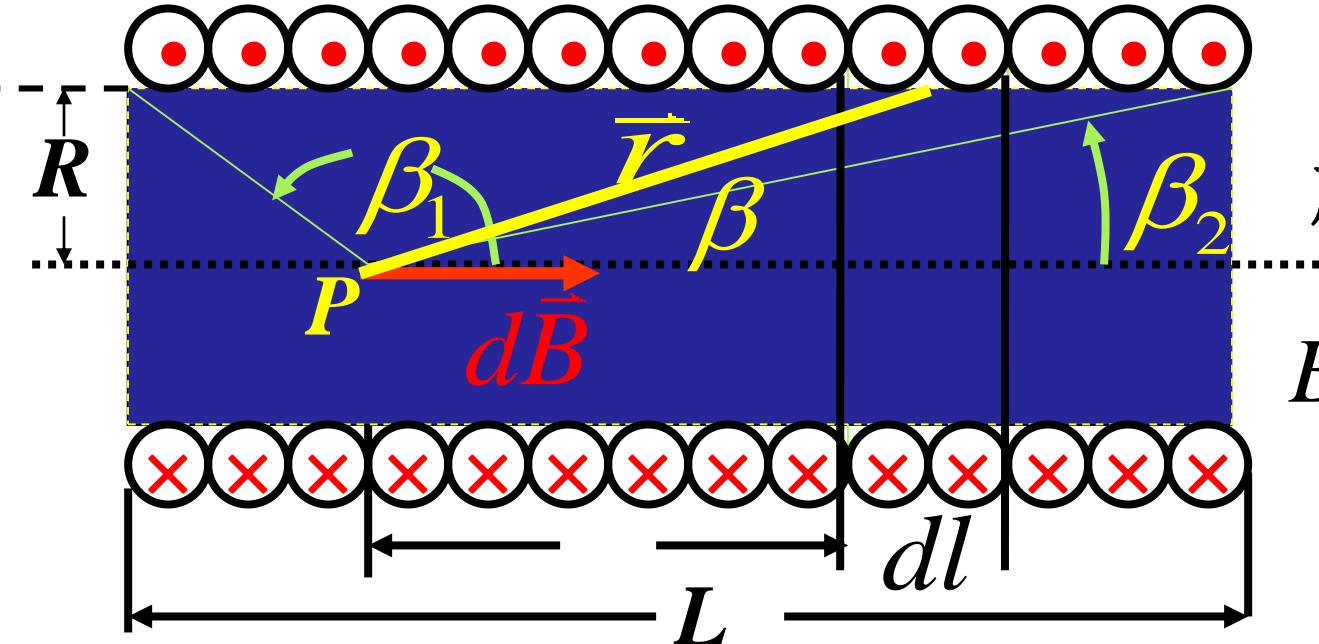
例：求载流直螺线管中心轴线上一点的磁感应强度。已知：半径 $R$ ，电流 $I$ ，单位长度匝数 $n$ 。

## 长螺线管的磁场

$P$ 点位置由 $\beta_1, \beta_2$ 决定

解：将螺线管分割成许多圆线圈。长度为 $dl$ 的一段载有电流 $nIdl$ 。





电流  $nIdl$  在  $P$  点产生的磁场

$$B = \frac{\mu_0 (nIdl) R^2}{2r^{3/2}}$$

方向沿轴线

$$dB = \frac{\mu_0}{2} \cdot \frac{R^2 nIdl}{(R^2 + l^2)^{3/2}}$$

$$\therefore B = \int_L \frac{\mu_0}{2} \frac{R^2 nIdl}{(R^2 + l^2)^{3/2}}$$

统一变量:  $l = R \operatorname{ctg} \beta$

$$dl = -R \operatorname{csc}^2 \beta d\beta$$

$$\begin{aligned} (R^2 + l^2) &= r^2 \\ &= (R \operatorname{csc} \beta)^2 \\ &= R^2 \operatorname{csc}^2 \beta \end{aligned}$$

$$\begin{aligned}
\therefore B &= \int_L \frac{\mu_0}{2} \frac{R^2 n I dl}{(R^2 + l^2)^{3/2}} \\
&= \int_L \frac{\mu_0}{2} \frac{R^2 n I (-R \csc^2 \beta d\beta)}{(R^2 \csc^2 \beta)^{3/2}} \\
&= -\frac{\mu_0 n I}{2} \int_{\beta_1}^{\beta_2} \frac{d\beta}{\csc \beta} = -\frac{\mu_0 n I}{2} \int_{\beta_1}^{\beta_2} \sin \beta d\beta \\
&= \frac{\mu_0 n I}{2} (\cos \beta_2 - \cos \beta_1)
\end{aligned}$$

方向沿轴线



$$B = \frac{\mu_0 n I}{2} (\cos \beta_2 - \cos \beta_1)$$

讨论：1) 对无限长螺线管

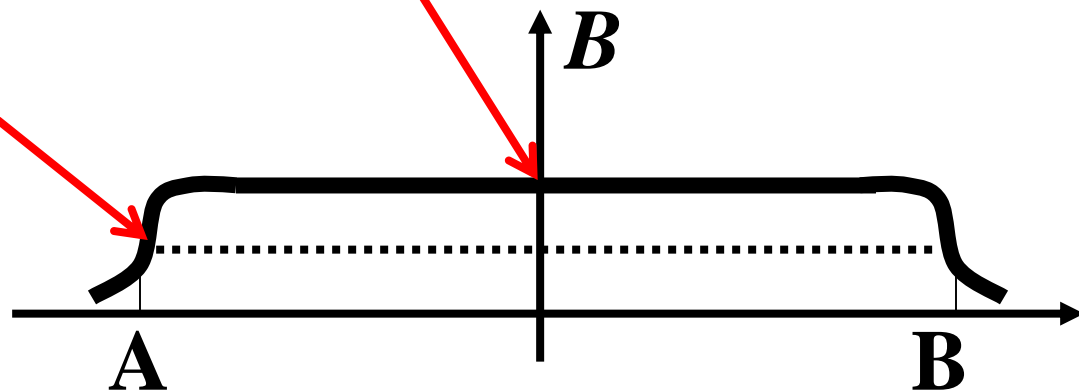
$$\beta_1 \rightarrow \pi \quad \beta_2 \rightarrow 0$$

$$\Rightarrow B = \mu_0 n I$$

2) 对半无限长螺线管，即  $P$  点位于一端

$$\beta_1 \rightarrow \frac{\pi}{2} \quad \beta_2 \rightarrow 0$$

$$\Rightarrow B = \frac{\mu_0 n I}{2}$$



磁场

$$\oiint_S \vec{B} \cdot d\vec{S} = 0$$

$$\oint_L \vec{B} \cdot d\vec{l} = \mu_0 \sum_{\text{内}} I$$

**B**的环流未必为零，  
磁场为非保守力场

定义矢量势 $\vec{A}$   $\nabla \times \vec{A} = \vec{B}$

磁感应线都是闭合。

高斯定理 + 安培环路定理  $\longleftrightarrow$  基本等价  $\longrightarrow$   
毕奥-萨伐尔定律 + 叠加原理

静电场

$$\oiint_S \vec{E} \cdot d\vec{S} = \frac{q}{\epsilon_0}$$

$$\oint_L \vec{E} \cdot d\vec{l} = 0$$

**E**的环流恒为零，  
电场为保守力场

定义标量势 $V$   $\nabla V = -\vec{E}$

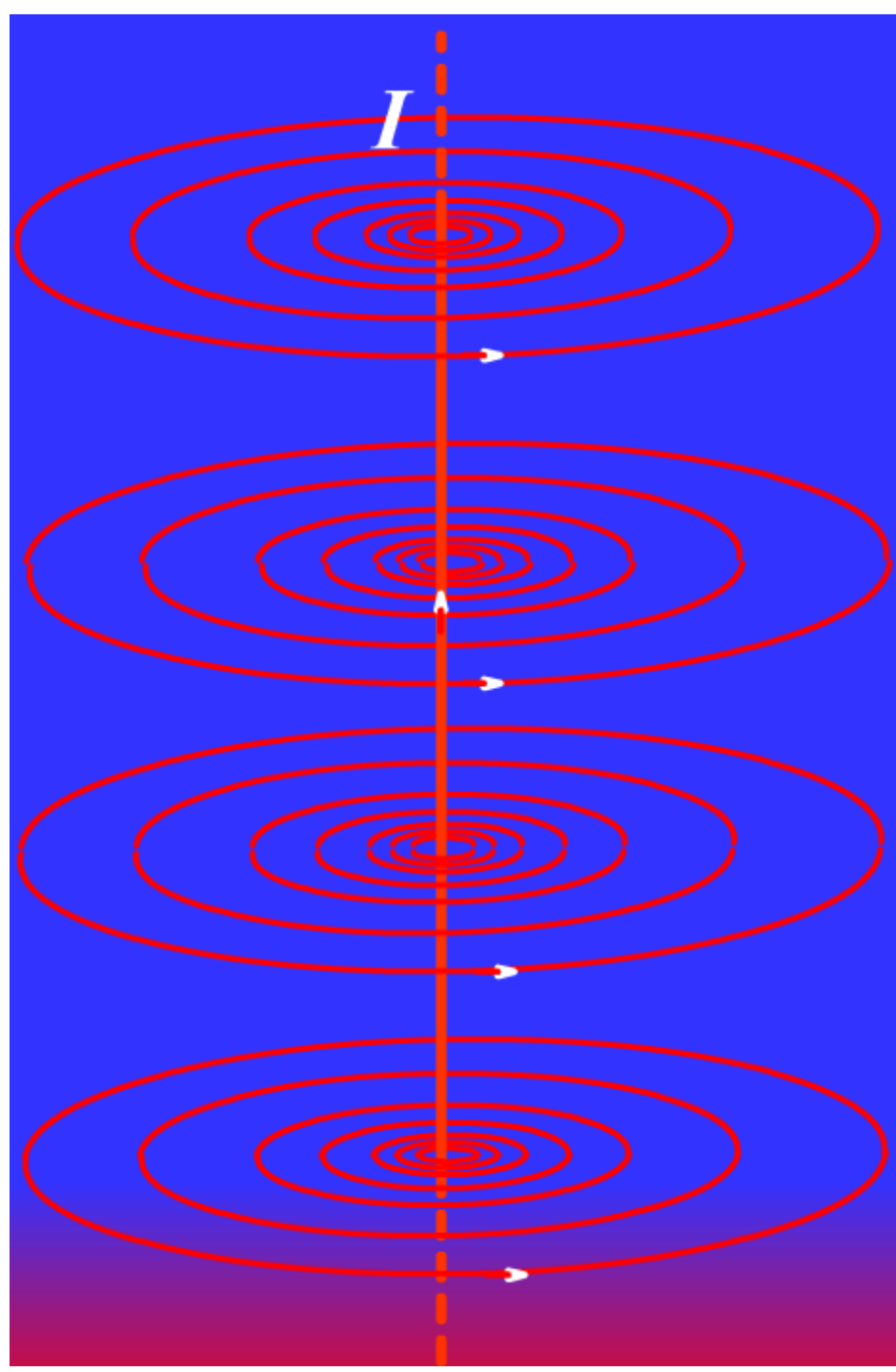
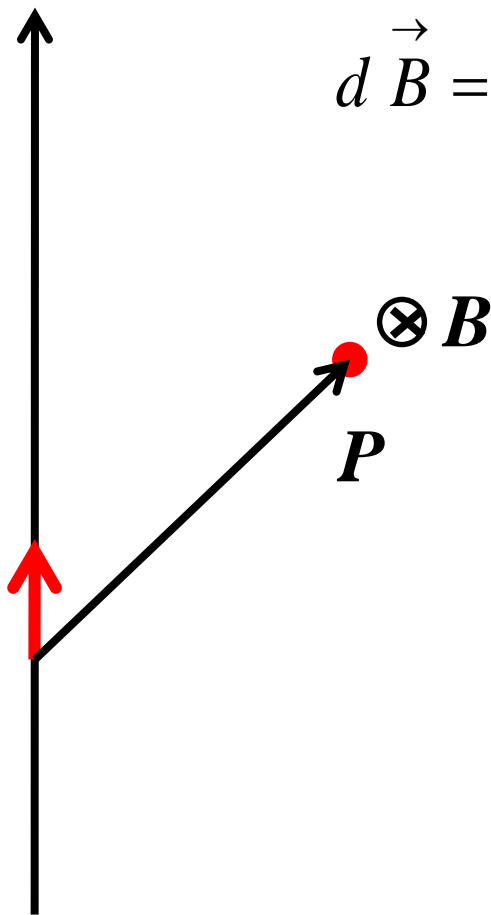
没有闭合的电力线

高斯定理 + 静电环路定理  $\longleftrightarrow$  基本等价  $\longrightarrow$   
库仑定律 + 叠加原理

例：求无限长载流直导线  
周围***B***。已知电流强度***I***，  
向上。

根据毕萨定律  
分析***B***的分布

$$d\vec{B} = \frac{\mu_0}{4\pi} \frac{Id\vec{l} \times \vec{r}'}{r'^3}$$



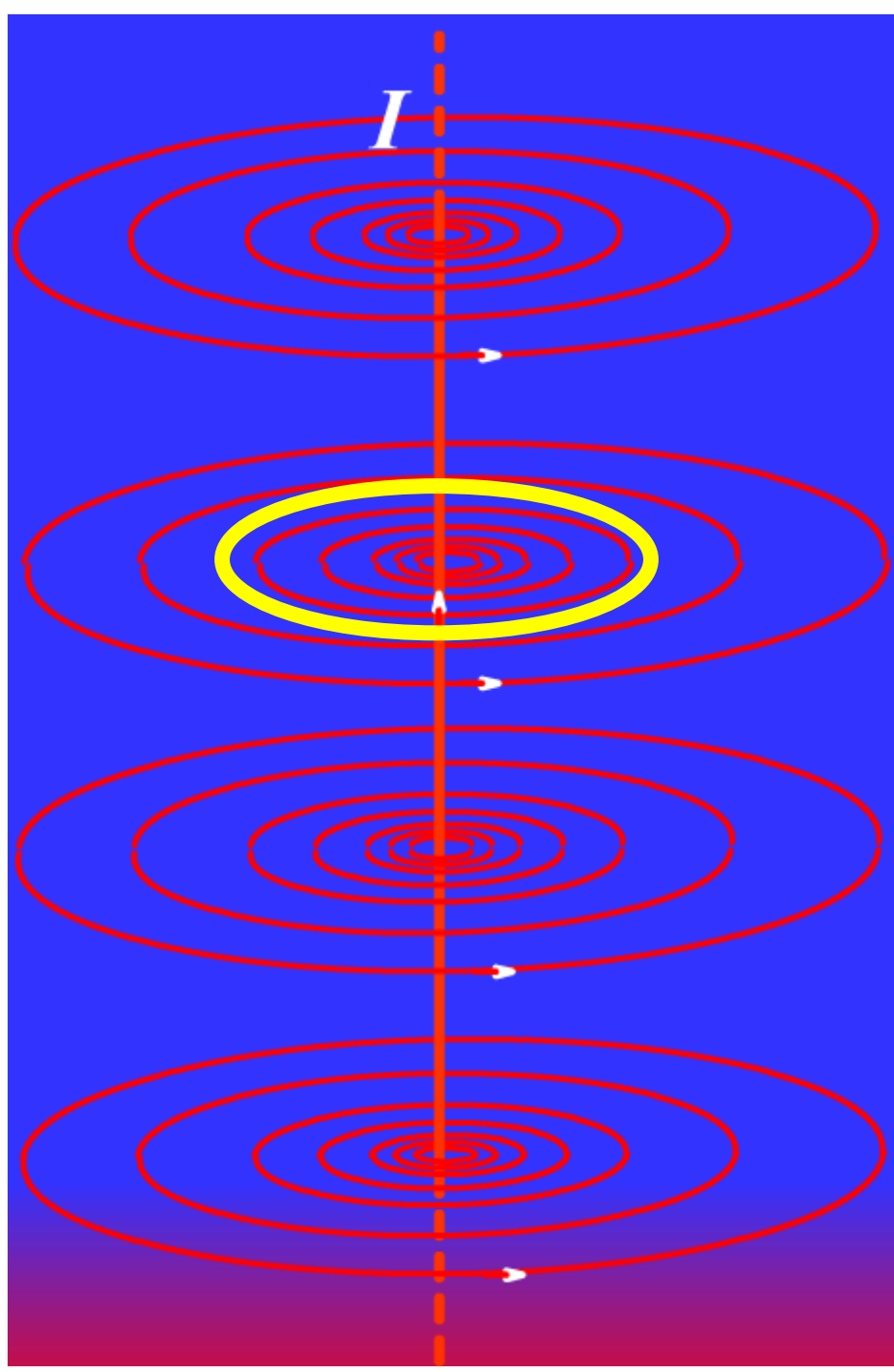
对如图半径为 $R$ 的圆路径  
利用安培环路定理

$$\oint_L \vec{B} \cdot d\vec{l} = \mu_0 \sum_{L\text{内}} I_i$$

$$B \cdot 2\pi R = \mu_0 I$$

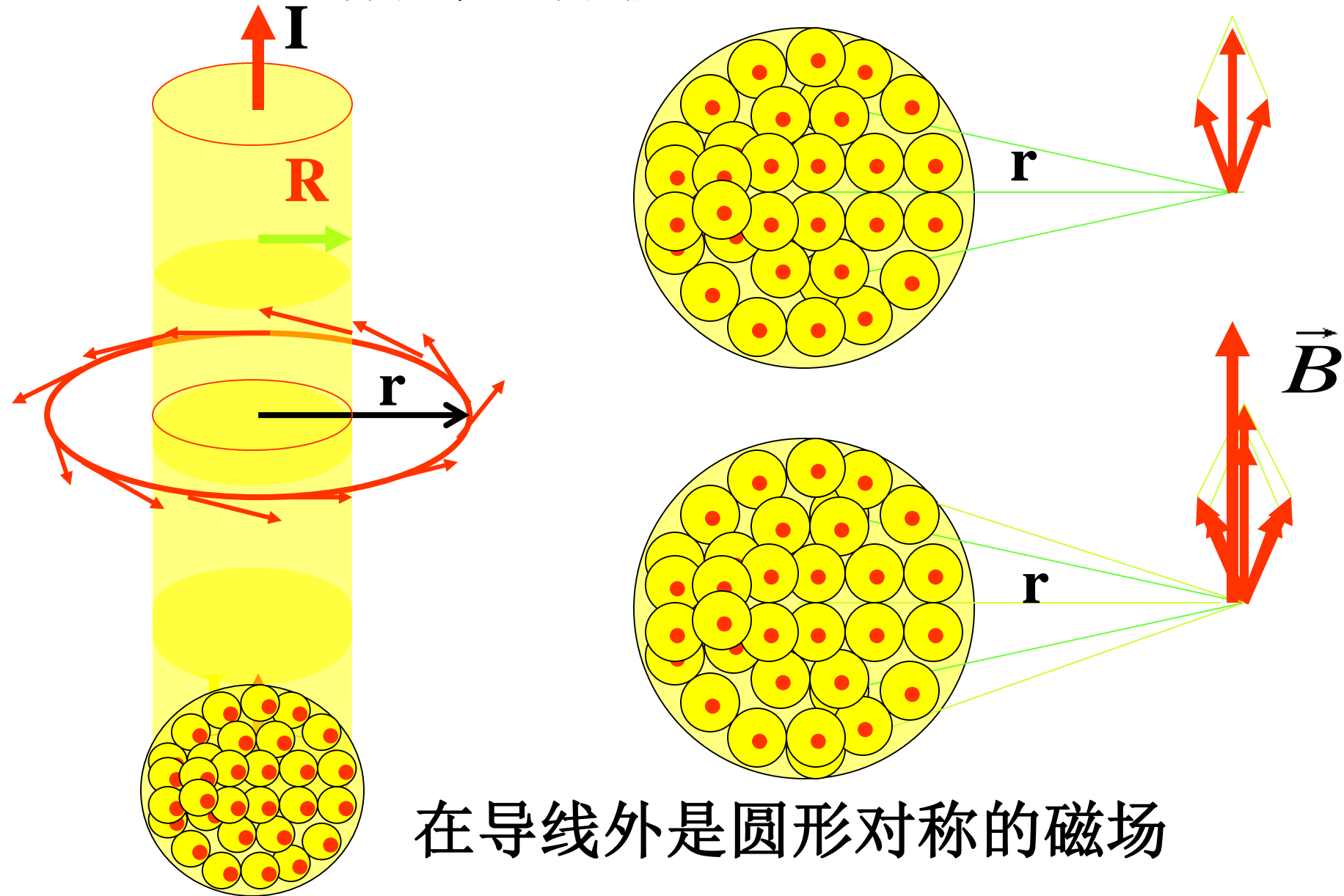
$$\Rightarrow B = \frac{\mu_0 I}{2\pi R}$$

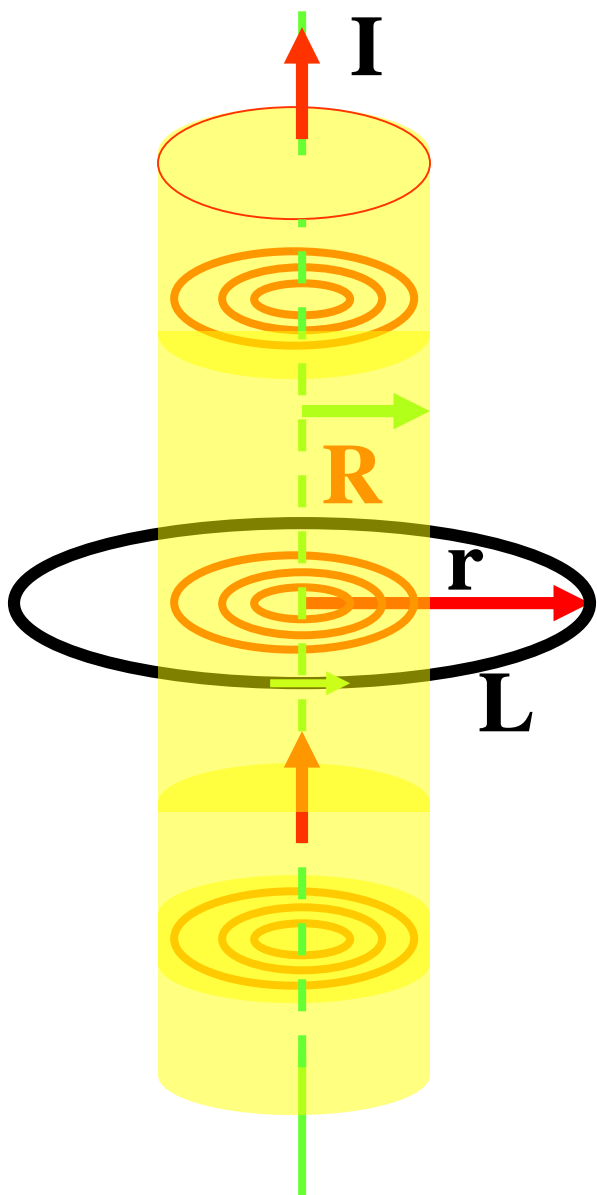
与毕-萨定律计算结果相同



# 1) 无限长直圆柱载流导线磁场的分布

## A) 磁场分布的分析:





1) 导线外：作半径为  $r$  的安培环路  $\mathbf{L}$  ( $R \leq r < \infty$ )

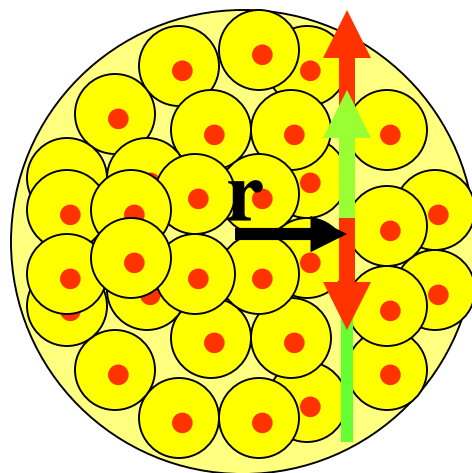
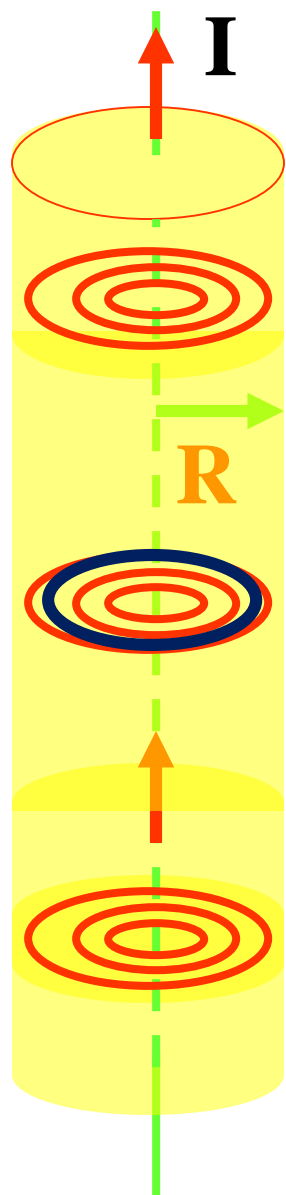
$$\oint_L \vec{B} \cdot d\vec{l} = \mu_0 \sum_{L\text{内}} I_i = \mu_0 I$$

$$\oint_L \vec{B} \cdot d\vec{l} = \oint_L B \cos 0^\circ dl = \mu_0 I$$

$$B \oint_L dl = B 2\pi r = \mu_0 I$$

$$B = \frac{\mu_0 I}{2\pi r}$$

在载流导体内：



也是以中心轴线为对称的分布。

2) 导线内：作半径为 $r$ 的安培环路 ( $0 \leq r < R$ )

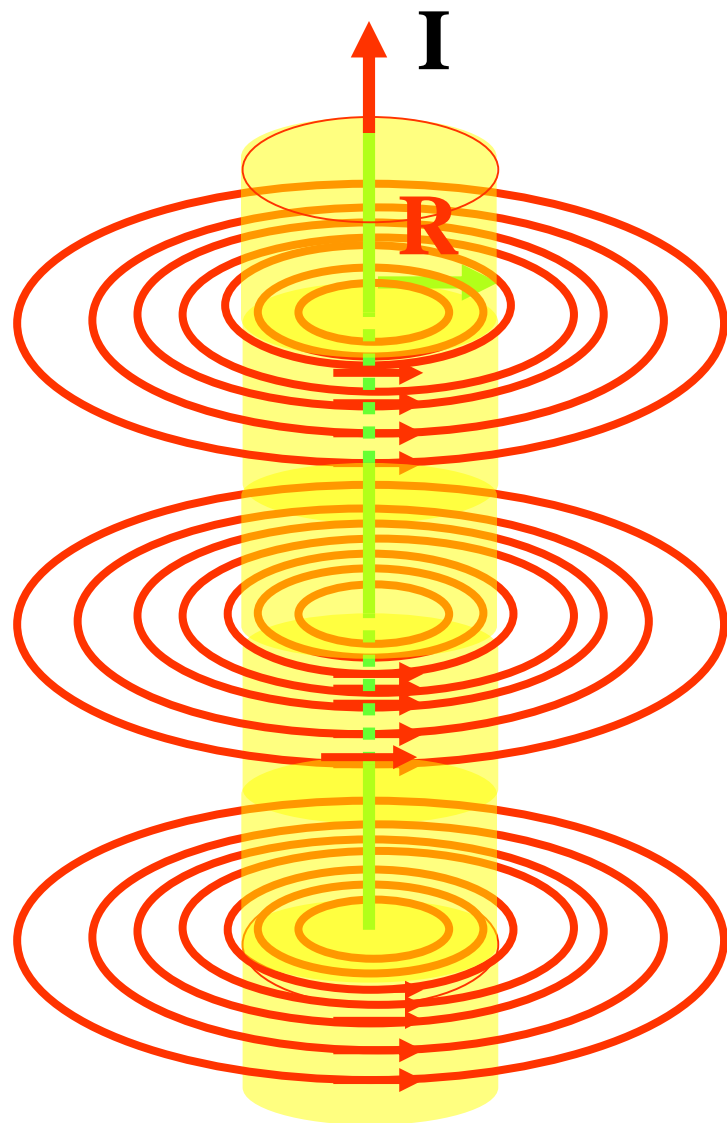
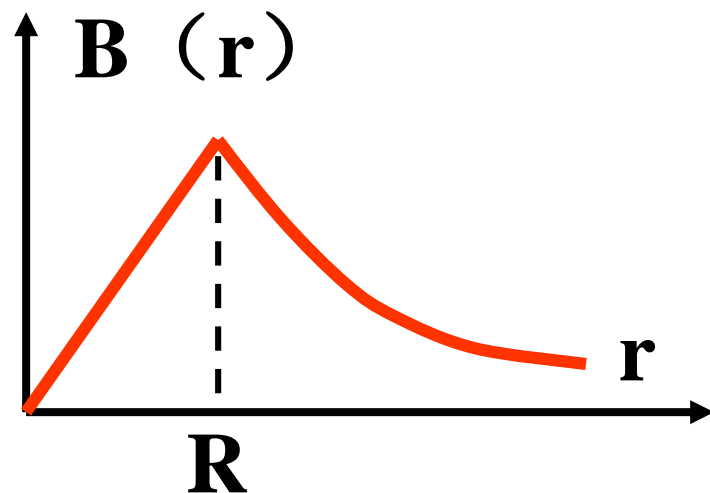
$$\oint_L \vec{B} \cdot d\vec{l} = \mu_0 \sum_{L\text{内}} I_i$$

$$\oint_L B \cos 0^\circ dl = 2\pi r B = \mu_0 \frac{I}{\pi R^2} \pi r^2$$

$$B = \frac{\mu_0 I r}{2\pi R^2}$$

综合：

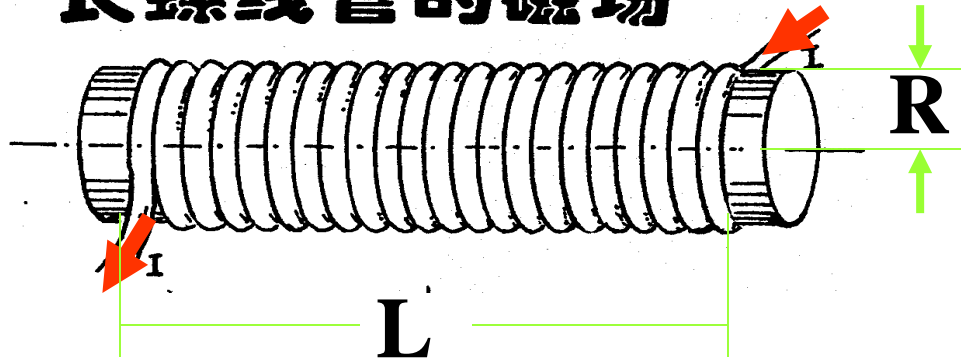
$$B = \begin{cases} \frac{\mu_0 I r}{2\pi R^2} \dots (0 \leq r < R) \\ \frac{\mu_0 I}{2\pi r} \dots (R \leq r < \infty) \end{cases}$$





## 2) 载流“无限长”长直螺线管内外的磁场分布

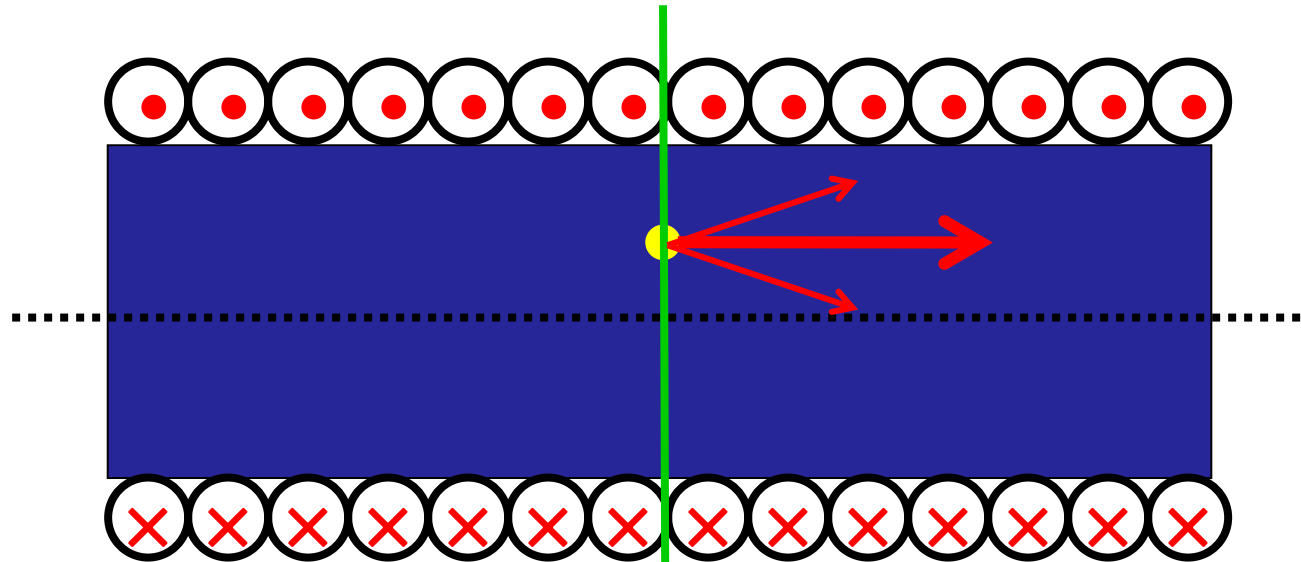
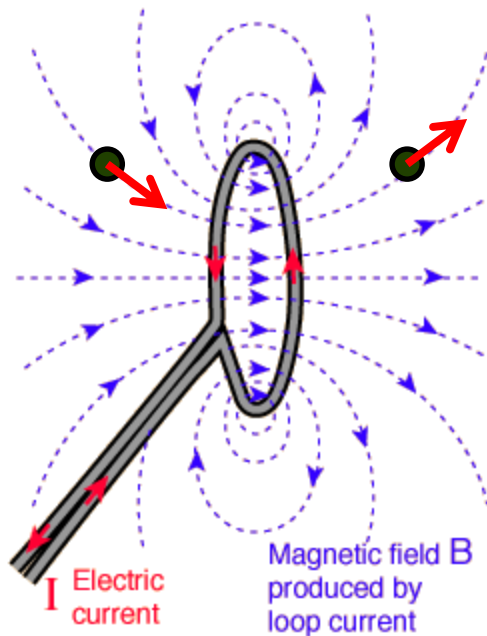
### 长螺线管的磁场



已知：单位长度匝数  $n$   
电流  $I$ 。

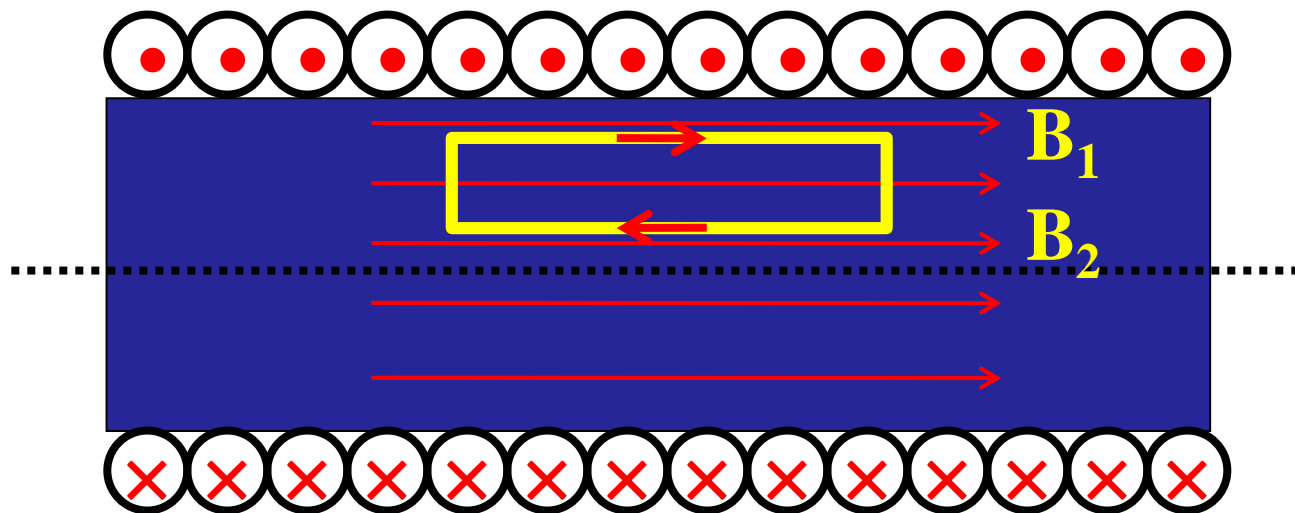
解：分析磁场分布

证明1：对无限长管，空间磁场总是平行于中心轴线



对外部，也可类似证明。

证明2: 对无限长管, 空间磁场是匀强磁场。



对如图环路应用环路定理,  $\oint_L \vec{B} \cdot d\vec{l} = \mu_0 \sum_{L\text{内}} I_i$

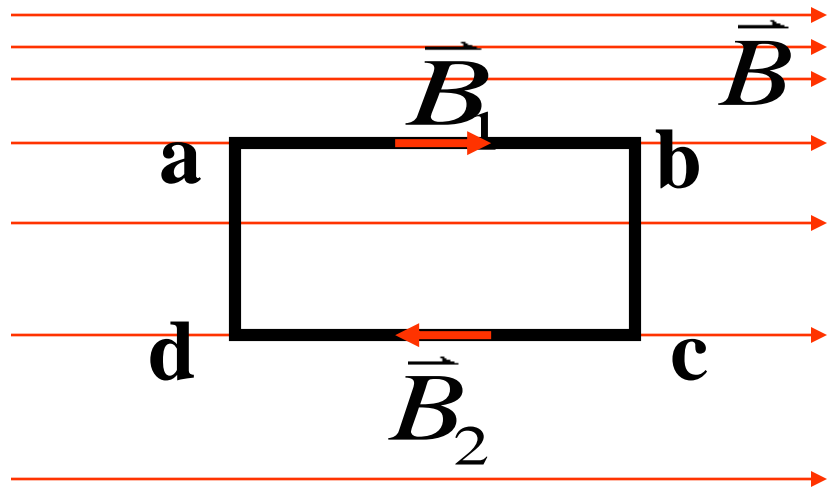
$$\oint_L \vec{B} \cdot d\vec{l} = B_1 l + (-B_2 l) + 0 + 0 = 0$$

$$\Rightarrow B_1 = B_2 \quad \text{即匀强磁场}$$

同理, 螺线管外部也是匀强磁场。

又因为磁力线根数有限, 可得外部磁场强度为零。

\* ) 证明在无电流的空间区域不存在磁力线平行但疏密不同的磁场。



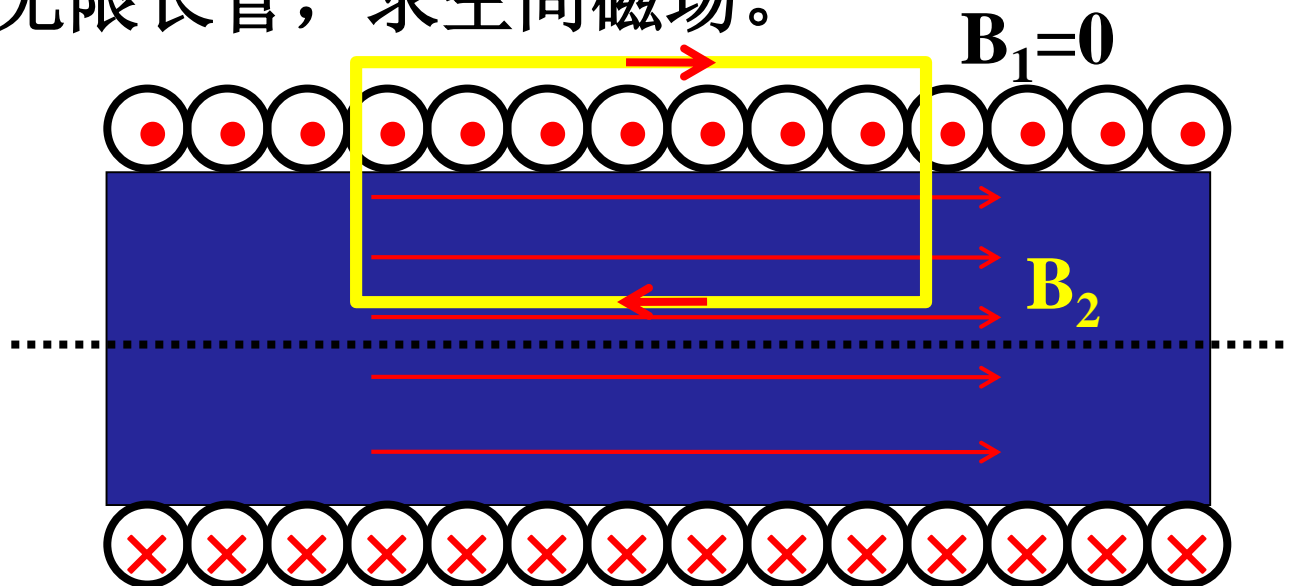
证明：  
假设存在这种磁场，  
作安培环路abcda

$$\begin{aligned}\oint_L \vec{B} \cdot d\vec{l} &= \int_{ab} \vec{B}_1 \cdot d\vec{l} + \int_{bc} \vec{B} \cdot d\vec{l} + \int_{cd} \vec{B}_2 \cdot d\vec{l} + \int_{da} \vec{B} \cdot d\vec{l} \\ &= B_1 l_{ab} + 0 - B_2 l_{cd} + 0 \\ &= B_1 l_{ab} - B_2 l_{cd} = 0\end{aligned}$$

违反环路定理。  
故不存在这种  
磁场。

若：  $B_1 \neq B_2$  则：  $\oint_L \vec{B} \cdot d\vec{l} \neq 0$

3: 对无限长管，求空间磁场。



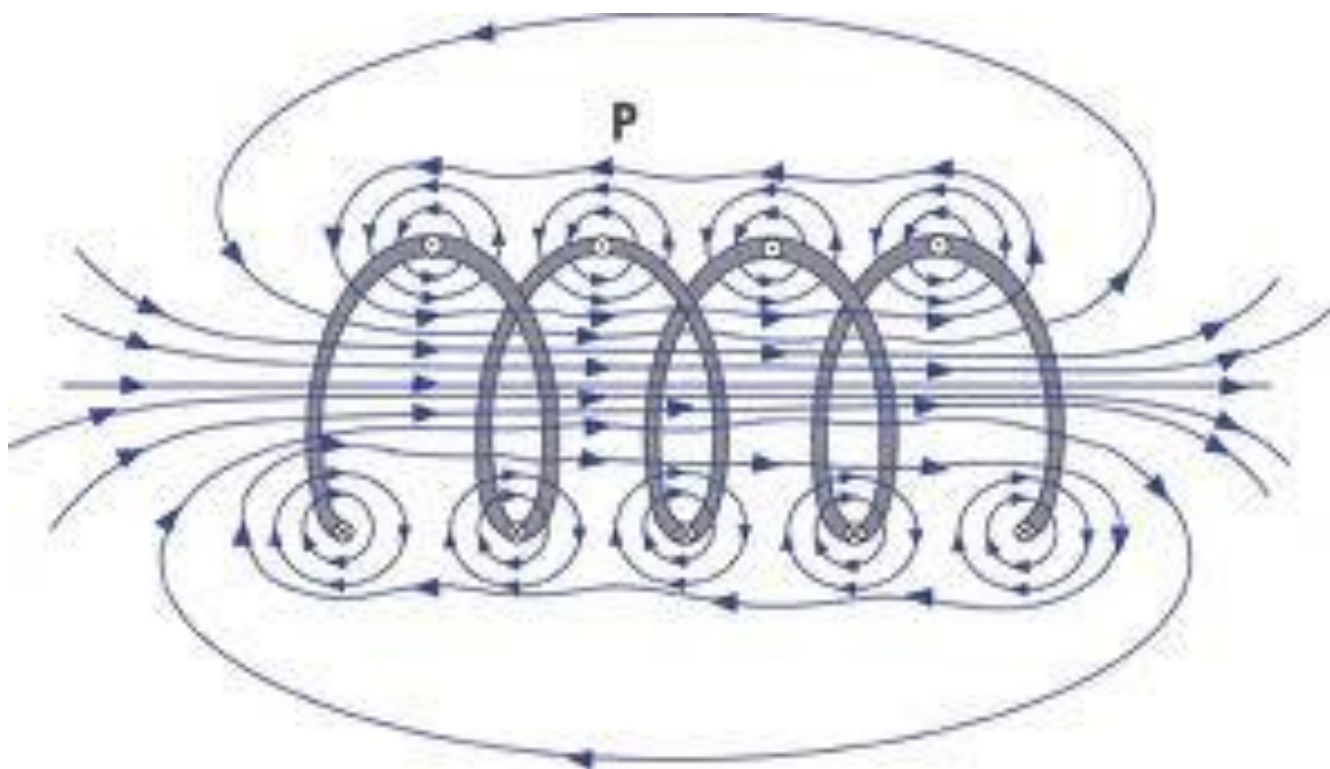
对如图环路应用环路定理， $\oint_L \vec{B} \cdot d\vec{l} = \mu_0 \sum_{L\text{内}} I_i$

$$\oint_L \vec{B} \cdot d\vec{l} = B_2 l + 0 + 0 + 0 = \mu_0 \sum_{L\text{内}} I_i = \mu_0 n l I$$

$$B_2 = \mu_0 n I$$

即为无限长螺线管**B**的大小，方向与电流成右手螺旋关系。

# 有限长螺线管

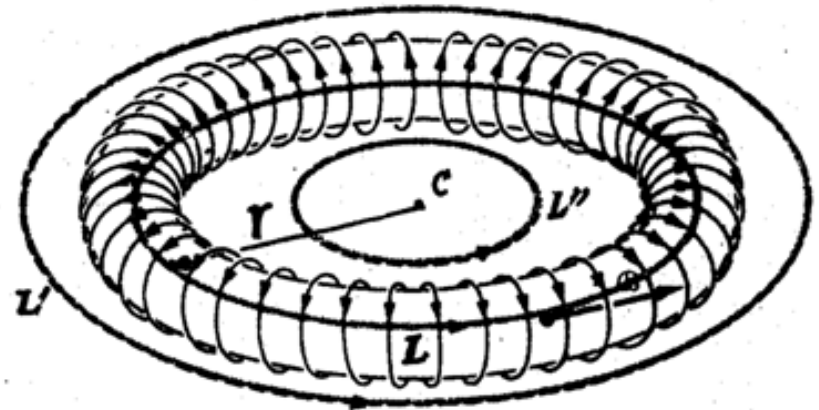
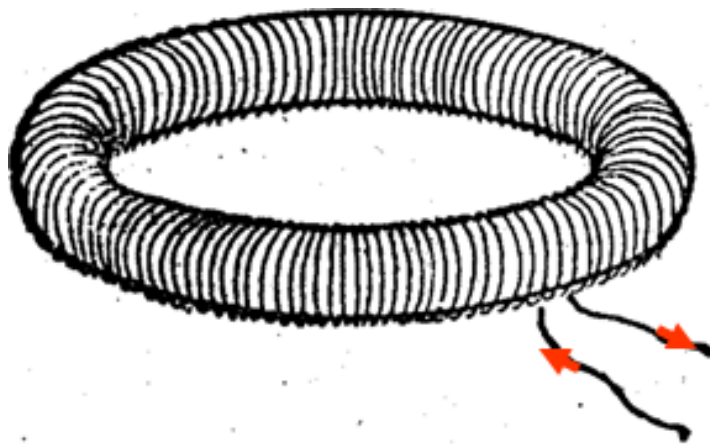


### 3) 螺绕环（罗兰环）的磁场分布

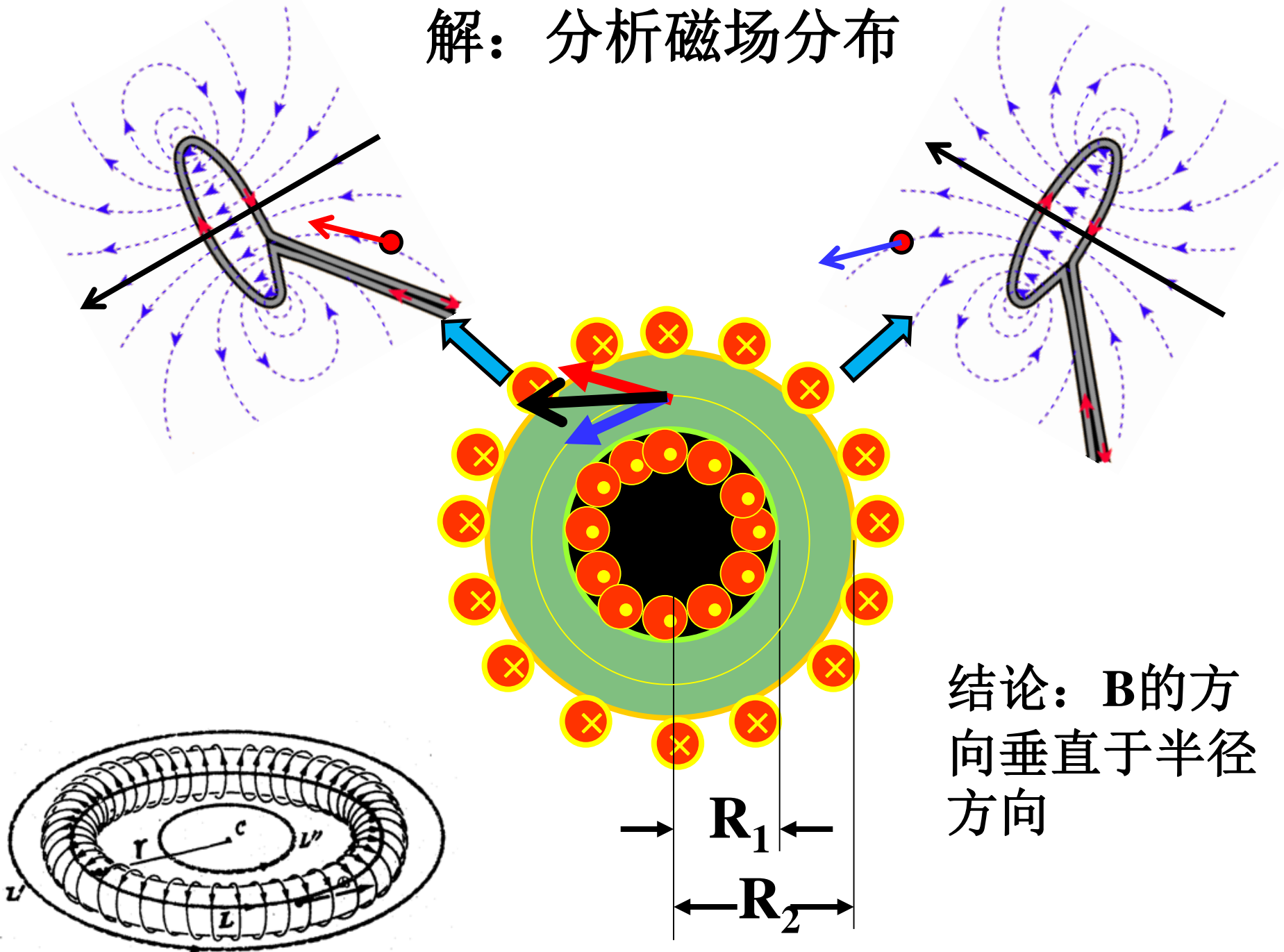
已知：电流 $I$ ，总匝数 $N$ ，

内外径之差 $R_2 - R_1 \ll r$ 。

即可认为： $R_1 \approx R_2 \approx r$



解：分析磁场分布

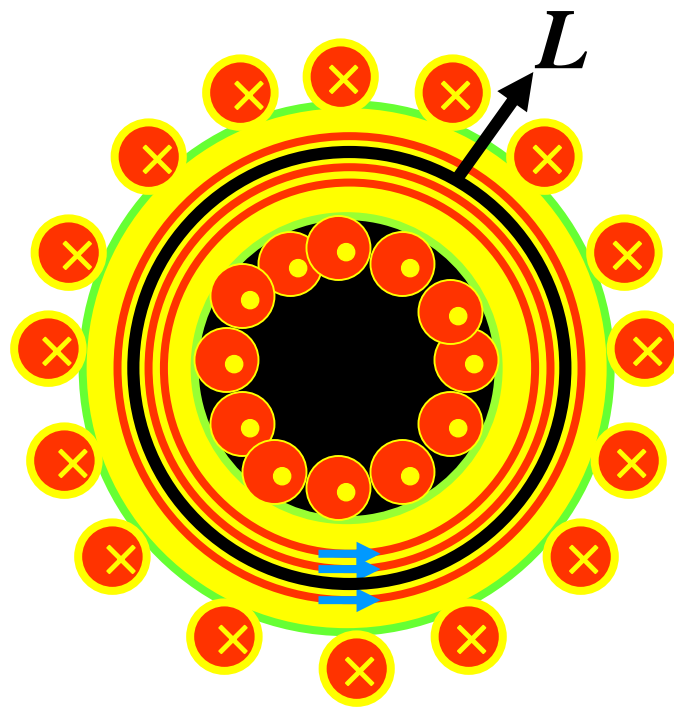


作半径为 $r$ 的安培环路 $L$

$$\oint_L \vec{B} \cdot d\vec{l} = B \oint_L d\vec{l} \\ = B 2\pi r = \mu_0 N I$$

$$B = \frac{\mu_0 N I}{2\pi r}$$

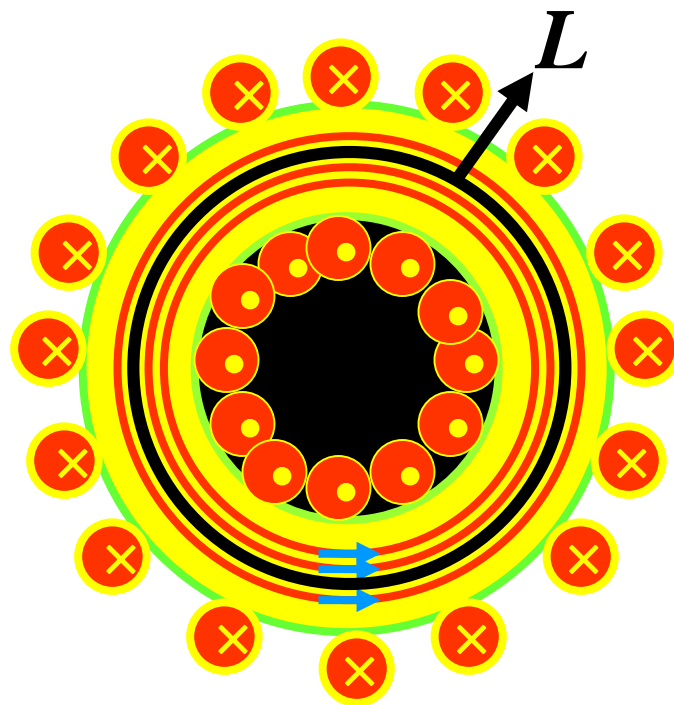
$$B = \mu_0 n I, (n = \frac{N}{2\pi r})$$





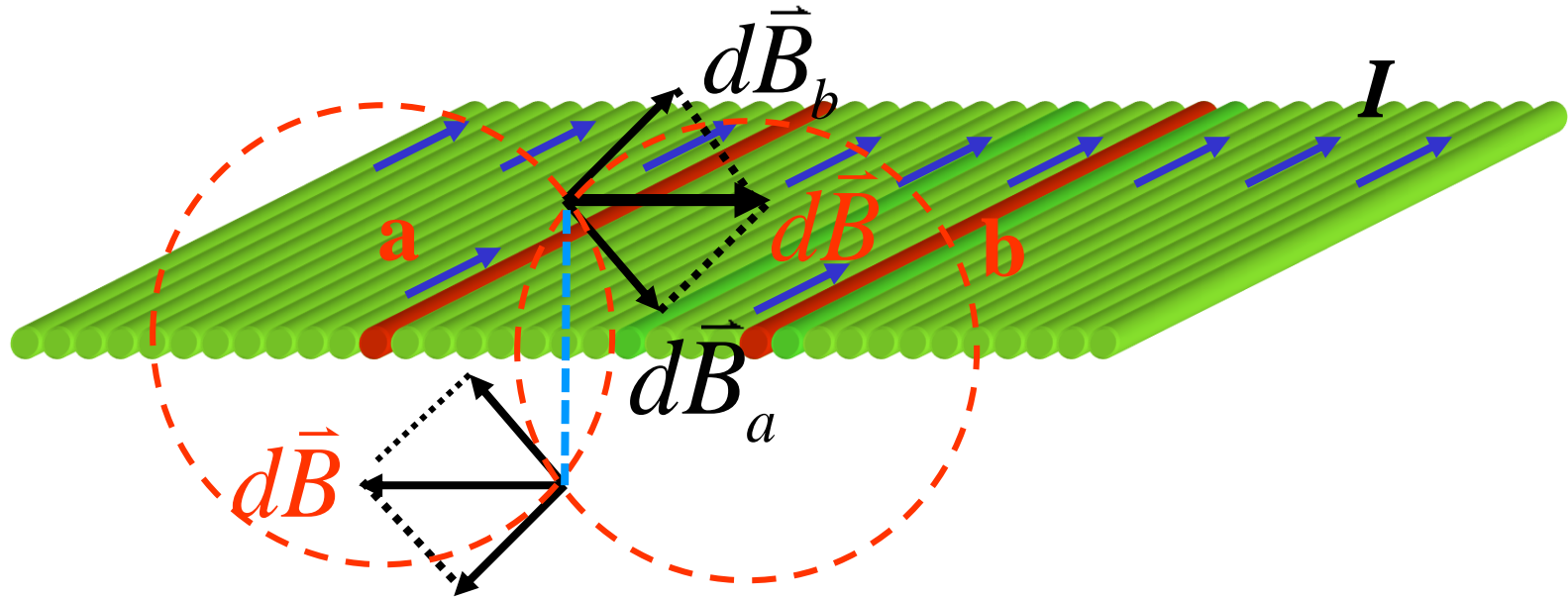
磁场的分布为:

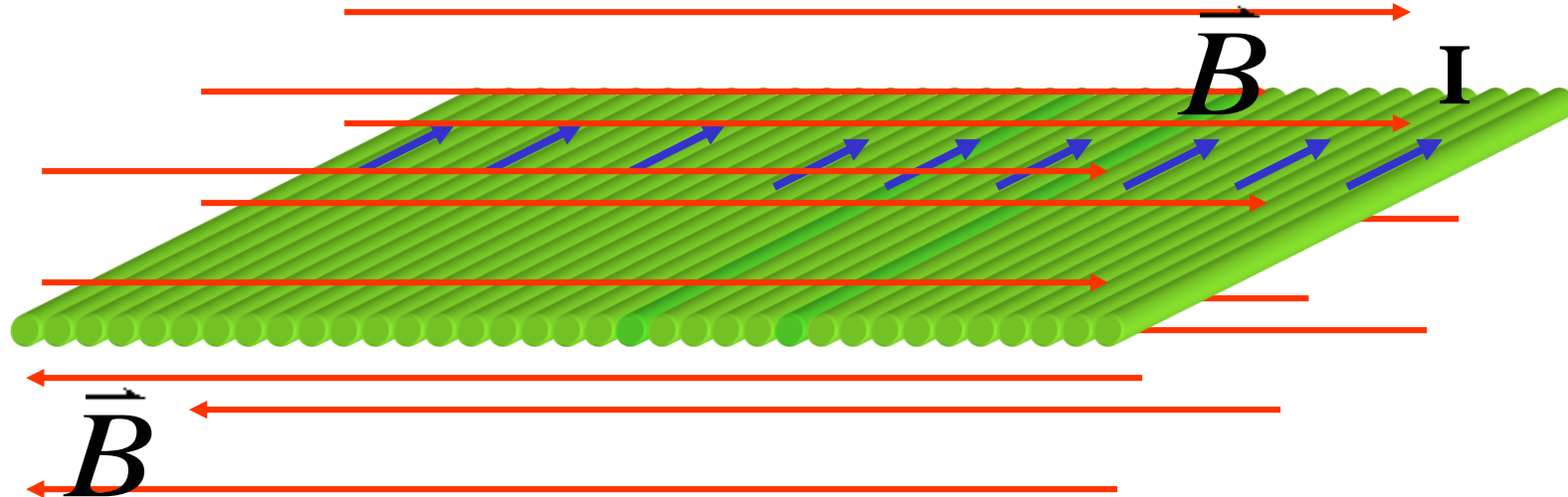
$$B = \begin{cases} \mu_0 n I; & \text{管内} \\ 0 & ; \text{管外} \end{cases}$$



5) 有一导体，由“无限多”根平行排列的细导线组成，每根导线都“无限长”且均通以电流 $I$ 。设单位长度上的导线数目为 $n$ ，求这无限长的电流片各处的磁感应强度 $B$ 。

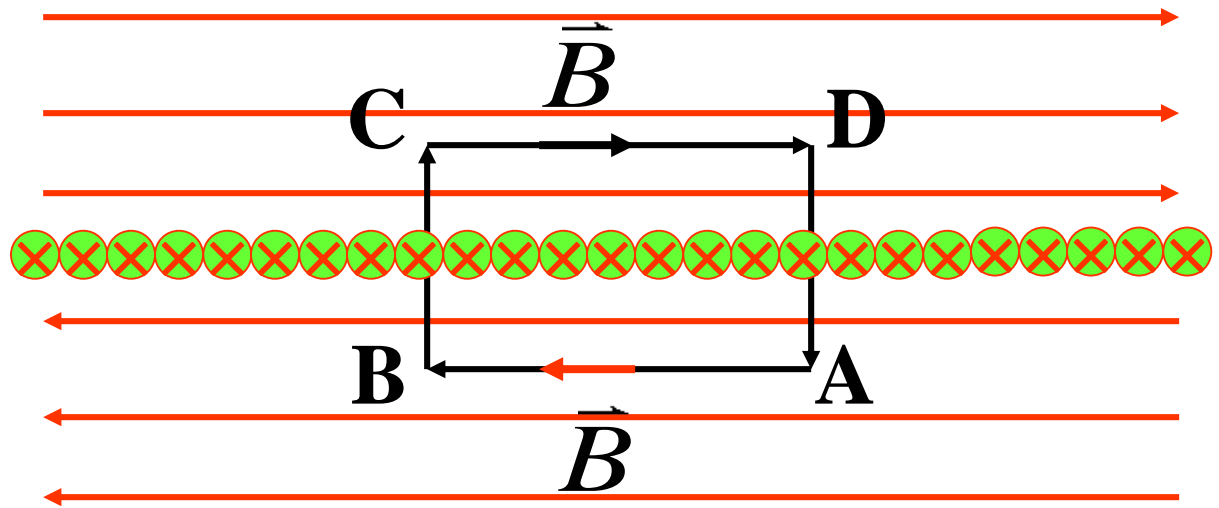
证明：分析磁场分布：





# 作安培环路ABCD

$$\oint_L \vec{B} \cdot d\vec{l} = \mu_0 \sum_{L\text{内}} I_i$$



$$\begin{aligned} \oint_L \vec{B} \cdot d\vec{l} &= \int_{AB} \vec{B} \cdot d\vec{l} + \int_{BC} \vec{B} \cdot d\vec{l} + \int_{CD} \vec{B} \cdot d\vec{l} + \int_{DA} \vec{B} \cdot d\vec{l} \\ &= \mu_0 \sum_{L\text{内}} I_i \end{aligned}$$

$$B l_{AB} + 0 + B l_{CD} + 0 = \mu_0 n l_{AB} I$$

$$\therefore B = \frac{1}{2} \mu_0 n I$$

## § 8—6 磁场对载流导线的作用

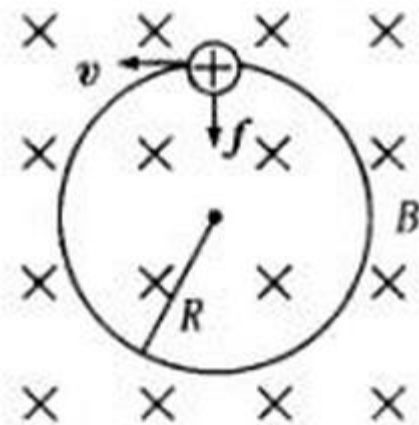
洛伦兹力  $\vec{F} = q_0 \vec{v} \times \vec{B}$

一段长为  $dl = vdt$  的电流元，电流强度  $I$ ，

$$\vec{F} = dq \vec{v} \times \vec{B} = \frac{dq}{dt} dt \vec{v} \times \vec{B} = I \vec{dl} \times \vec{B}$$

对一段任意形状  $L$  的电流，

$$\vec{F} = \int_L I \vec{dl} \times \vec{B} \quad \text{称为安培定律}$$



应用：

1) 均匀磁场中的一小段直导线

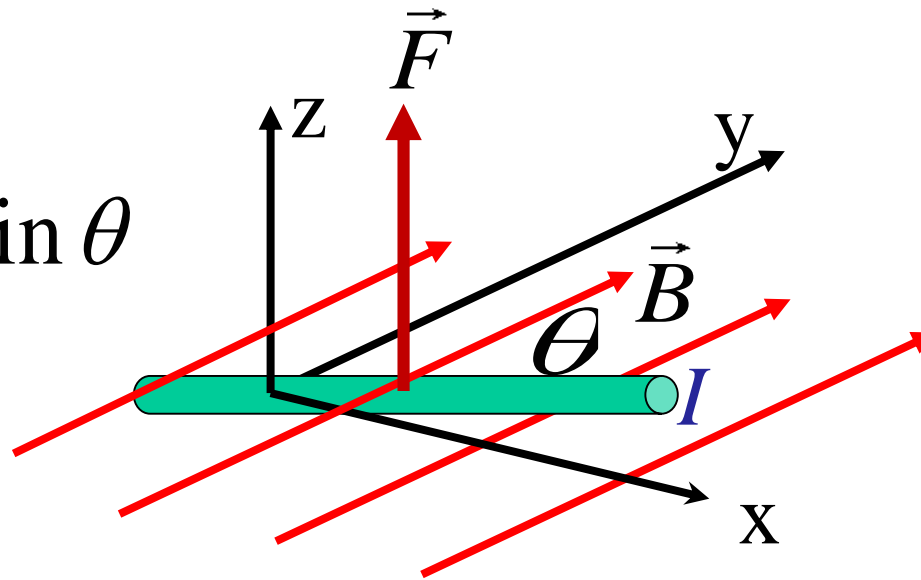
$$\vec{F} = \int_L I \vec{dl} \times \vec{B}$$

$$F = \int_L I dl B \sin \theta$$

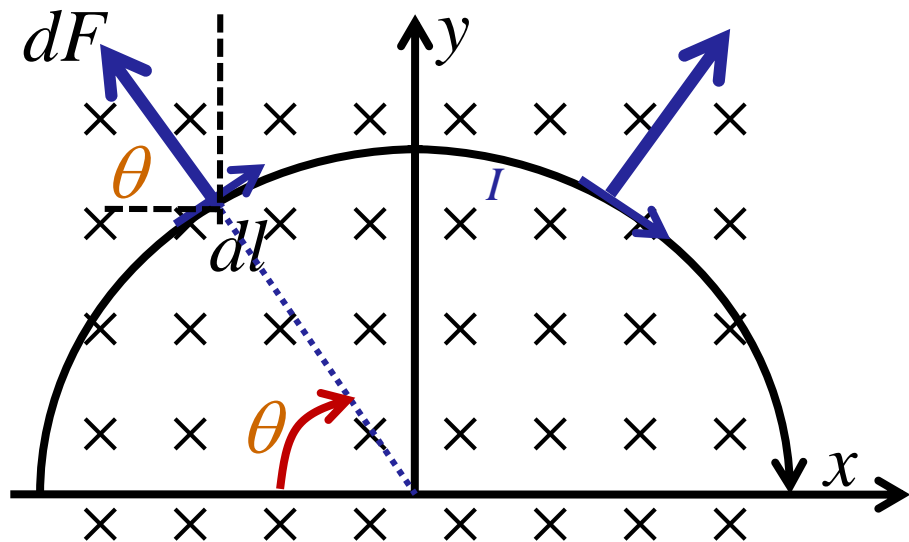
$$F = IB \sin \theta \int_L dl = IBL \sin \theta$$

如导线与磁场垂直， 则

$$F = BIL$$



## 2) 均匀磁场中的一段圆弧导线



$$\vec{F} = \int_L I \vec{dl} \times \vec{B}$$

$$d\vec{F} = I \vec{dl} \times \vec{B} = IB dl$$

$$dF_y = dF \sin \theta$$

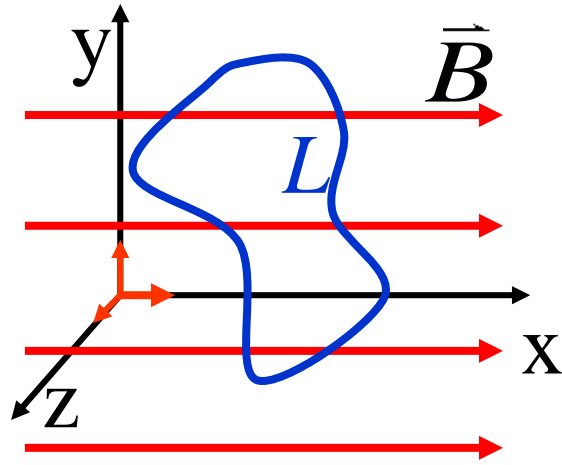
$$= IB \sin \theta dl = IB \sin \theta R d\theta$$

$$F_y = \int dF_y = \int_0^\pi IB \sin \theta R d\theta$$

$$= IB R \int_0^\pi \sin \theta d\theta = IB R \cdot 2$$

与连接圆弧始末两点的直导线相同。

### 3) 任意形状的闭合载流线圈在均匀磁场中受力



解: 设磁场方向沿X轴正向  $\vec{B} = B\hat{i}$

$$\begin{aligned}d\vec{F} &= Id\vec{l} \times \vec{B} \\&= I(dx\hat{i} + dy\hat{j} + dz\hat{k}) \times B\hat{i} \\&= IB(-dy\hat{k} + dz\hat{j})\end{aligned}$$

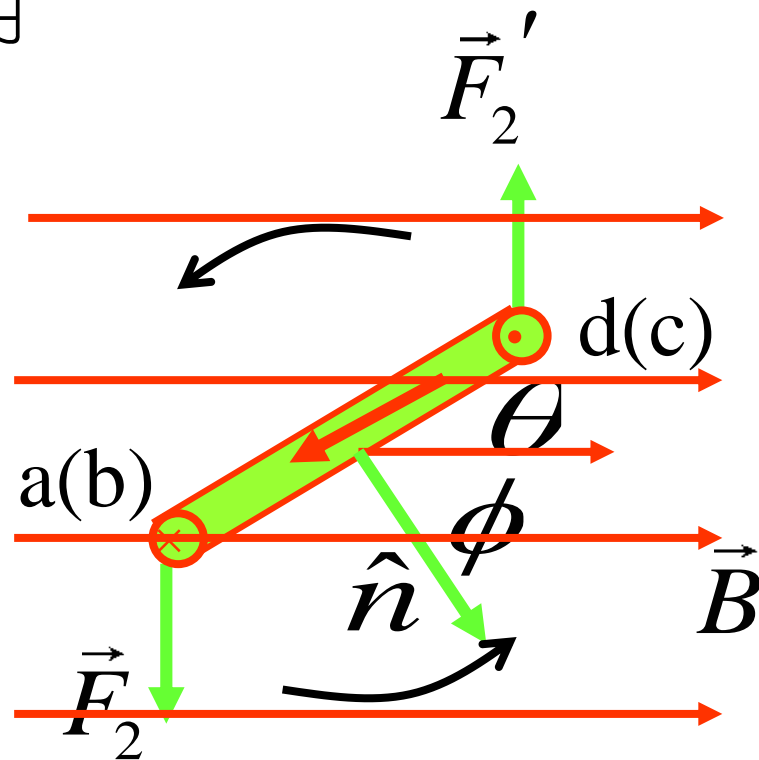
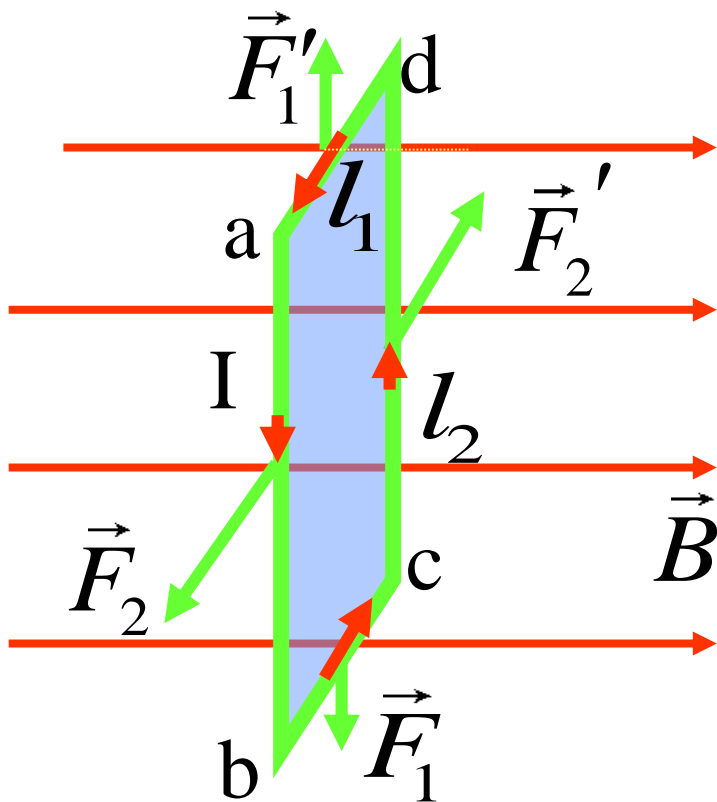
$$\begin{aligned}\vec{F} &= \oint_L d\vec{F} = \oint_L IB(-dy\hat{k} + dz\hat{j}) \\&= IB \oint_L (-dy\hat{k} + dz\hat{j}) = 0\end{aligned}$$

任意形状的闭合载流线圈在均匀磁场中受力为0!

力矩不一定为零。



#### 4) 均匀磁场对载流线圈的作用



$$F_2 = F_2' = B I l_2$$

$$F_2 = F'_2 = BIl_2$$

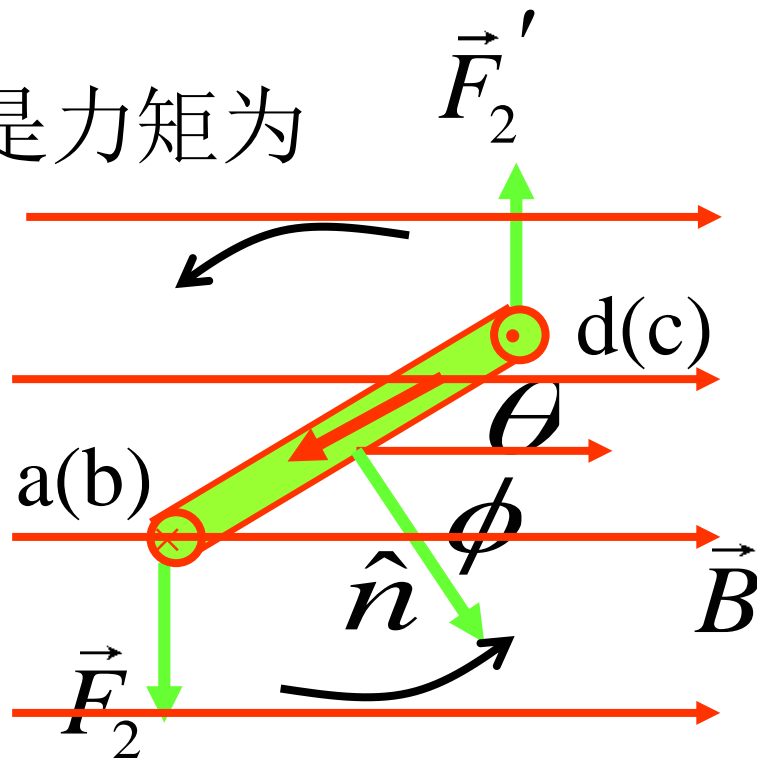
方向如图，构成为力偶，于是力矩为

$$M = F_2 l_1 \cos \theta$$

$$= BI(l_1 l_2) \cos \theta$$

$$= BIS \cos \theta$$

$$= Bm \sin \varphi$$



$$\Rightarrow \boxed{\vec{M} = \vec{m} \times \vec{B}}$$

其中  $m=IS$  为磁矩

对任意形状平面电流线圈都成立。

磁矩倾向于转向外磁场方向。

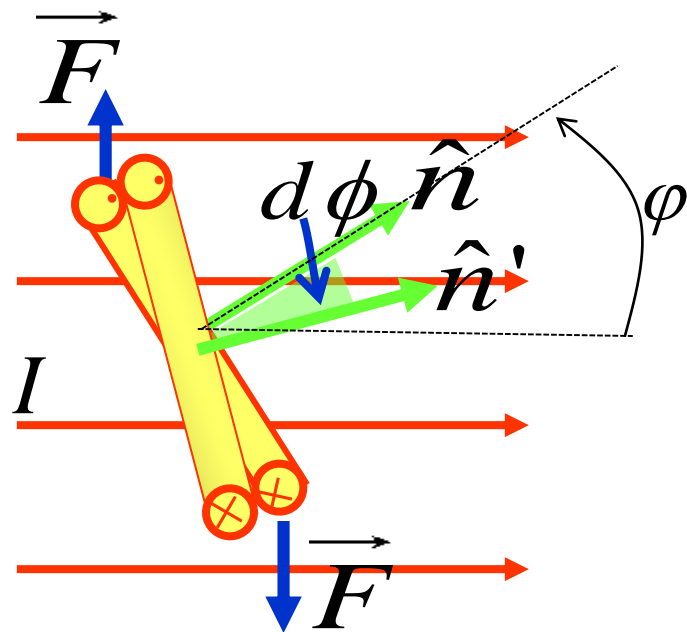
## 5) 磁场力的功(线圈位置改变)

磁场力倾向于减小  $\phi$

$$d\phi < 0$$

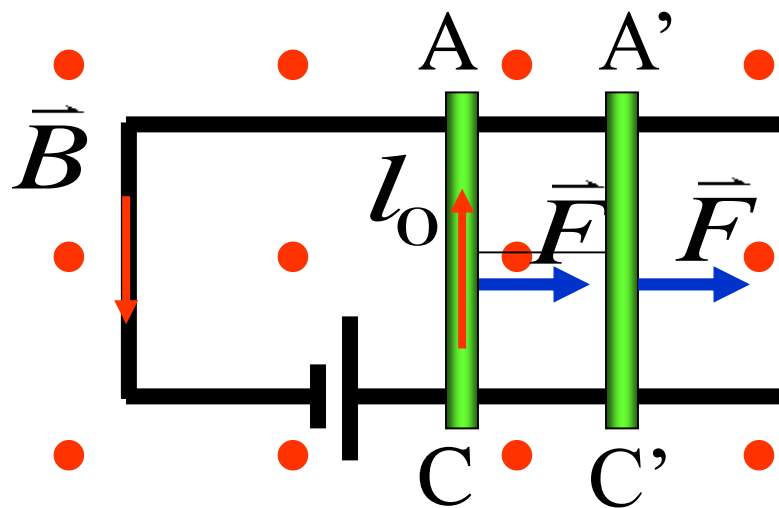
$$M = BIS \sin \phi$$

$$\begin{aligned} dA &= -M d\phi \\ &= -BIS \sin \phi d\phi \\ &= Id(BS \cos \phi) \\ &= Id\Phi \end{aligned}$$



其中  $\Phi = \iint_S \vec{B} \cdot d\vec{S}$   
为  $\vec{B}$  对曲面  $S$  的通量。

## 5) 磁场力的功(线圈形状改变)



$$F = BIl_0$$

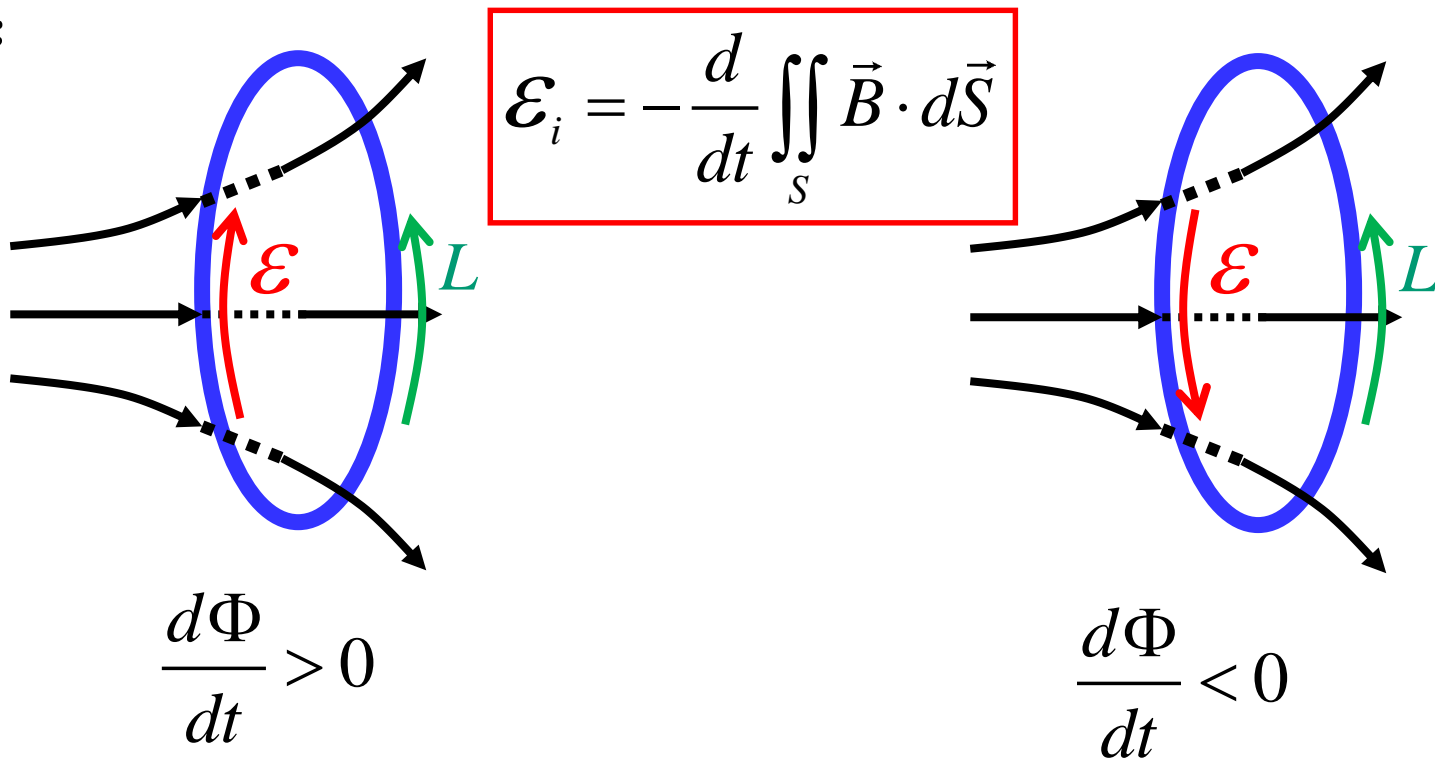
做功  $A = F l_{AA'}$

$$= BIl_0 l_{AA'}$$
$$= BI \Delta S$$
$$= I \Delta \Phi$$

可以证明：在均匀磁场中，对任一形状的闭合电流回路，不论是位置改变还是形状改变，磁力或磁力矩作的功都等于电流与磁通增量的乘积。

$$A = I \Delta \Phi$$

例：



方向规定：

- a) 设定回路绕向及曲面法线方向（右手螺旋）；
- b) 确定通过回路的磁通量的正、负号；
- c) 电动势方向与磁通量是增加还是减少有关。

有时候用楞次定律判断方向更方便。

## 2) 若线圈由串联的N匝组成

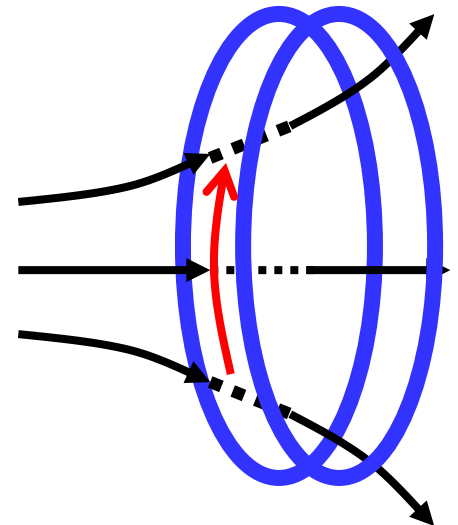
磁通量的变化将在每匝线圈中产生感应电动势。

整个线圈的总电动势为各匝所产生的代数和。

$$\begin{aligned}\mathcal{E} &= \mathcal{E}_1 + \mathcal{E}_2 + \dots + \mathcal{E}_N = -\left(\frac{d\Phi_1}{dt} + \frac{d\Phi_2}{dt} + \dots + \frac{d\Phi_N}{dt}\right) \\ &= -\frac{d}{dt}(\Phi_1 + \dots + \Phi_N) = -\frac{d}{dt} \sum_{j=1}^N \Phi_j\end{aligned}$$

若每匝磁通量相同，则

$$\sum_{j=1}^N \Phi_j = N\Phi$$



3) 感应电流 
$$I_i = \frac{\mathcal{E}_i}{R} = -\frac{1}{R} \frac{d\Phi}{dt}$$

在一段时间内通过导体回路任一截面的感应电量

$$q = \int_{t_1}^{t_2} I_i dt = -\frac{1}{R} \int_{t_1}^{t_2} d\Phi$$

$$|q| = \frac{1}{R} |\Phi_1 - \Phi_2|$$

应用：磁通计

## 几点注意：

- 1) 与楞次定律比较。楞次定律指出了在闭合回路中确定感应电流方向的法则，而法拉第电磁感应定律既指出了感应电动势的方向，也给出了感应电动势的大小。
- 2) 感应电动势比感应电流更能反映电磁现象的本质：
  - ① 感应电流的大小随着回路的电阻而定，而感应电动势的大小却不随回路的电阻而变；
  - ② 当回路不闭合时，也会发生电磁感应现象，这时并不存在感应电流，而感应电动势依然存在。



例：如图，一长直导线通有电流 $I=I_0\sin\omega t$ ，右边矩形线圈与导线在同一平面内，求任一时刻线圈内感应电动势。

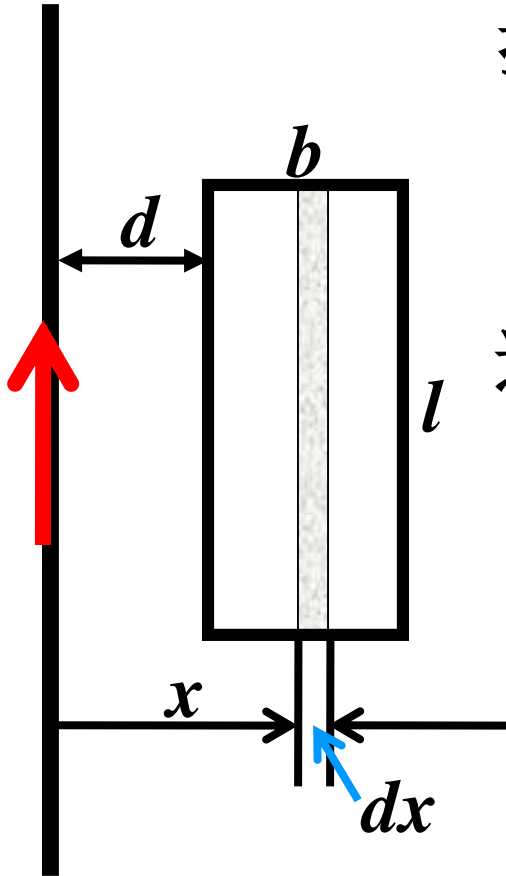
据磁场的环路定理，距导线 $x$ 处磁场 $B$ 为

$$B = \frac{\mu_0 I}{2\pi x}$$

通过线圈的 $B$ 的 通量为

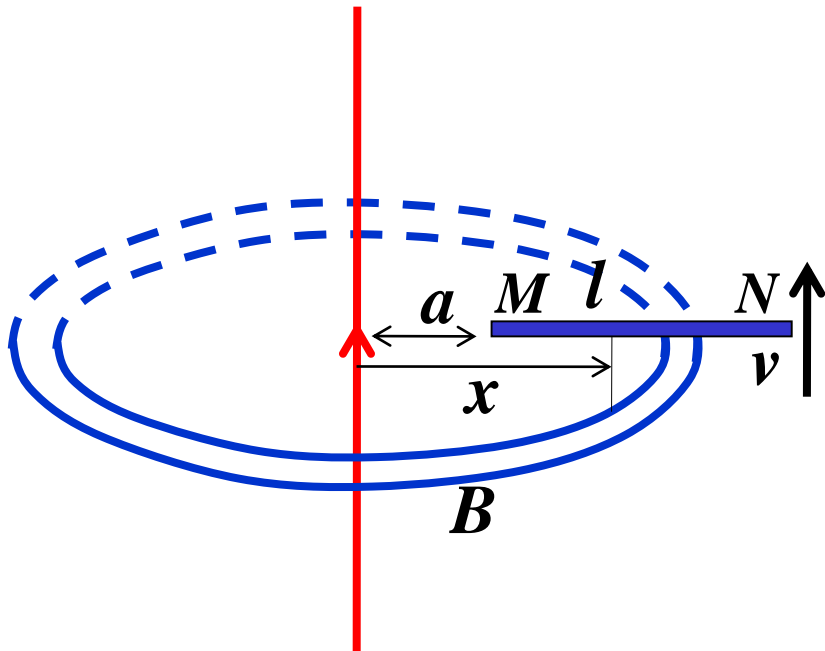
$$\begin{aligned}\Phi &= \iint_S \vec{B} \cdot d\vec{S} = \int_d^{d+b} B l dx = \int_d^{d+b} \frac{\mu_0 I}{2\pi x} l dx \\ &= \frac{\mu_0 I l}{2\pi} \int_d^{d+b} \frac{1}{x} dx = \frac{\mu_0 I l}{2\pi} \ln \frac{d+b}{d}\end{aligned}$$

$$\mathcal{E}_i = -\frac{d\Phi}{dt} = -\frac{\mu_0 l I_0 \omega}{2\pi} \ln \frac{d+b}{d} \cos \omega t$$



例：一金属棒MN在导线旁以速度 $v$ 向上运动，求两端的动生电动势。

$$\mathcal{E} = \int_L (\vec{v} \times \vec{B}) \cdot d\vec{l}$$



解：距离导线 $x$ 处磁场 $B$ 为

$$B = \frac{\mu_0 I}{2\pi x} \quad \text{方向向里}$$

棒上 $dx$ 一段的动生电动势为

$$d\mathcal{E} = Bv \cdot dx = \frac{\mu_0 I}{2\pi x} v \cdot dx$$

$$\Rightarrow \mathcal{E} = \int_a^{a+l} \frac{\mu_0 I}{2\pi x} v \cdot dx = \frac{\mu_0 I v}{2\pi} \ln \frac{a+l}{a}$$

根据洛伦兹力公式，动生电动势从N端指向M端，即M点电势比N点高。

# 感生电场与静电场的比较

共同点：对外表现一样，对电荷有作用力， $\vec{F} = q\vec{E}$

不同之处：（在一个相对的意义）

1) 静电场是由电荷激发；

感生电场是由变化的磁场所激发；

2) 静电场的电力线是不闭合的，为保守场；

感生电场的电力线是闭合线，因而感生电场不是保守场，而是有旋场；

$$\oint_L \vec{E}_{\text{静}} \cdot d\vec{l} = 0$$

$$\oint \vec{E}_{\text{感}} \cdot d\vec{l} = -\frac{d\Phi}{dt} = -\iint_s \frac{\partial \vec{B}}{\partial t} \cdot d\vec{S}$$